

# La détection des transitoires EM et des formes d'ondes

## Une fenêtre d'observation quasi inconnue & une discipline pluridisciplinaire

Peu d'expériences dans le monde

- CODALEMA (MHz)
- LOPES & LOFAR (MHz)
- 4 Tests RADIO sur AUGER-sud (MHz)
- ARECIBO Obs. (GHz)
- Satellite FORTE (kHz)

& donc une méthodologie en devenir...

# PLAN

## 1. Potentialité de l'approche « formes d'ondes »

- L'analyse simultanée de toute l'information
- L'identification des transitoires: le trigger

## 2. Thématiques physiques

- Cosmiques
- Pulsars
- Atmosphère...

## 3. Exemples de Trigger

- Trigger de Cosmiques en BF
  - CODALEMA
  - Exemple d'analyse des formes d'ondes CODALEMA
  - LOPES-LPDA
- Trigger de Pulsars en HF

## 4. Utilisation dans d'autres thématiques

# Potentialité de l'approche « formes d'ondes » 1/3

=> L'analyse simultanée de toutes les informations

1. Analyse de la forme d'onde: Amplitude, Spectre en fréquence, forme du transitoire,...=> Structure du signal temporel => Mécanismes d'émission => physique de la source

Technique en évolution accélérée : Numériseurs jusqu'à 2 GS/s facilement disponibles (voir 8 GS/s & 128 Mpoints...)

- Analyse par TF
  - Signature du transitoire: composantes larges bandes
  - Méthode on/off instantanée
  - Fit du spectre de fréquence => par  $\text{TF}^{-1}$  => forme d'onde
- Autres Méthodes
  - Filtre LPC
  - Ondelettes

# Potentialité de l'approche « formes d'ondes » 2/3

## L'analyse simultanée de toutes les informations

### 1. Étiquetage temporel de l'onde

- Direction d'arrivée de l'onde
  - Par temps d'arrivée sur la forme d'onde
  - Par corrélation

### 2. Trajectoire & Localisation spatiale de la source d'émission par triangulation

### 3. Phasage numérique des formes d'onde post-enregistrement, interferometrie ?

# Potentialité de l'approche « formes d'ondes » 3/3

Position du problème: repérer les transitoires  
Le TRIGGER

Détection de l'émission => Enregistrer uniquement  
l'information recherchée

## 1. Réponse du Trigger

- Instantanée sur tout signal présentant une variation temporelle de son contenu en fréquence (dans un temps de l'ordre de la période)
- Efficace dans des plages de fréquences non polluées par des émetteurs (stationnaires)

## 2. Evolution du Trigger radio

- CODALEMA (1<sup>re</sup> génération)
- LPDA (2<sup>me</sup> génération)
- Pulsars

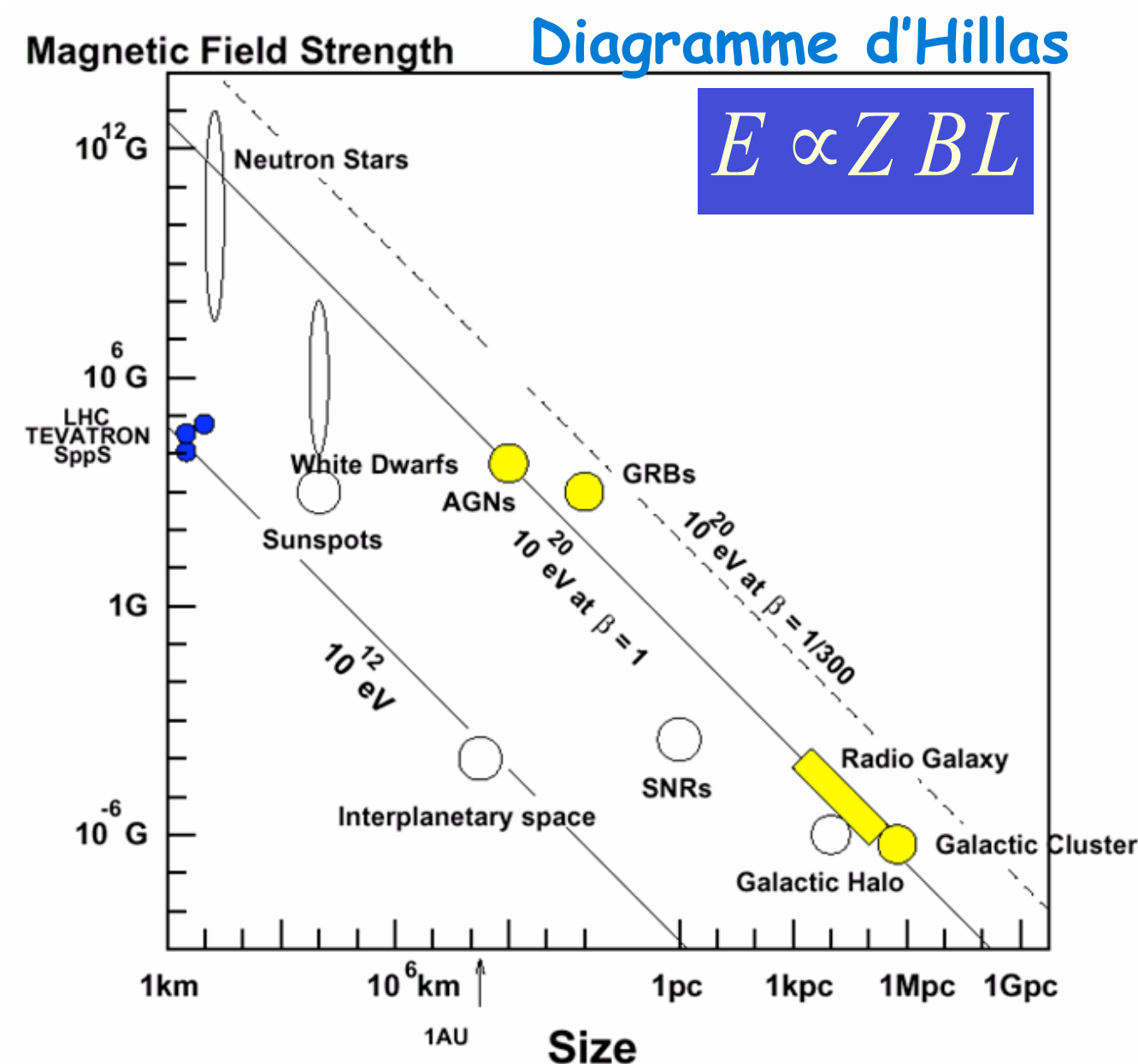
# Thématiques physiques 1/3

## En Astroparticules

1. Détection des grandes gerbes cosmiques atmosphériques (de  $10^{17}$  à  $10^{20}$  eV)

2. Prospectives possibles ?

- Détection  $\gamma$  « à la HESS » (pulse Cerenkov radio  $\sim 10^{15}$  eV => radio-détecteur pointé )?,
- Détection  $\nu$  UHCR (gerbe  $\tau$   $\sim 10^{17}$  eV )? Cible?
  - atmosphère à l'horizon => détecteur étendu
  - glace => détecteur étendu
  - lune => détecteur pointé



Origine & nature des Cosmiques  
distribution isotrope? sources ?)

# Thématiques physiques 2/3

## En radio-Astronomie

### 1. Emissions impulsionales

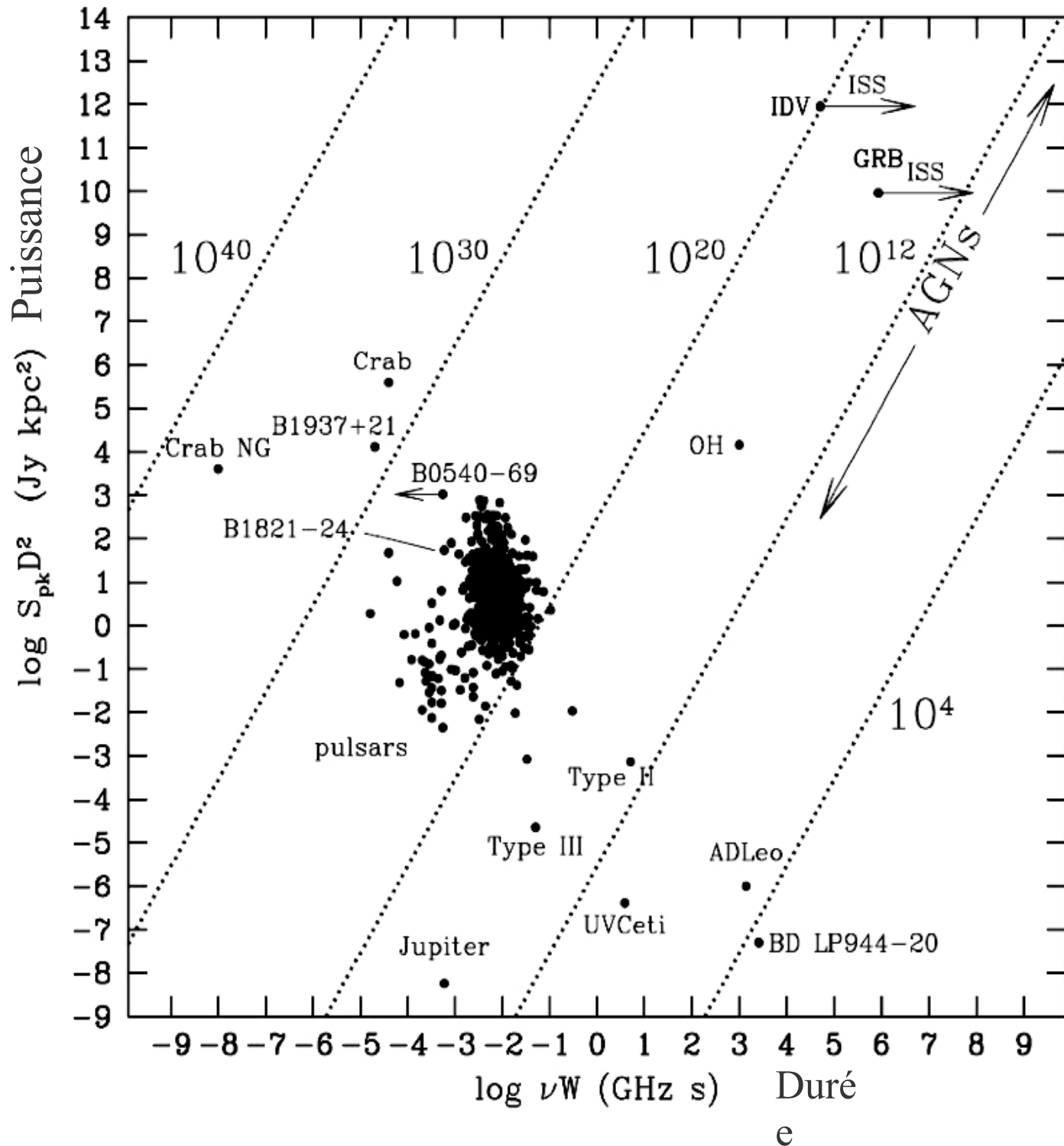
- soleil, Jupiter (MHz)?
- Pulsar giant pulse (GHz)?
- $\gamma$  ray burst?...
- Astronomie haute énergie?

### 2. Imagerie décamétrique impulsionale ?

- (snapshot pour s'affranchir de la turbulence)?

### Fast radio transients

Cordes & McLaughlin, ApJ 596, 2003



# **Thématiques physiques 3/3**

## **En Physique de l'atmosphère**

- Orage, Elfe, Sprite, Blue jet, X ray flash,...

## **En Détection des signaux anthropiques**

- Télécom large bande, Guerre électronique, tracking de cible (avion, sat.)

# **La détection des transitoires EM dans le domaine MHz**

- **Gerbes, syst. solaire, atmosphère, anthropiques...**

**=> ILLUSTRATION avec la détection des Gerbes**

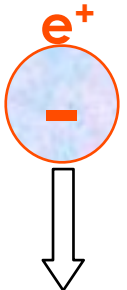
**(Pour les gerbes la détection des particules est indirecte)**

- **Onde EM peut être sphérique**
- **Signal fort:  $> \mu\text{V/m}$**
- **Durée finie: 10-1000 ns**
- **Arrivée stochastique**
- **Détection dans 2pi str**

# Le champ électrique des gerbes

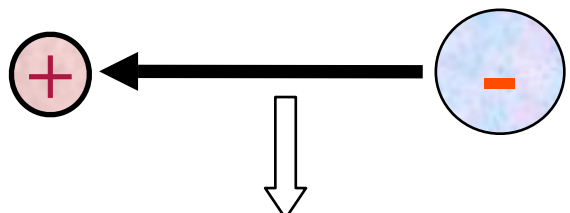
Identifiés en 1970

- Excès de charge  $\sim 10\% e^- /$

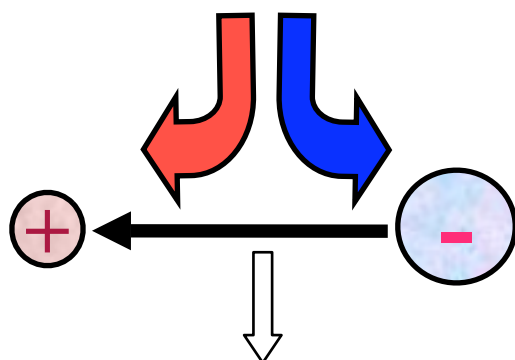


- Effet géomagnétique  $F=qVxB$

→ moment dipolaire



Courant transverse d'alimentation du dipôle



→ Emission Synchrotron

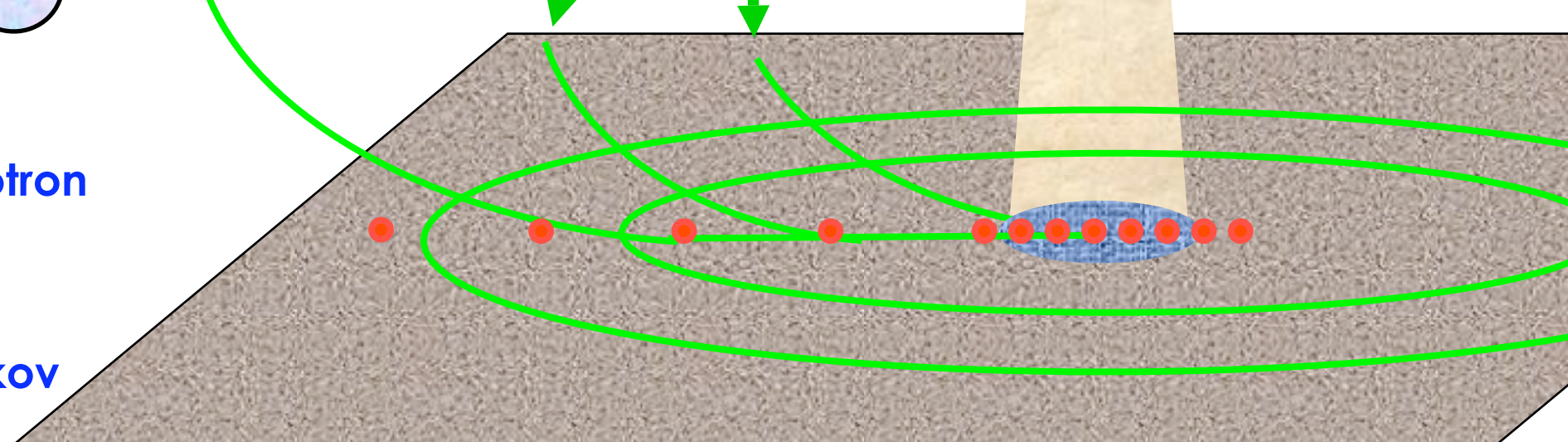
- $V_e > c$

→ Emission Cerenkov

Champ proche de l'axe de la gerbe ( $\sim 100$  m): Cerenkov + synchrotron + variation de charge  
- impulsions rapides ( $\sim 10$  ns)



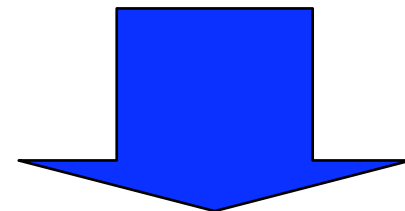
Champ loin de l'axe de la gerbe ( $\sim km$ ): Coulombien + courant dipôle  
- impulsions lentes ( $> 100$  ns)



# La démarche expérimentale

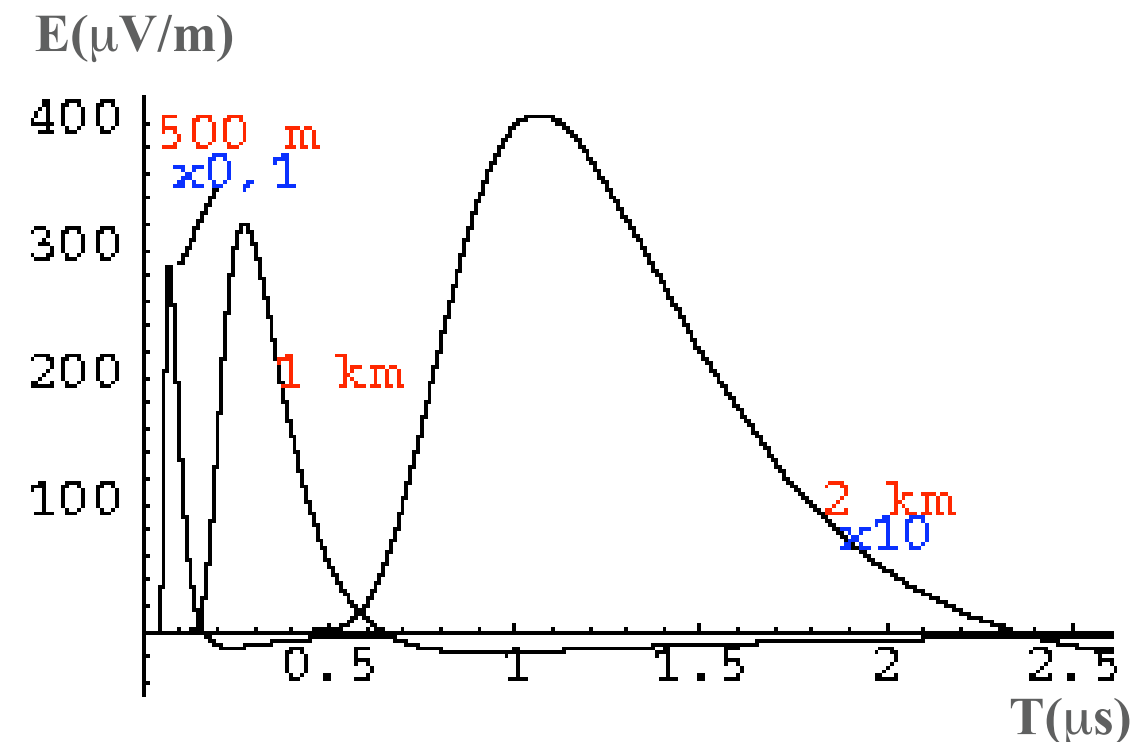
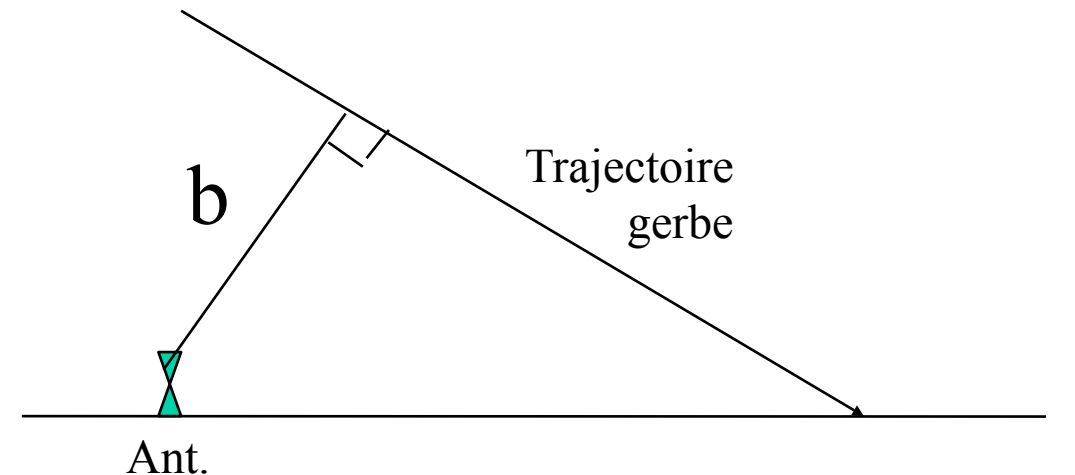
- **Simulation théorique:** Informations contenues dans la forme du signal

- Amplitude ( $>1\mu\text{V/m}$ ) => énergie
- Durée ( $\sim 100 \text{ ns}$ ) => paramètre d'impact (b)
- Forme d'onde => nature des particules



- **Mesures expérimentales:**

- Evts rares (trigger  $\sim 10^{-3} \text{ Hz}$ )
- Analyse temporelle du signal => Reconstitution de la trajectoire par triangulation entre plusieurs antennes
- Analyse de l'amplitude => Extraction de l'énergie du primaire



# La Recherche des impulsions

- Impulsion => Signal à durée finie

- $x(t) = t \cdot \exp(-t/\tau)$

=> spectre large bande

- Filtre 0.5-5MHz

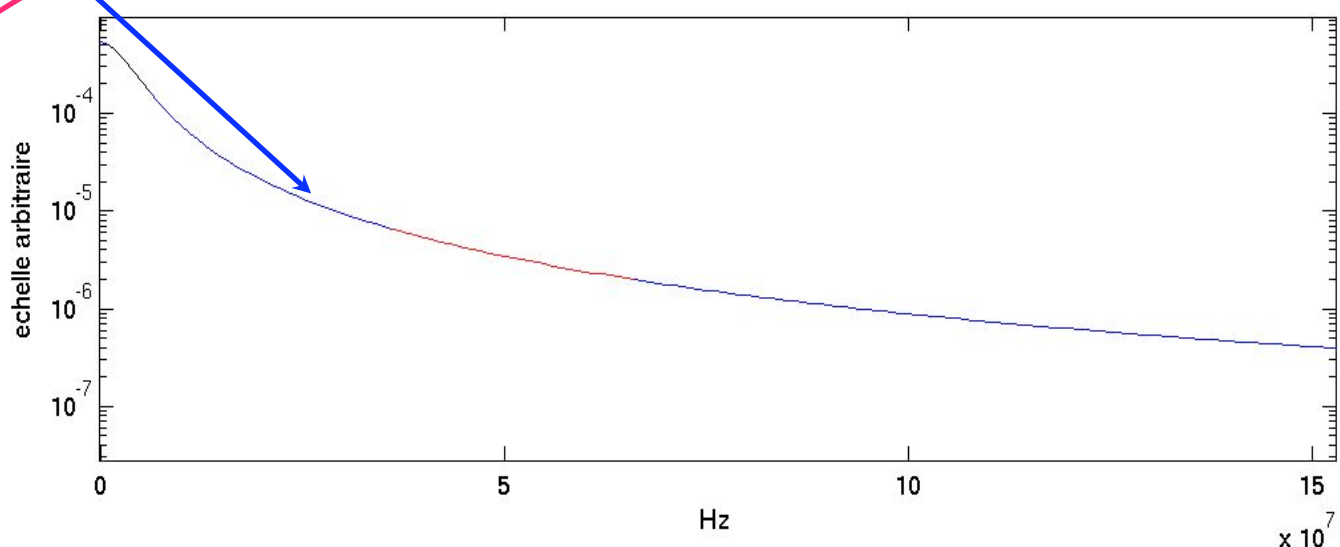
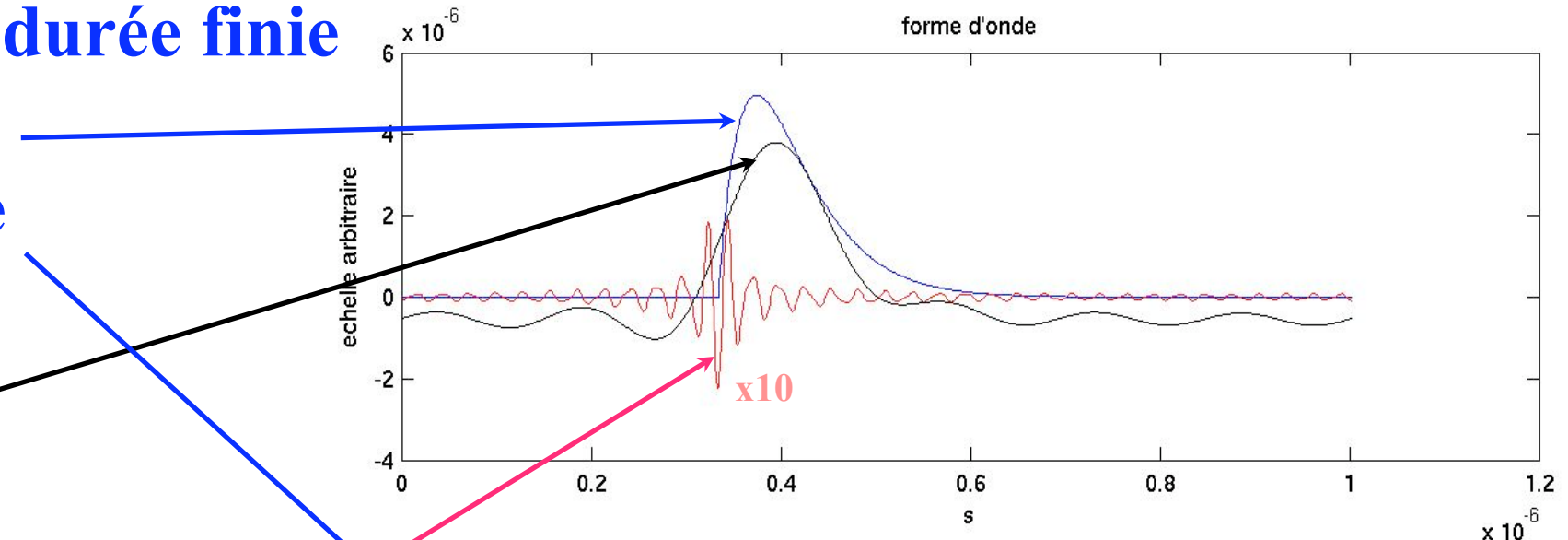
- Forme du transitoire
- beaucoup de puissance

=> énergie

- Filtre 35-65MHz

- front de montée
- peu de puissance

=> information temporelle



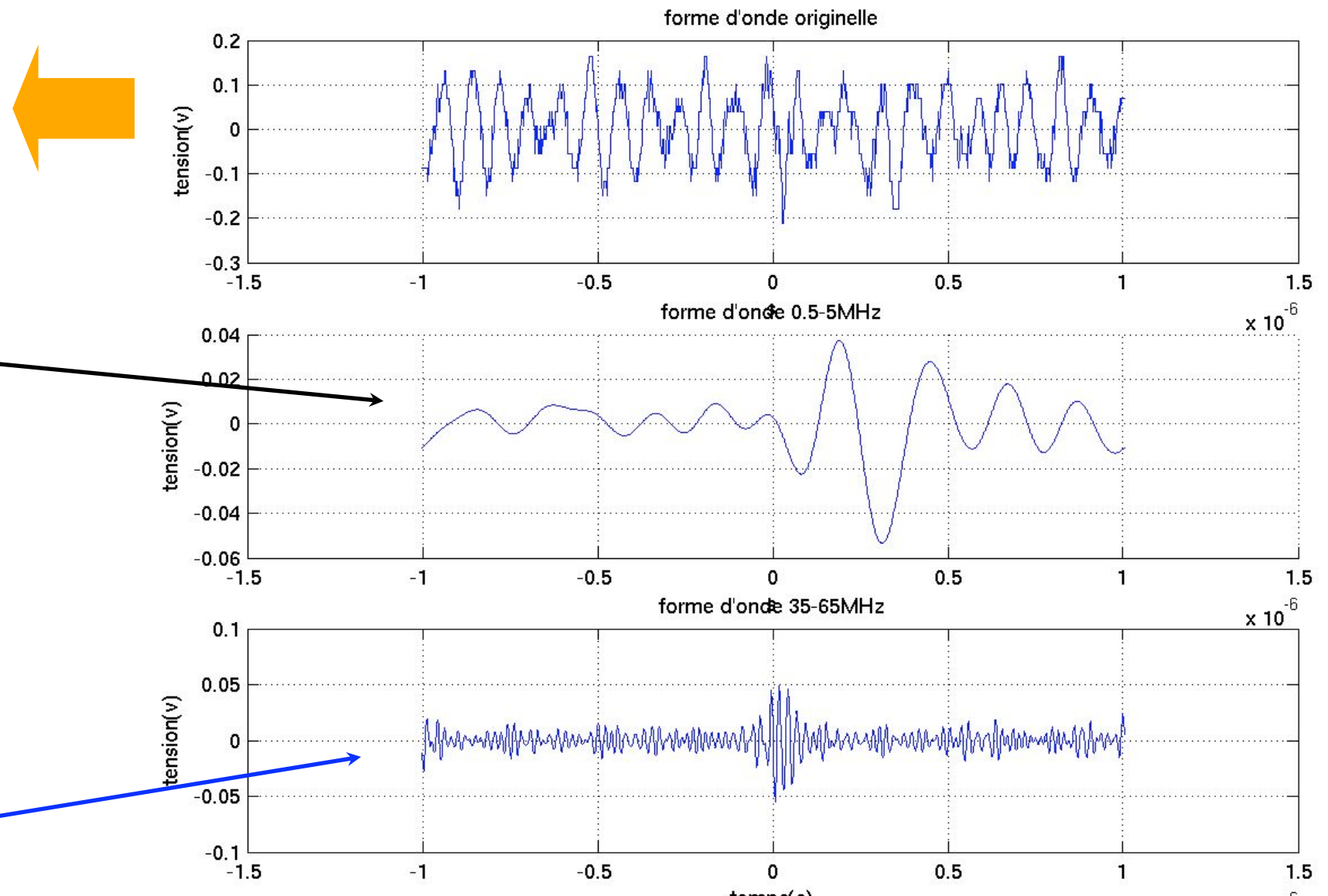
Mais le signal réel est dans du bruit:  
capteur, RFI, signal galactique, etc...

# Signature du transitoire par l'analyse multi-bande

Filtrage “rectangulaire”  
numérique

- Bande 0.5-5MHz

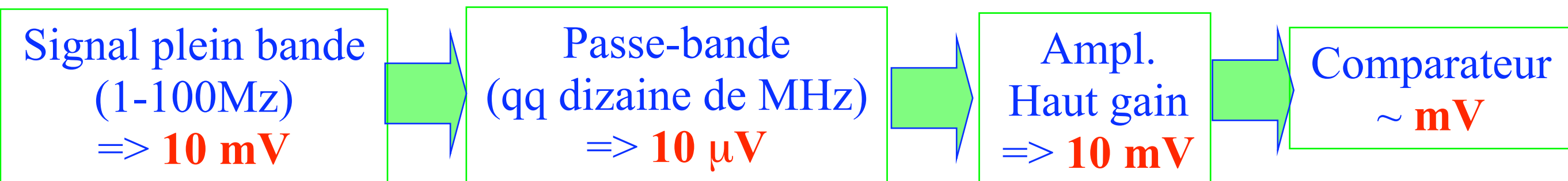
- Bande 35-65MHz  
(trigger)



Antenne DAM

# Principe du trigger

Identifier une impulsion (signal de durée finie & spectre large) dans un bruit quasi stationnaire => comparaison de la forme d'onde filtrée à un seuil en amplitude déterminée par le bruit quasi stationnaire dans cette bande



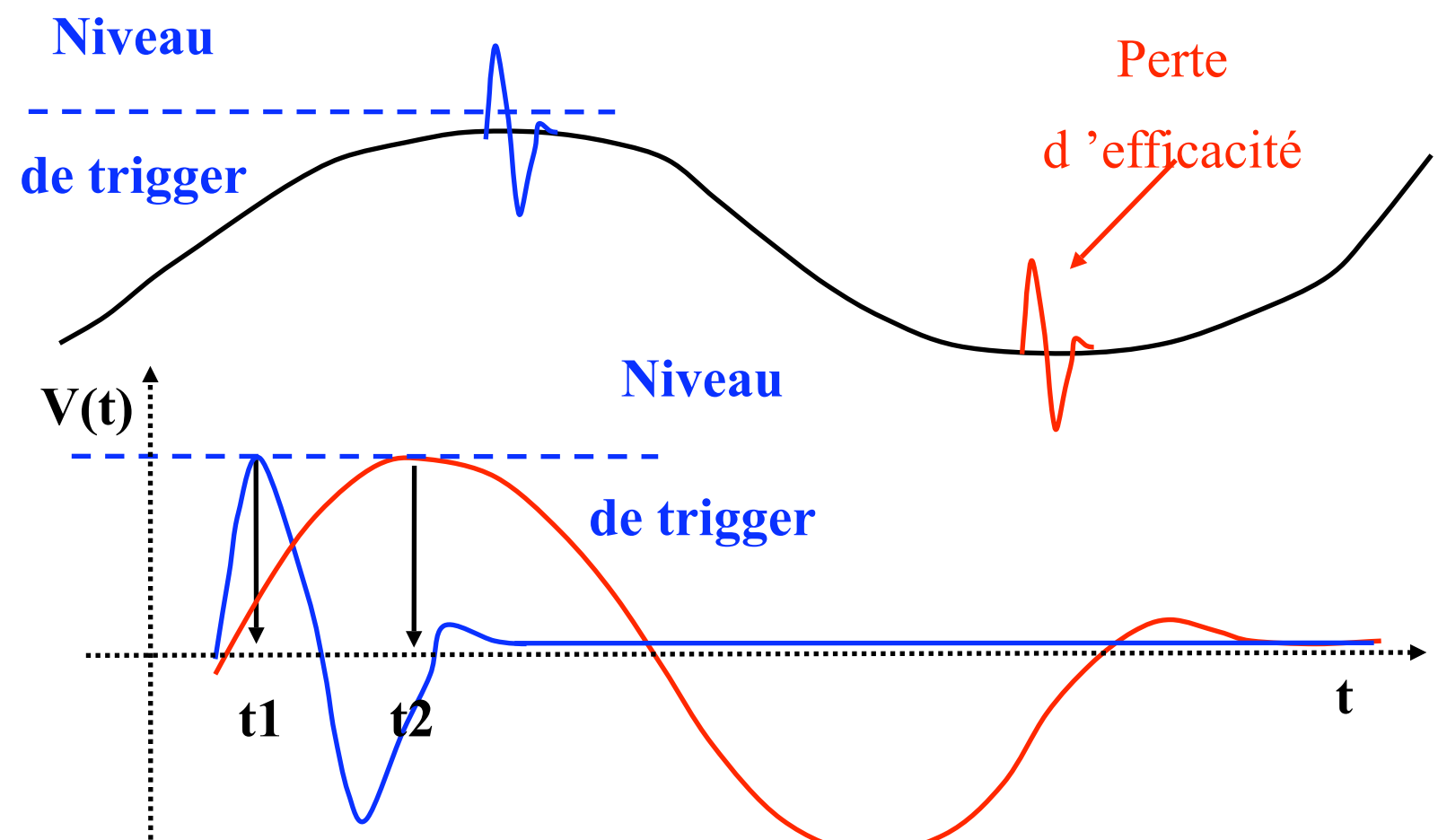
## Difficultés

- définition de la Ligne de base a cause des Résidus d'oscillations BF

- Jitter dépend de la bande

de fréquence

=> Erreur  $\Delta t \sim T/2$



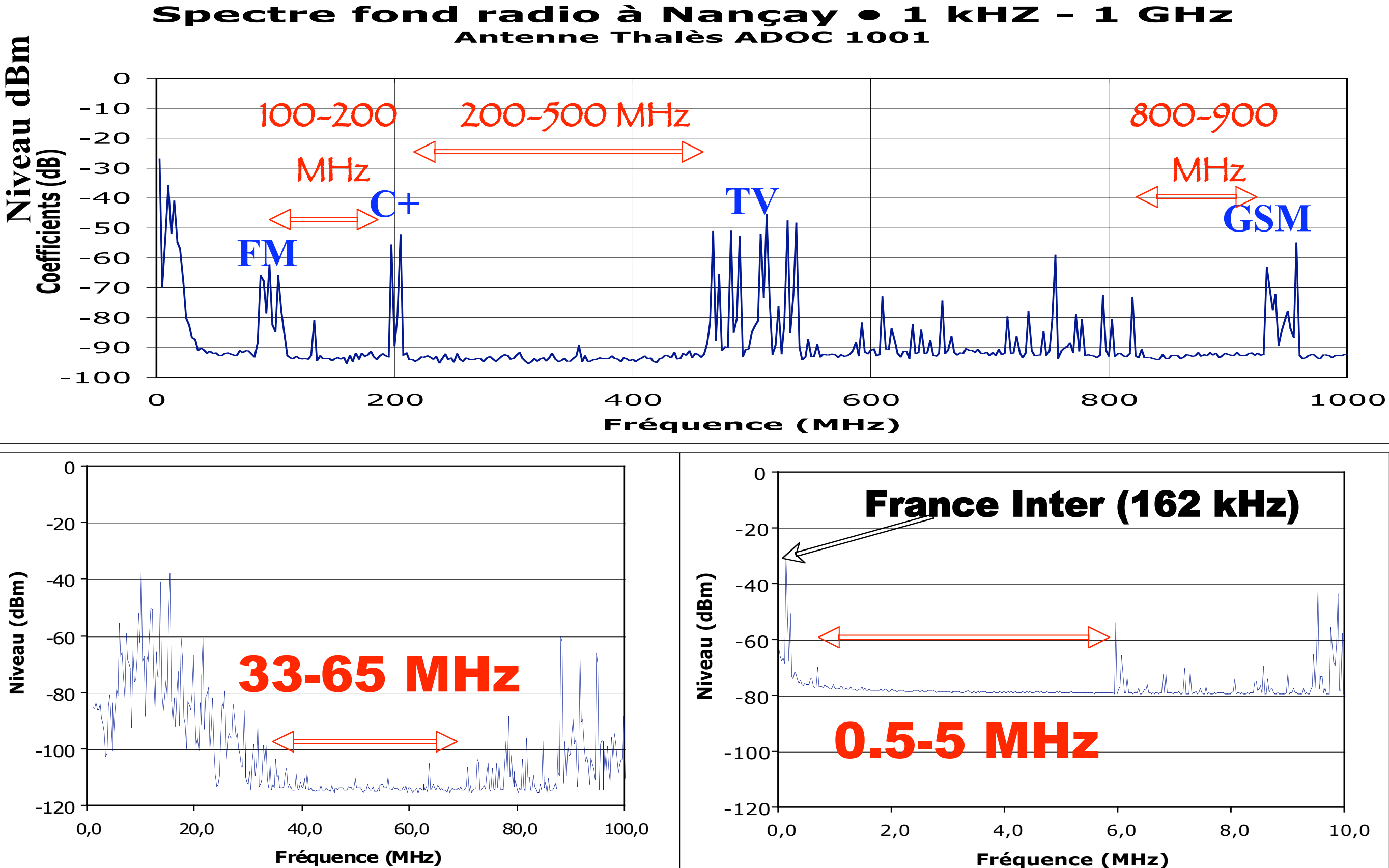
# Le Trigger CODALEMA @ Nançay



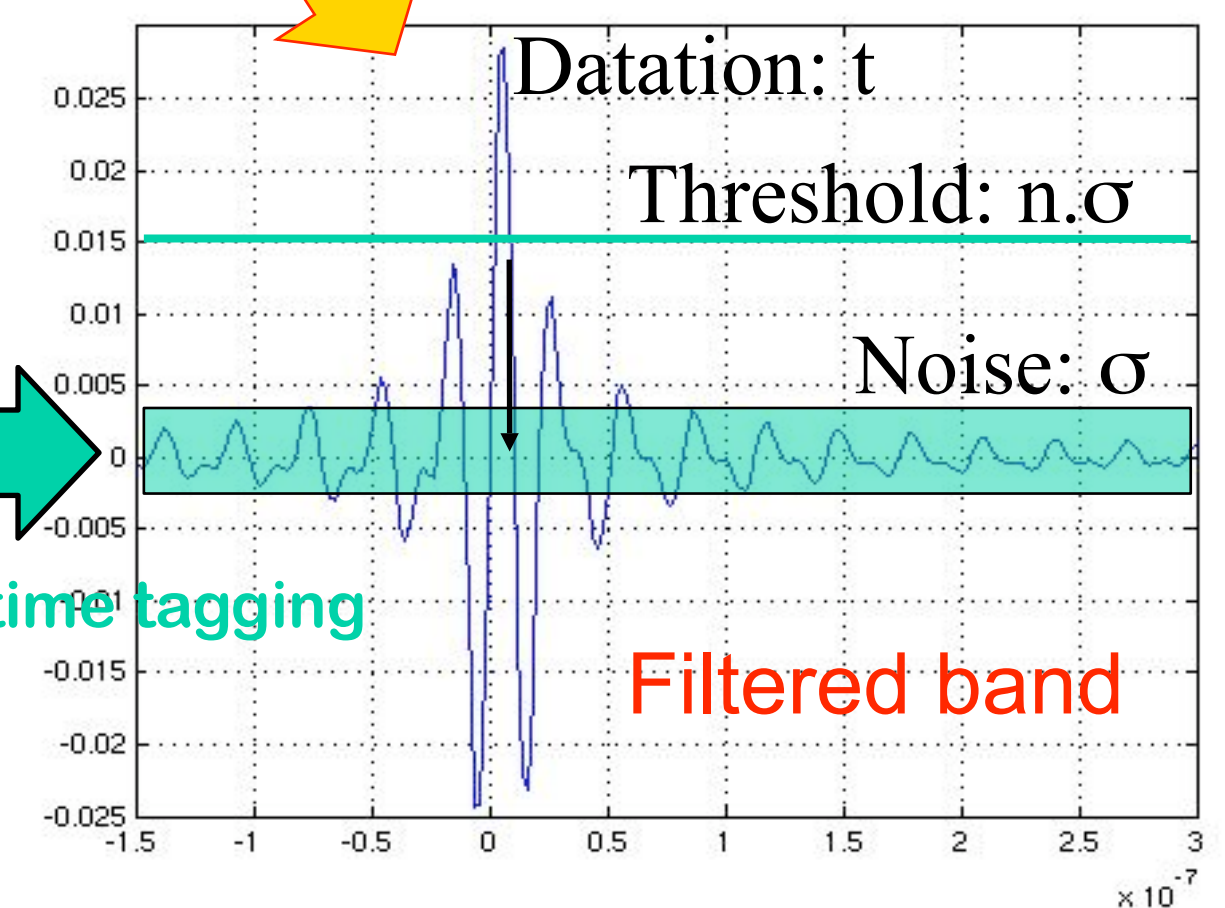
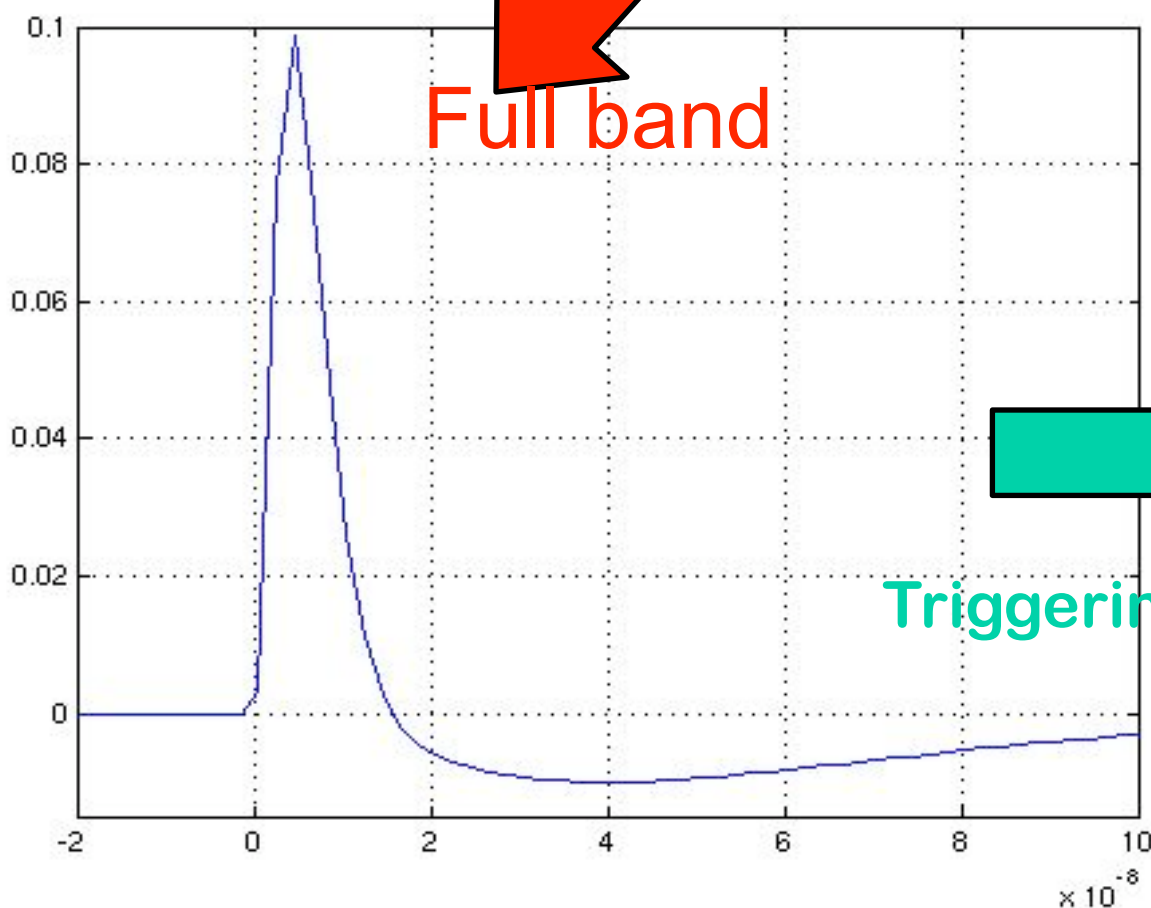
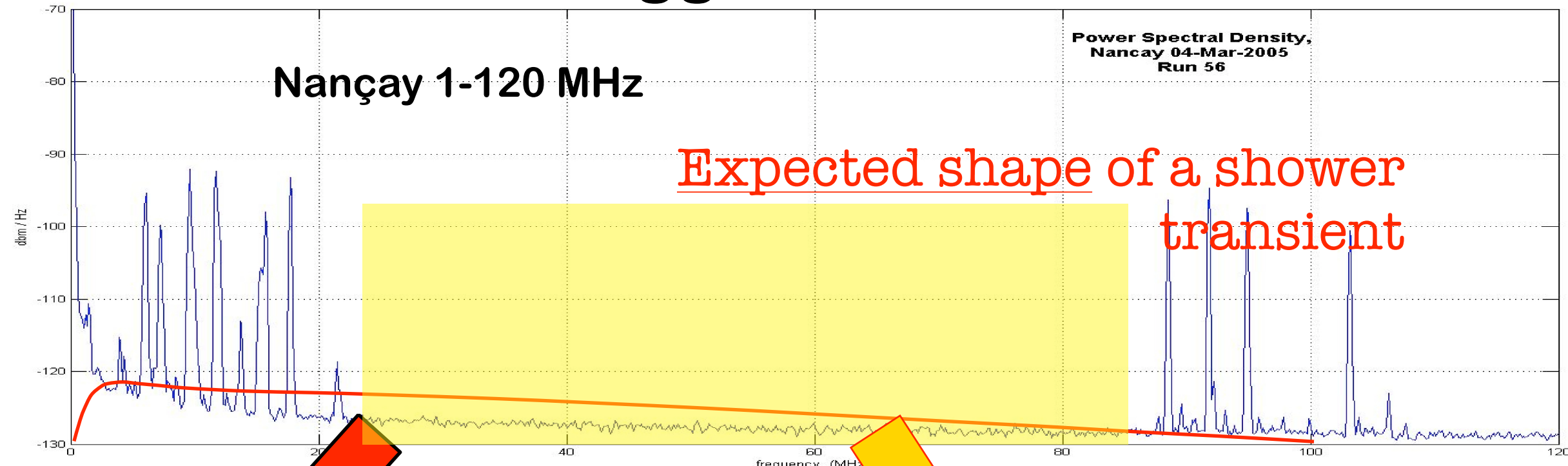
**BUT: Étiqueter un transitoire avec un Trigger minimal (min-biais trigger)**

- Minimiser la perte de physique
  - Minimiser le coût
  - MAIS
  - Mais grand taux de comptage
  - Tirer partie de l'environnement radio de Nançay
- => Sélection de la physique intéressante off-line

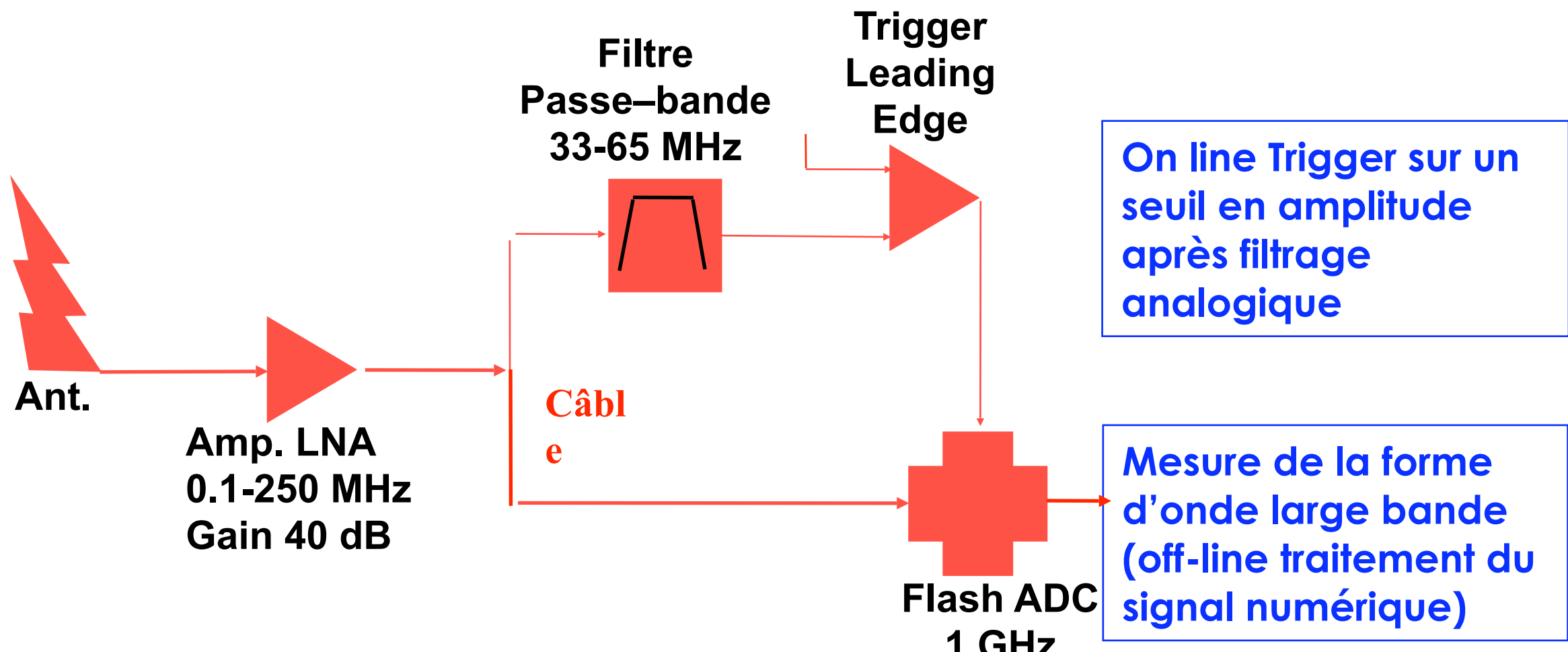
# Zones utilisables de trigger @ nançay



# Le On-line trigger CODALEMA



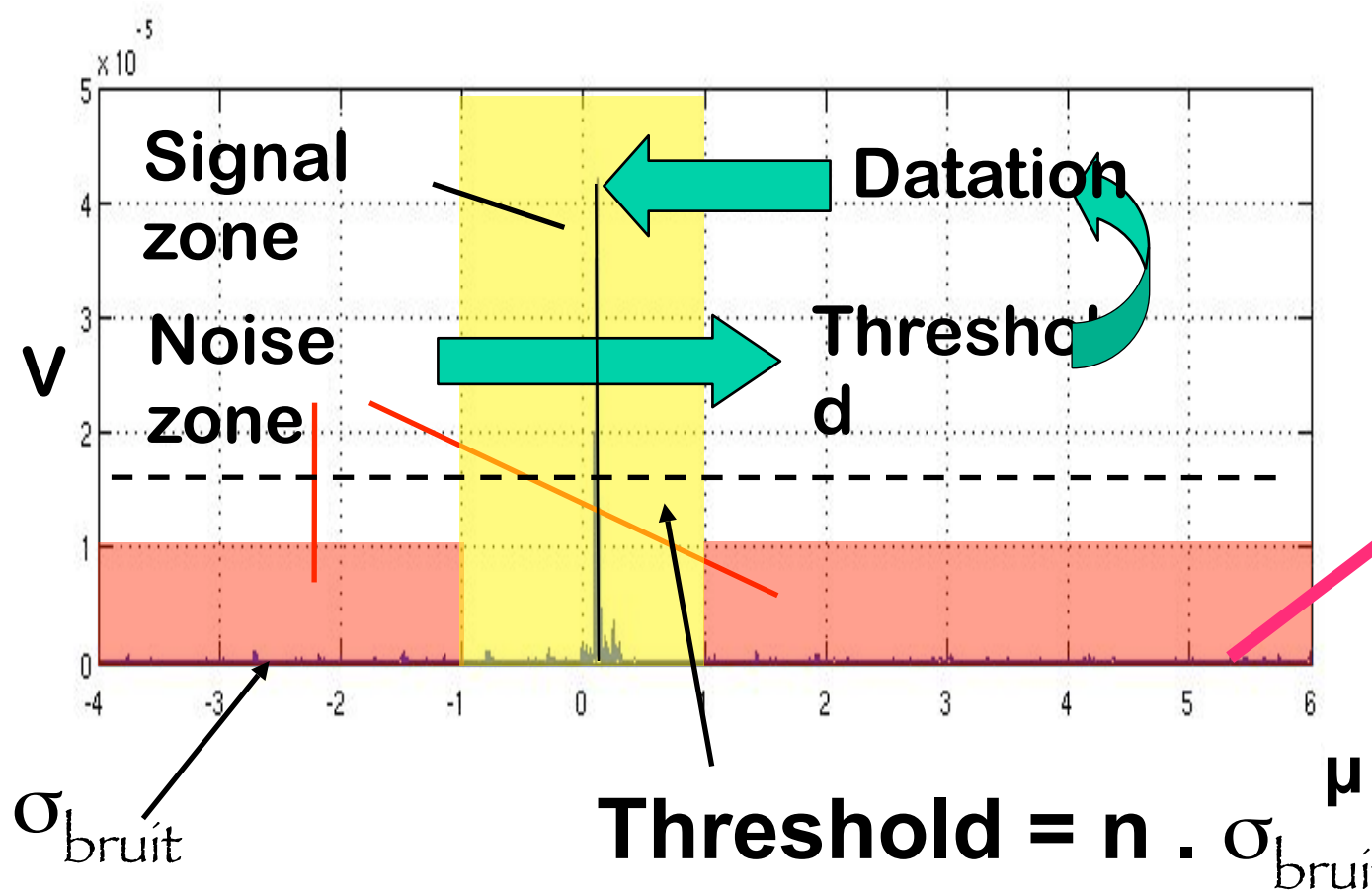
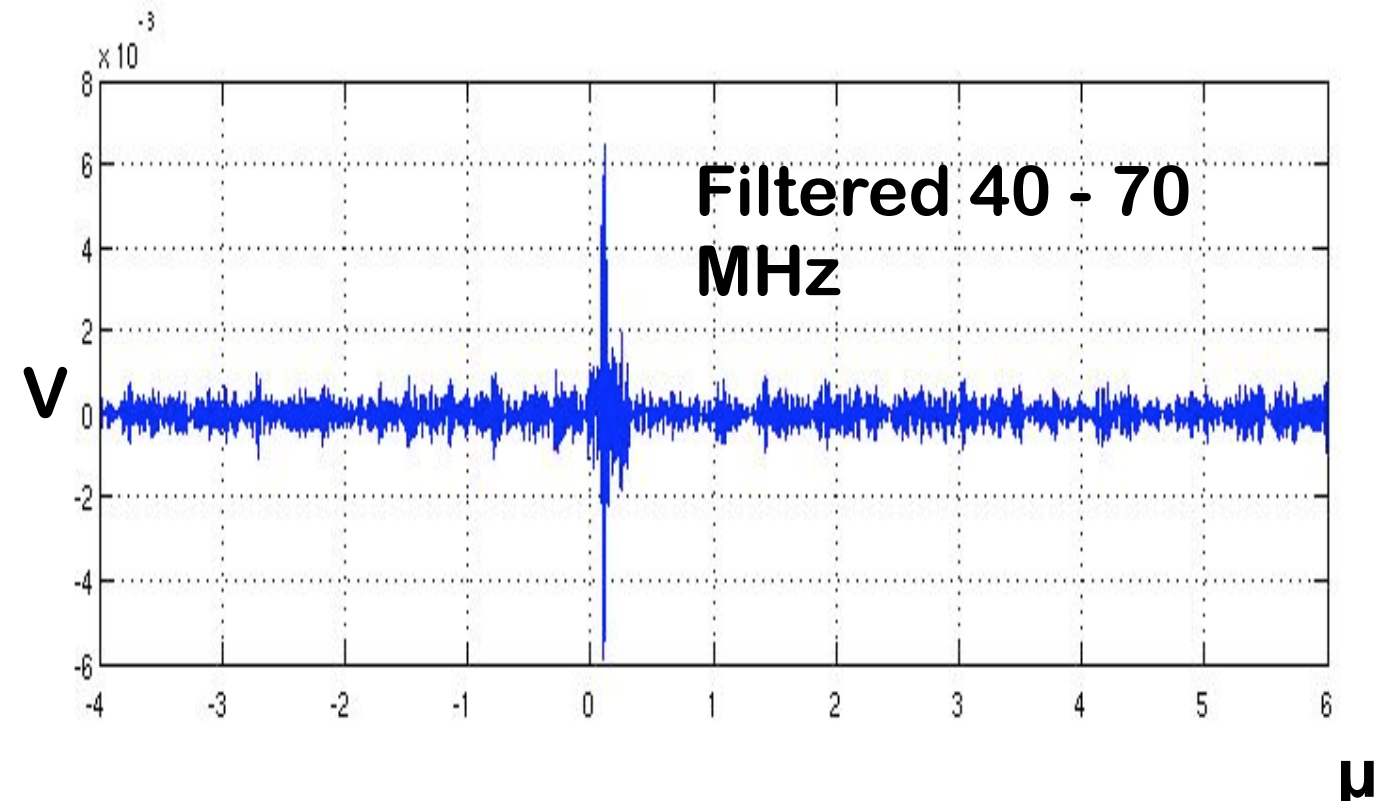
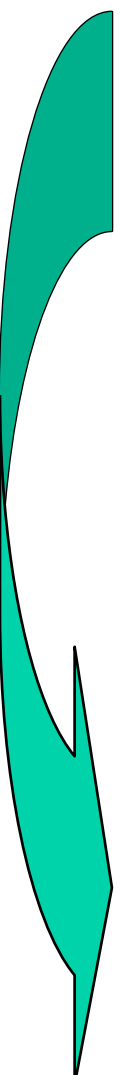
# Schéma du Trigger CODALEMA @ Nançay



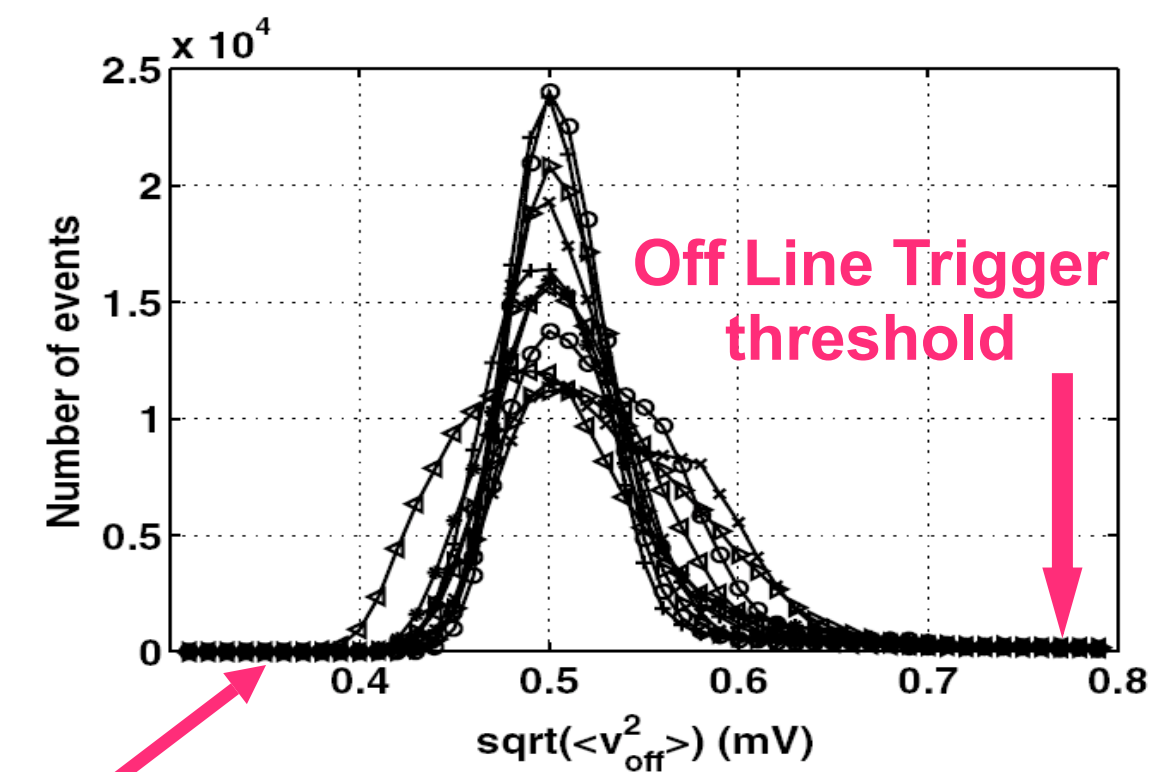
Stratégie en 2 étapes:

=>Taux de trigger On-line >> Taux de vrais transitoires...  
qui sont identifiés off-line par analyse de la forme d'onde et par  
Un critère de sélection en utilisant le nombre d'antennes touchées

# The Off-line Transient detection (and datation)

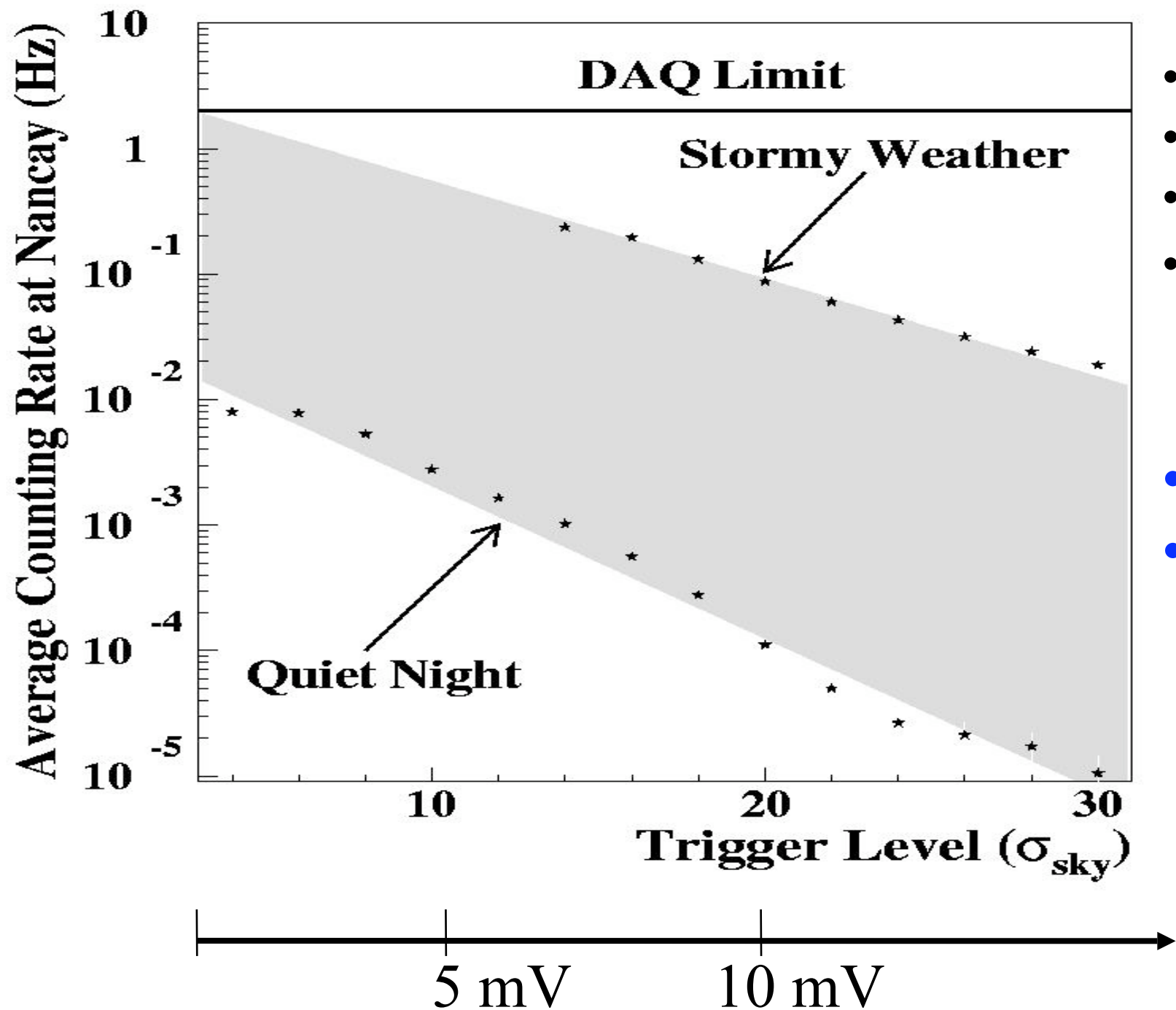


Distributions of the ground floor signal in the 40-70 MHz band after cross calibration of the antennas gains



# Trigger rate in 33-65 band with 1 antenna

## Knowledge of the transient radio background

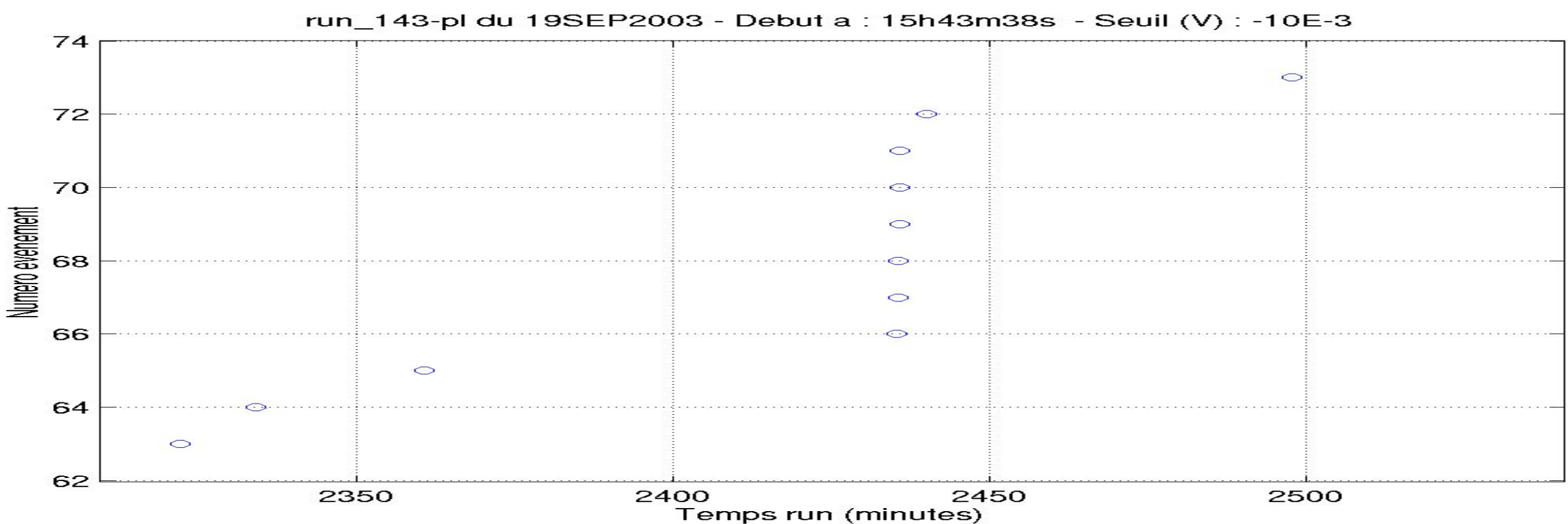
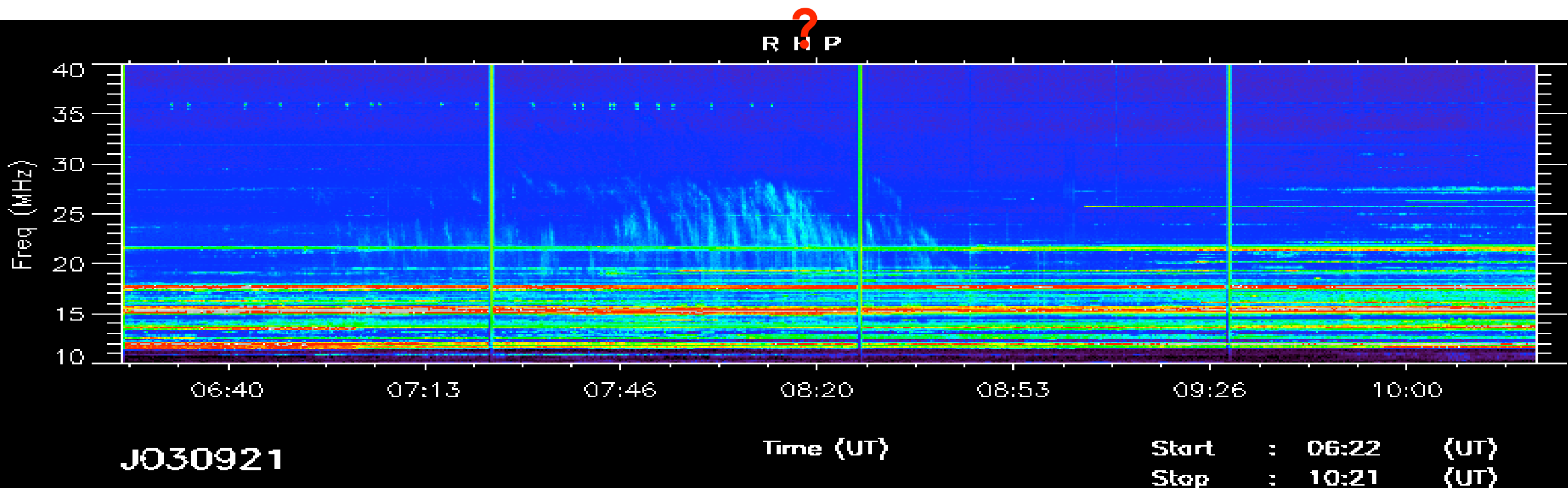


- Atmosphéric conditions
- Day-Night modulations
- Human activities
- Solar activities

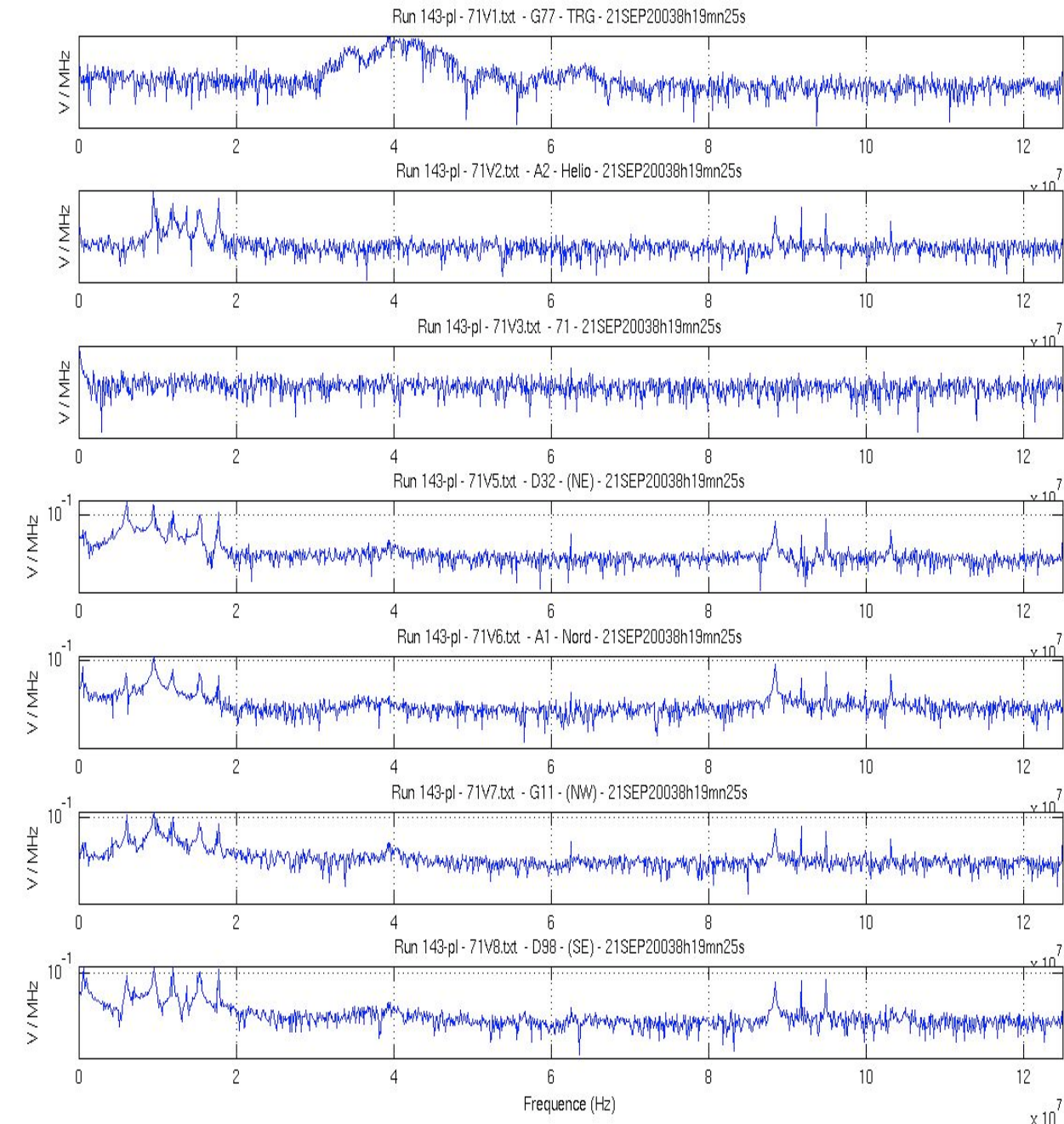
- Low rate < 1 Hz
- 100 % duty cycle

Trigger with antenna  
is possible  
in stand alone mode

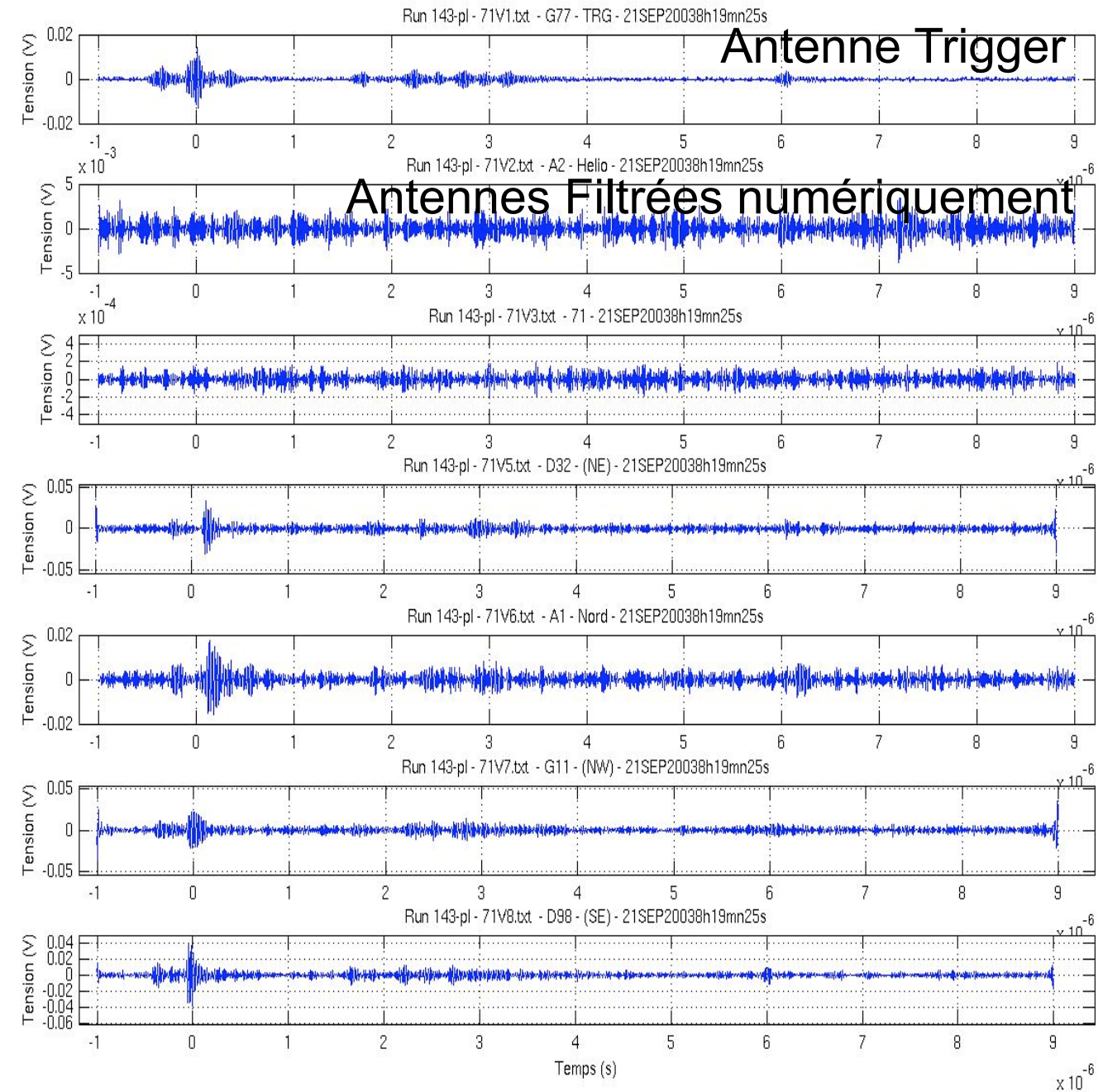
# Corrélations CODALEMA-DAM: evt. impulsif de Jupiter



# Candidat d'évènement Jupiter impulsuel?



Spectres de Fourier des signaux avant filtrage numérique. L'impulsion trigger se voit dans la bande 35 – 45 MHz.



Mise en évidence des transitoires en coïncidences après filtrage numérique 33-65 MHz.

# Exemple d'analyses des formes d'onde sur CODALEMA

1. **Performances du tracking de l'onde**
2. **Analyse de la forme du transitoire via**
  - un filtrage FFT + une méthode On-Off
  - un filtrage FFT + un modèle de transitoire
  - un filtrage FFT + modèle + contrainte à basse fréquence
  - via un filtre LPC

**Question: quelle technique d'analyse des formes d'ondes?**

# Étiquetage temporel

- Maximum de  $V(t)$  sur chaque antenne
- Produit de corrélation entre les antennes

$$C_{12}(\tau) = \int_{-\infty}^{+\infty} s_1^*(t) \cdot s_2(t + \tau) \cdot d\tau$$

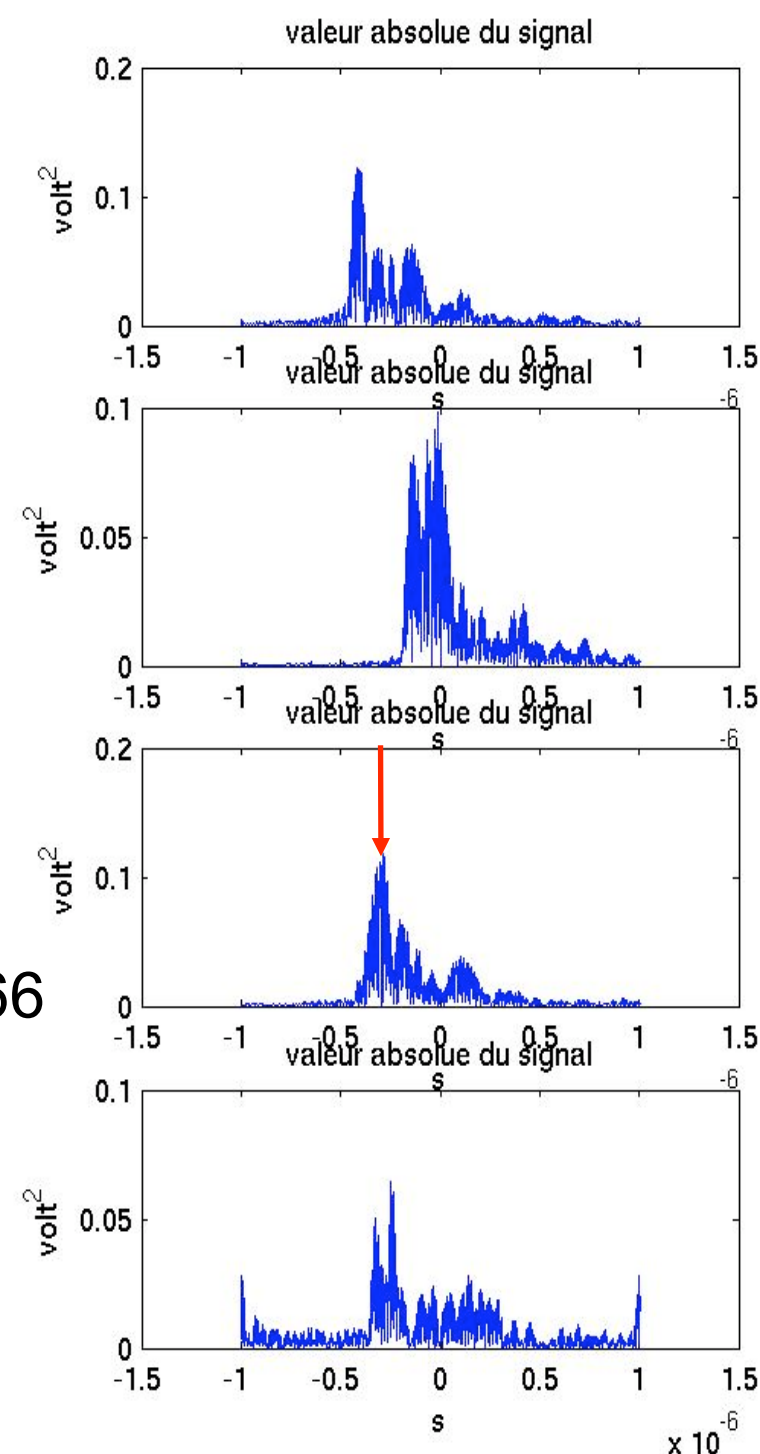
## Expected time resolution:

- Intrinsically: 500 Ms/s  $\Rightarrow \Delta t \sim 2\text{ns}$
- But
- Filter low cut-off: 33 MHz  $\Rightarrow V^2(t) \sim 66 \text{ MHz}$

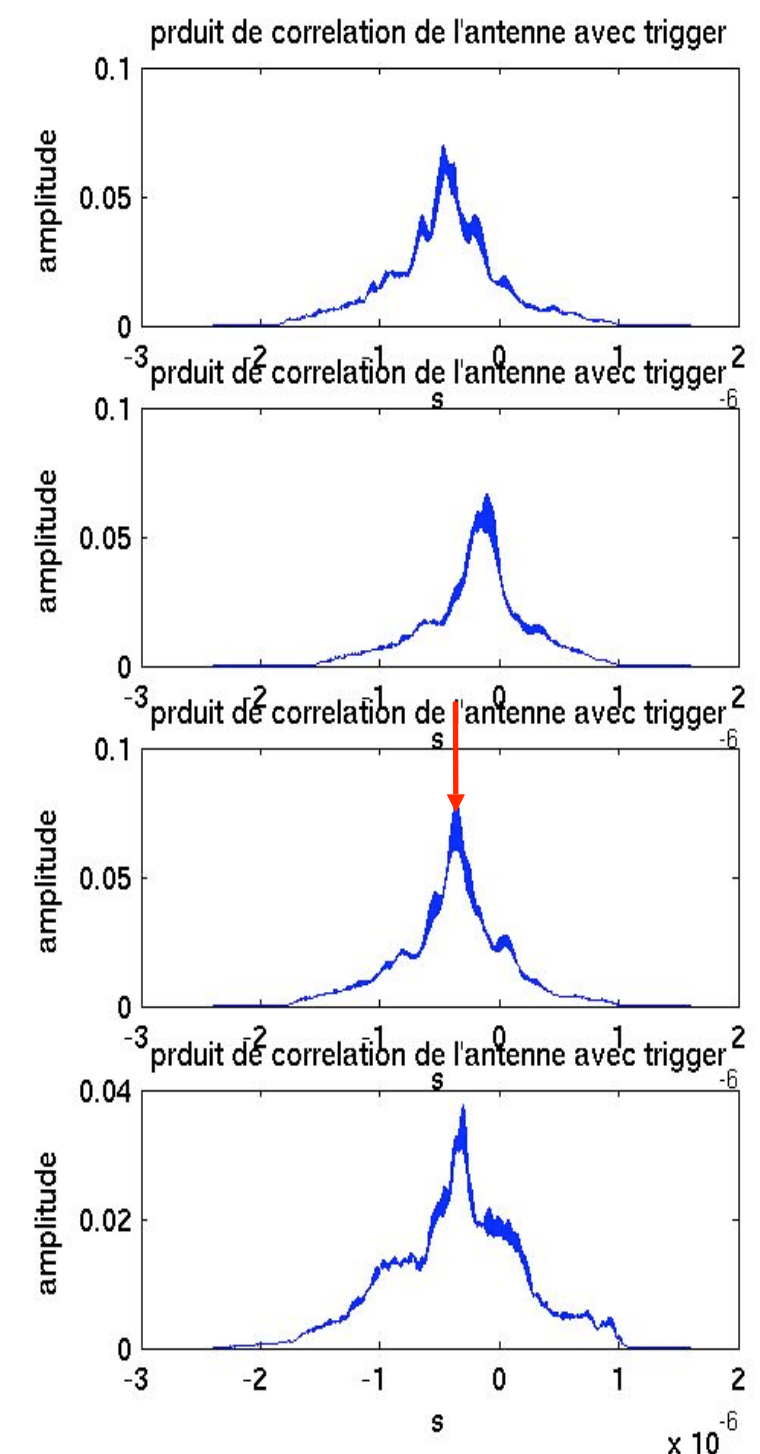
$\Delta t \sim T/2 \sim 15 \text{ ns} \sim 4 \text{ light meters}$



**Maximum of  $V^2(t)$   
(35-65 MHz)**



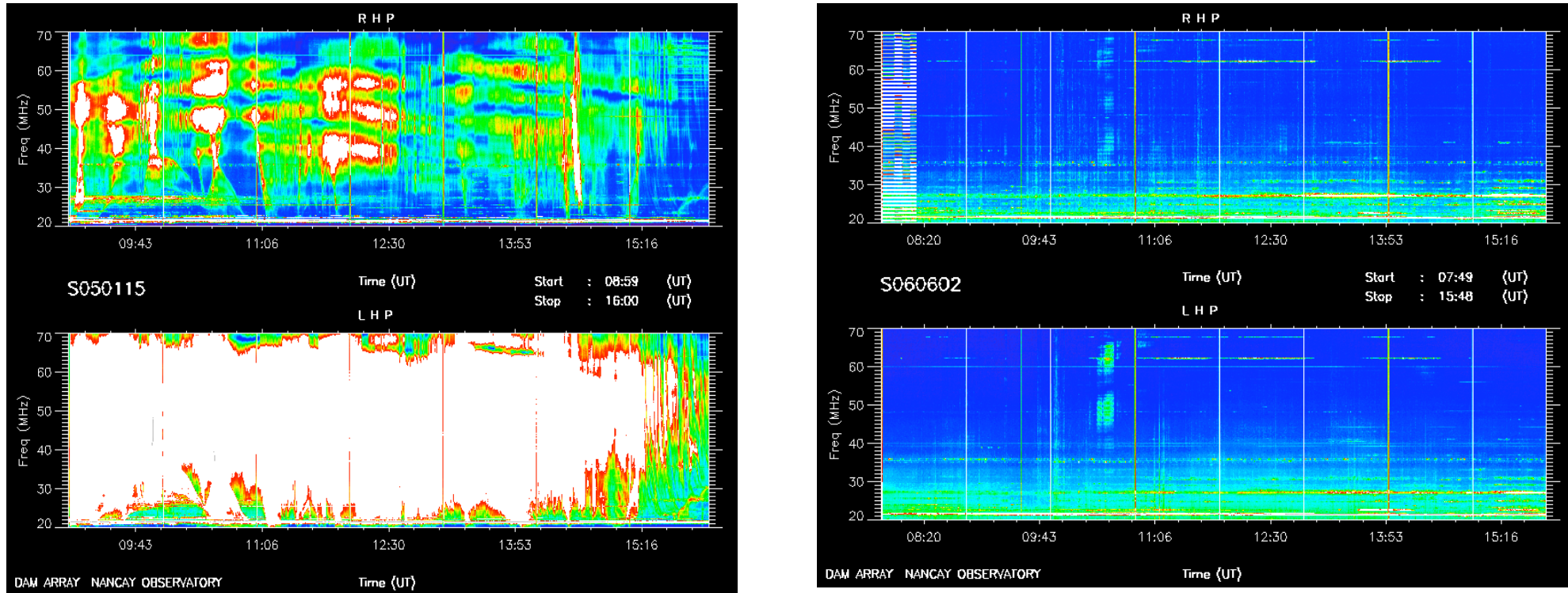
**Antenna-Antenna  
correlation function**



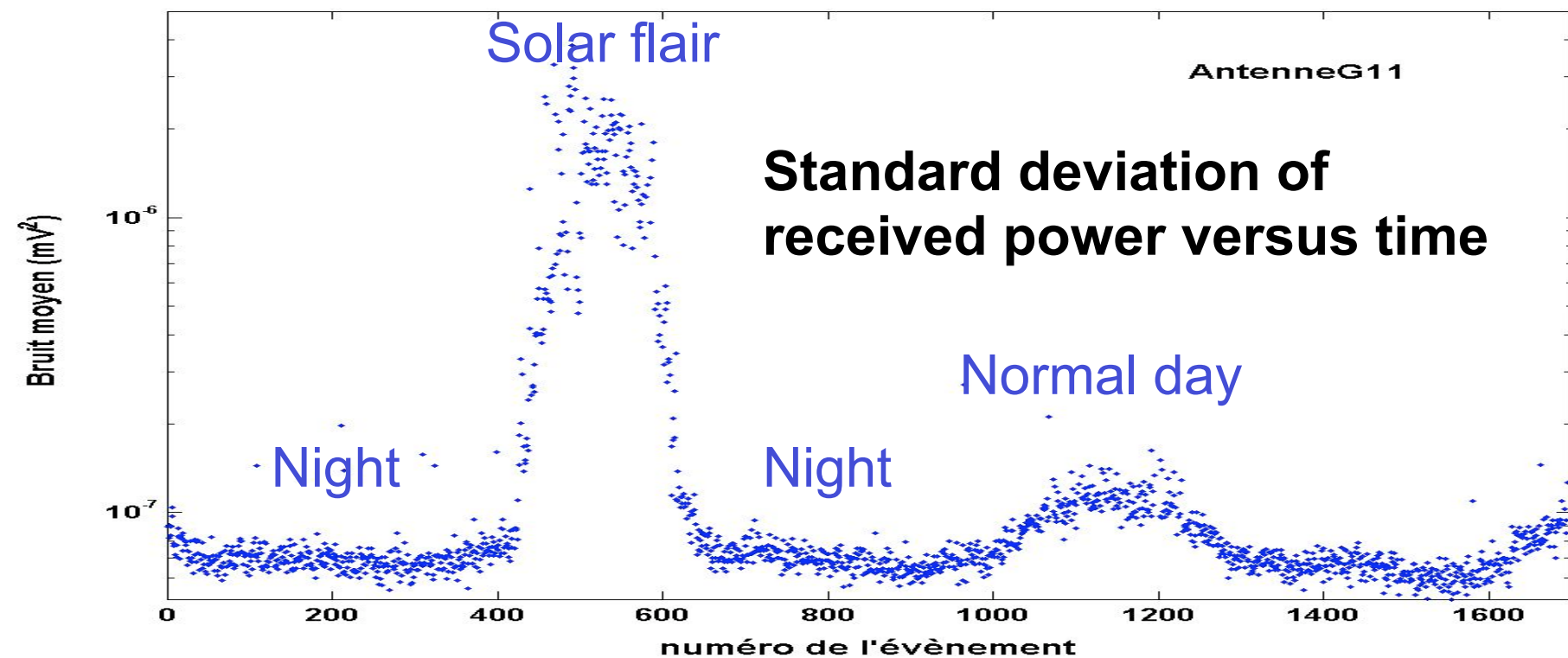
# Triangulation performances (1)

(using Solar bursts)

DAM sun survey  
15/01/05  
&  
02/06/06

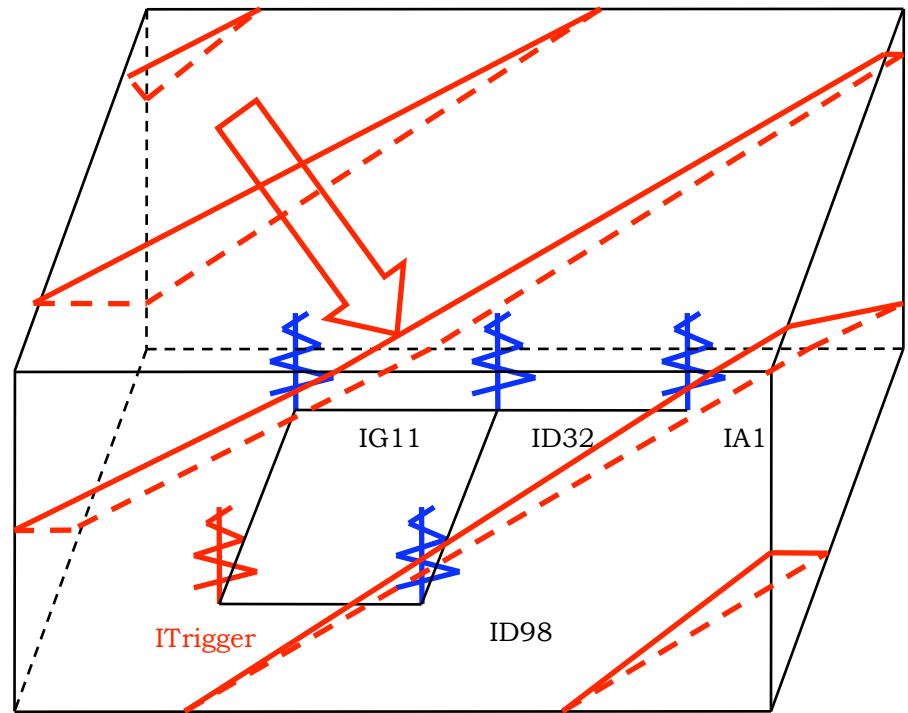


solar flare in active region  
AR10720 on 2005 Jan. 15



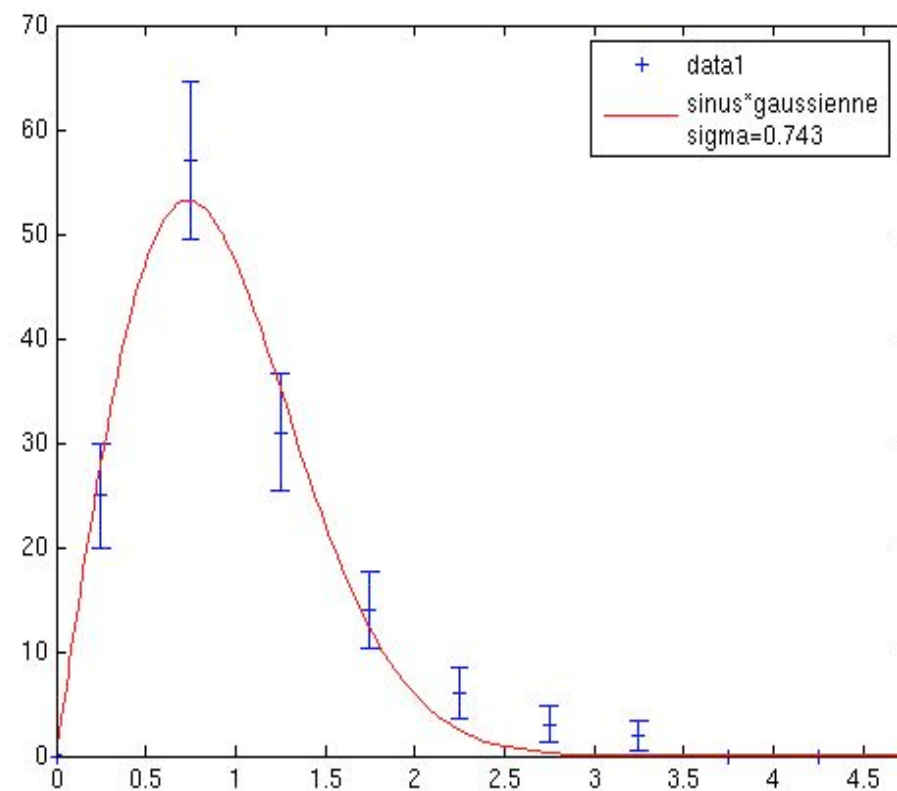
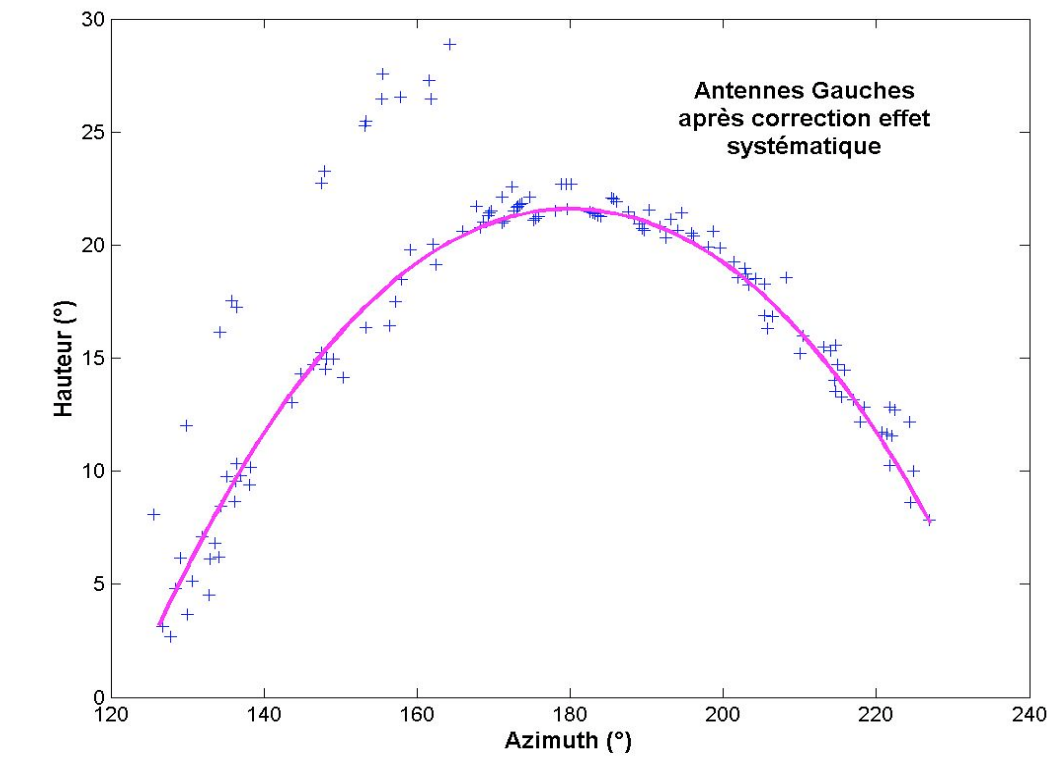
# Triangulation performances (2)

## (using Solar bursts)



Principle of the triangulation

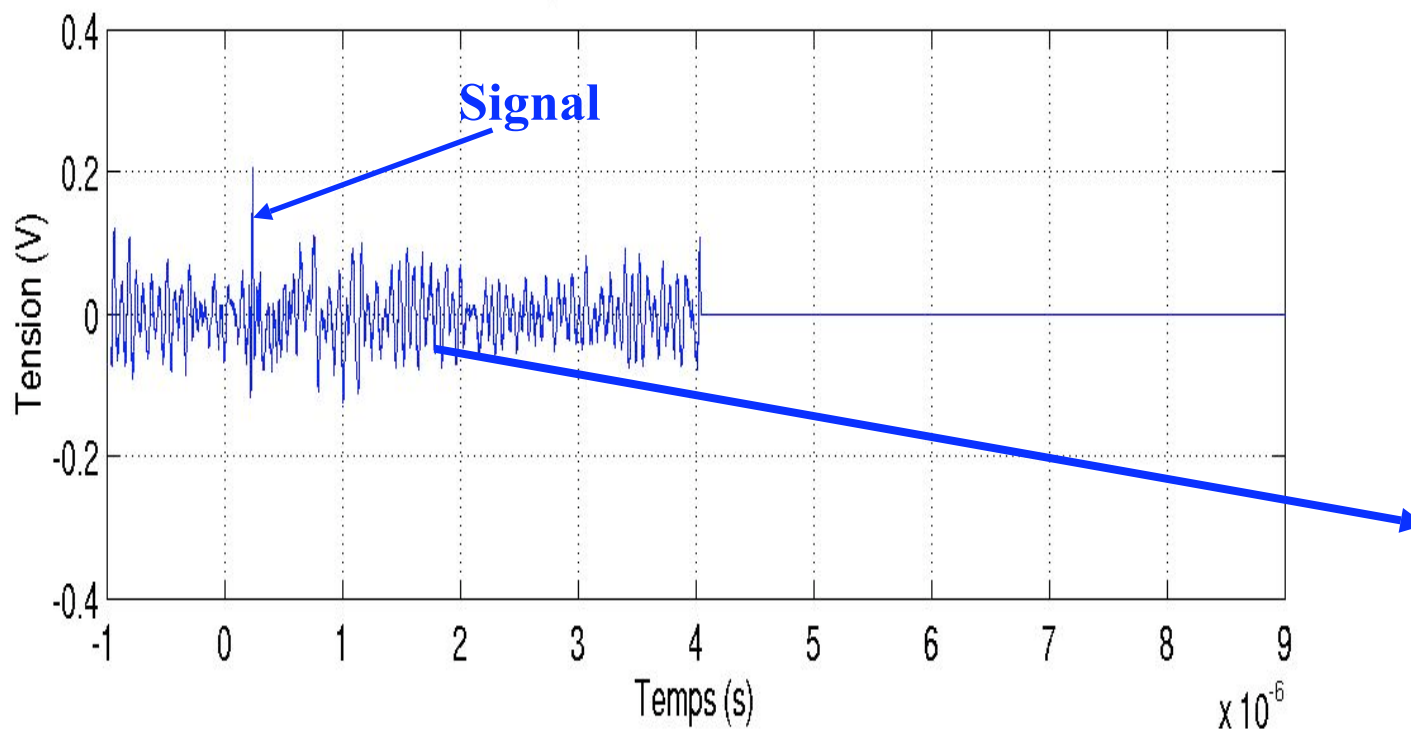
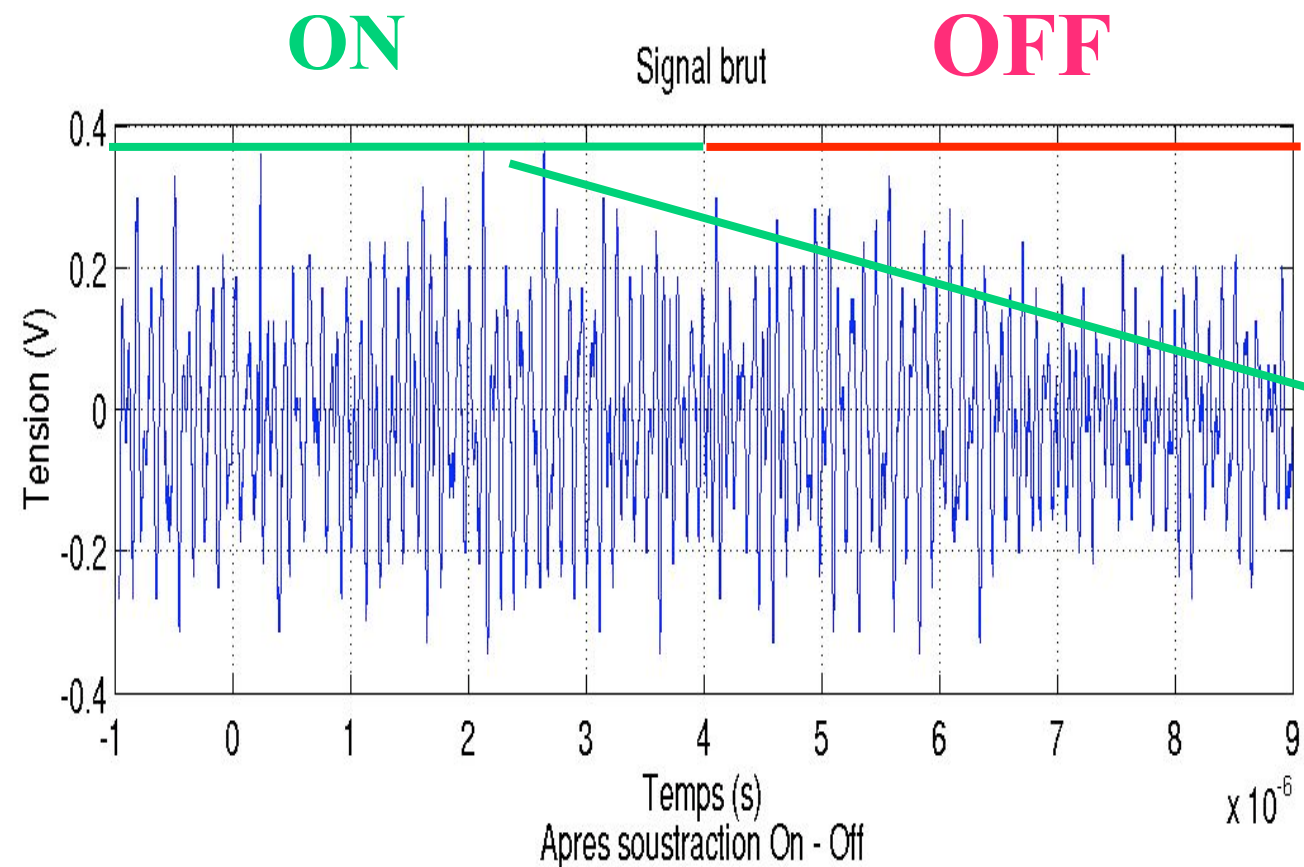
Reconstructed directions versus sun ephemerids



Distribution of the Residues

Direction accuracy  
 $\sigma = 0.74^\circ$

# Principe d'extraction de la forme d'onde large bande via un filtrage FFT + une methode On-Off



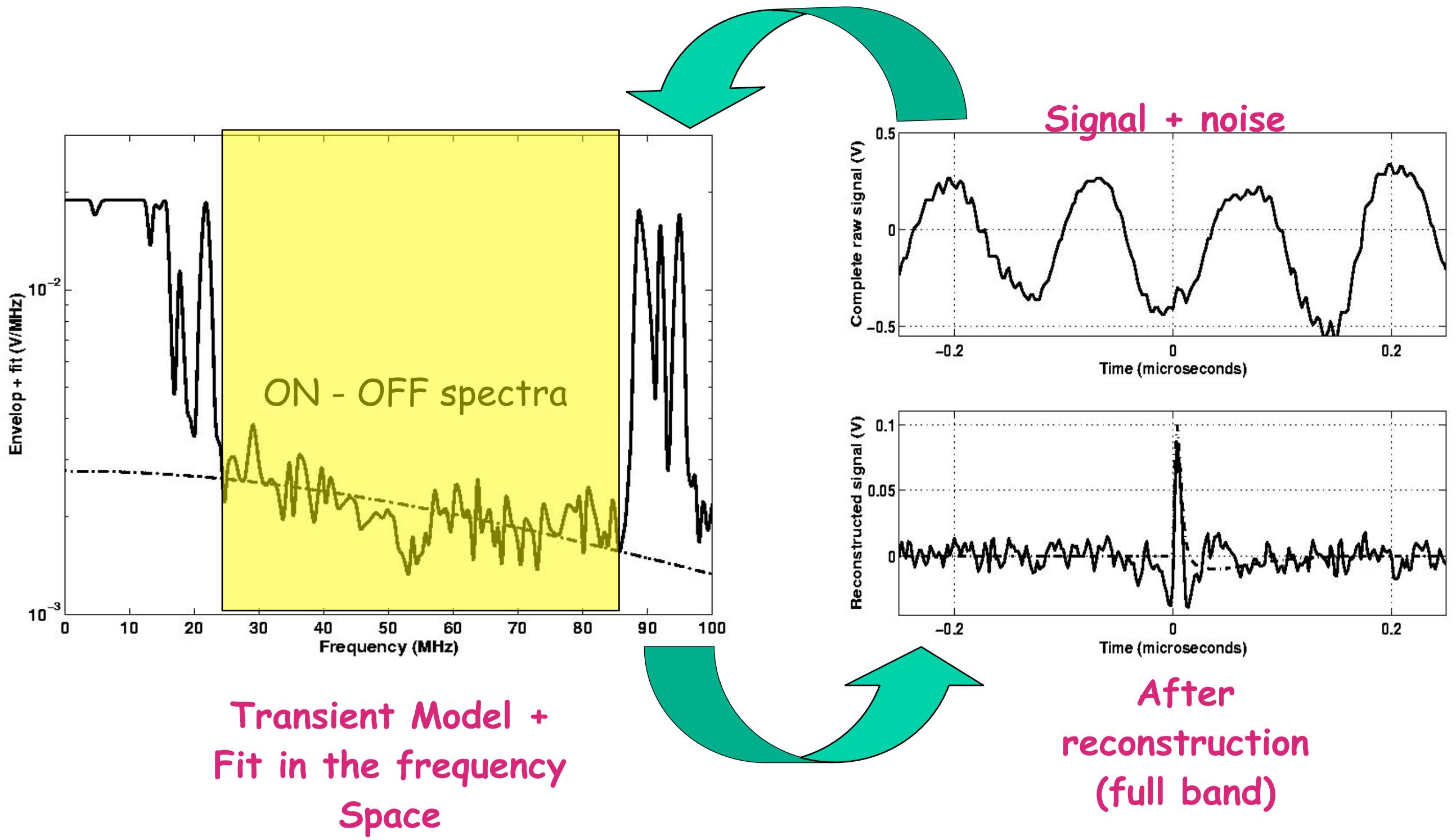
- Par fft sur la partie OFF :  
 $R_{off}(f) e^{j\Phi_{off}(f)}$
- Par fft sur la partie ON :  
 $R_{on}(f) e^{j\Phi_{on}(f)}$

Hypothèse:

- Émetteurs RF stationnaire
  - Signal recherché faible
- =>  $R_{on/off}(f) = R_{on}(f) - R_{off}(f)$

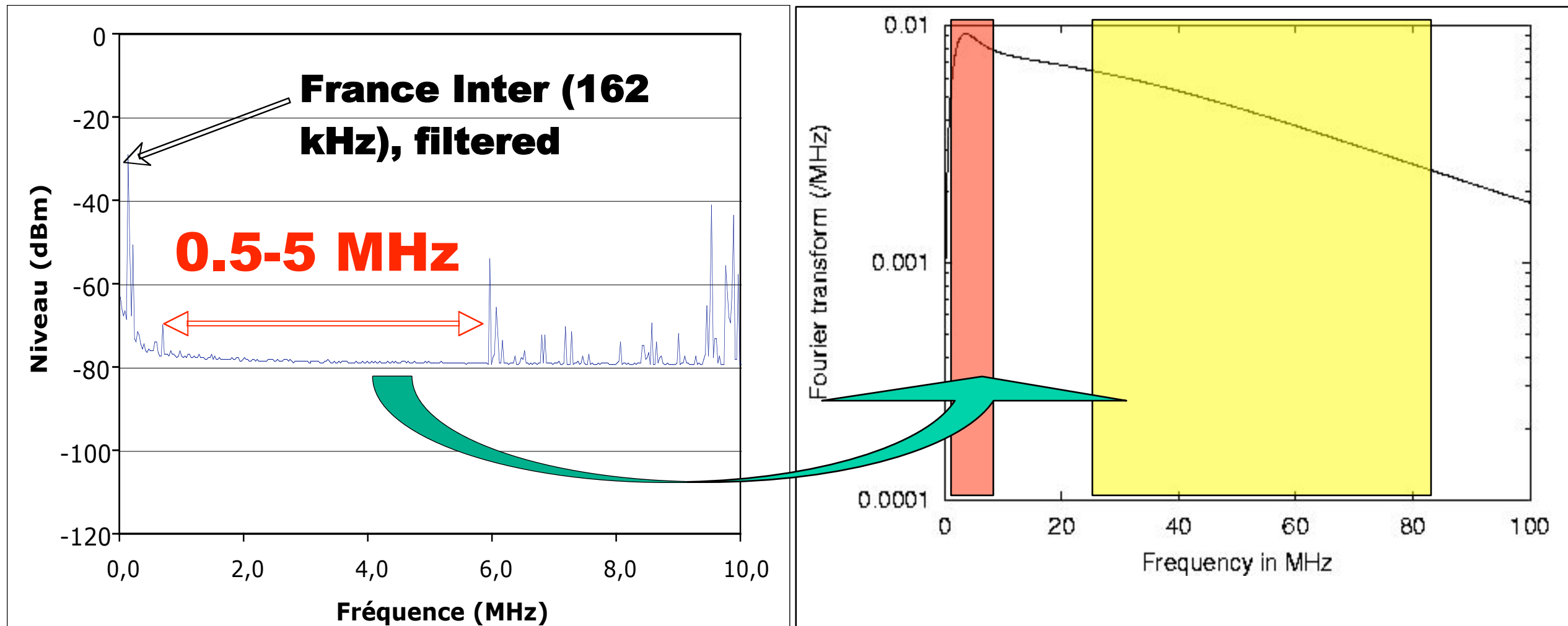
# Principe d'extraction de la forme d'onde large bande

via un filtrage FFT + un modèle de transitoire



# Principe d'extraction de la forme d'onde large bande via un filtrage FFT + modèle + contrainte à basse fréquence

Nécessite une antenne très large bande (0.2-100 MHz)



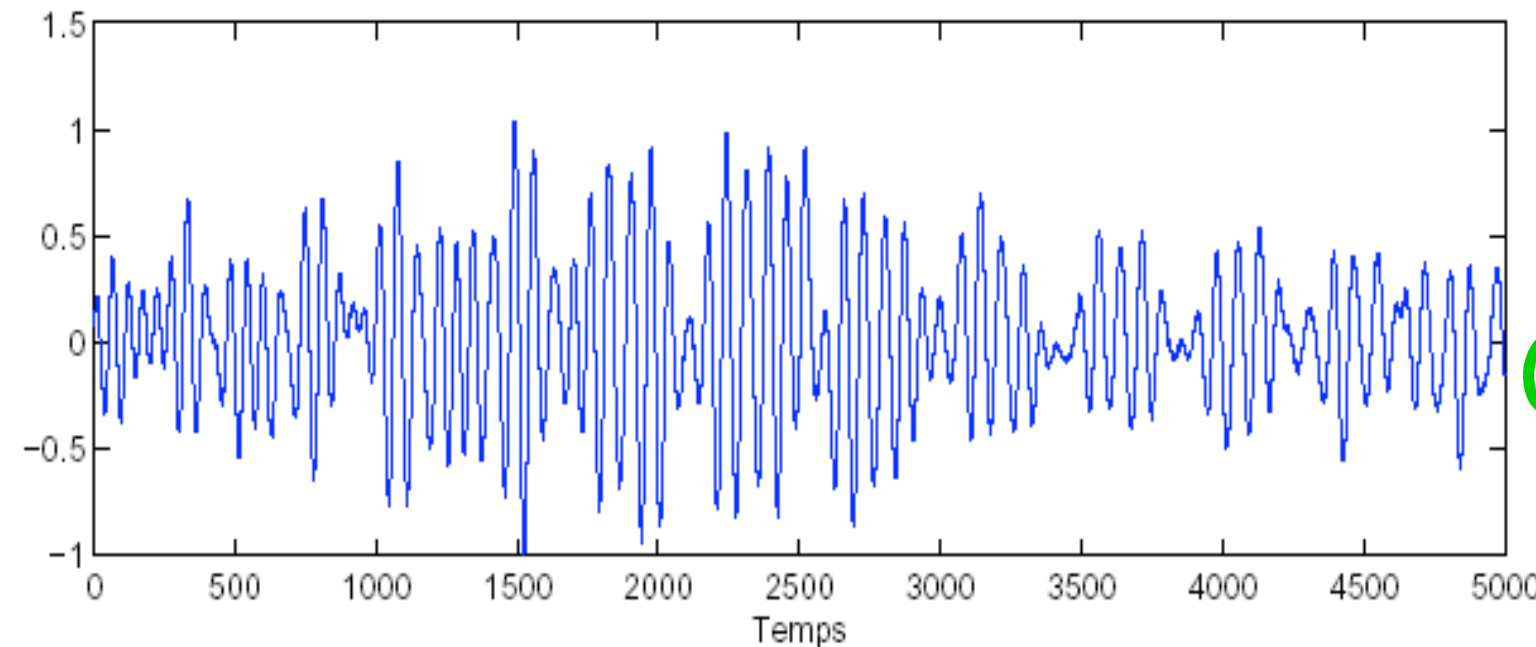
Mais la contribution basse fréquence n'est pas systématiquement accessible (alternance jour/nuit)

# Principe d'extraction de la forme d'onde large bande

via un filtre LPC

Adaptative optimal filtering + wavelet analysis

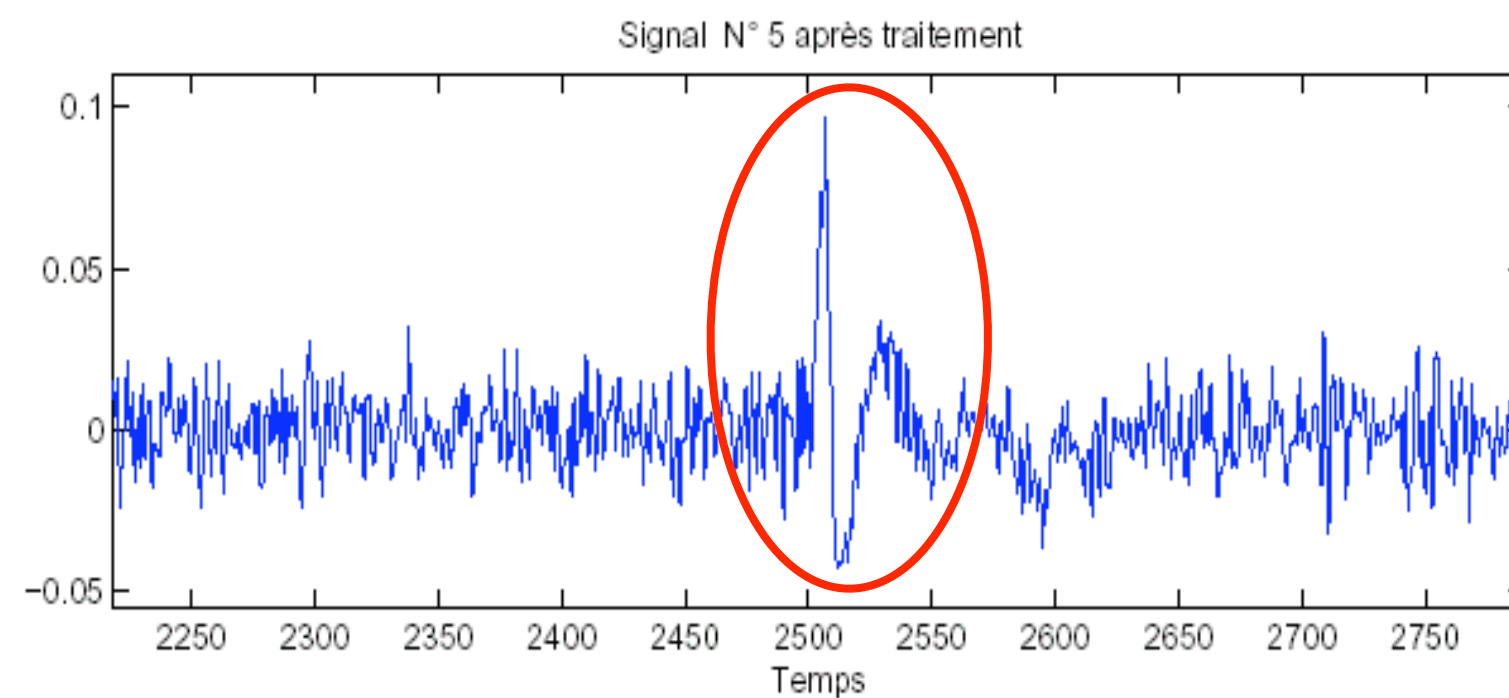
=>Partial shape:  
full band  
recovery need  
complet filter ...



Signal

(noise+ pulse)

=>Time  
resolution: ~ns  
adding Wavelet  
Analysis

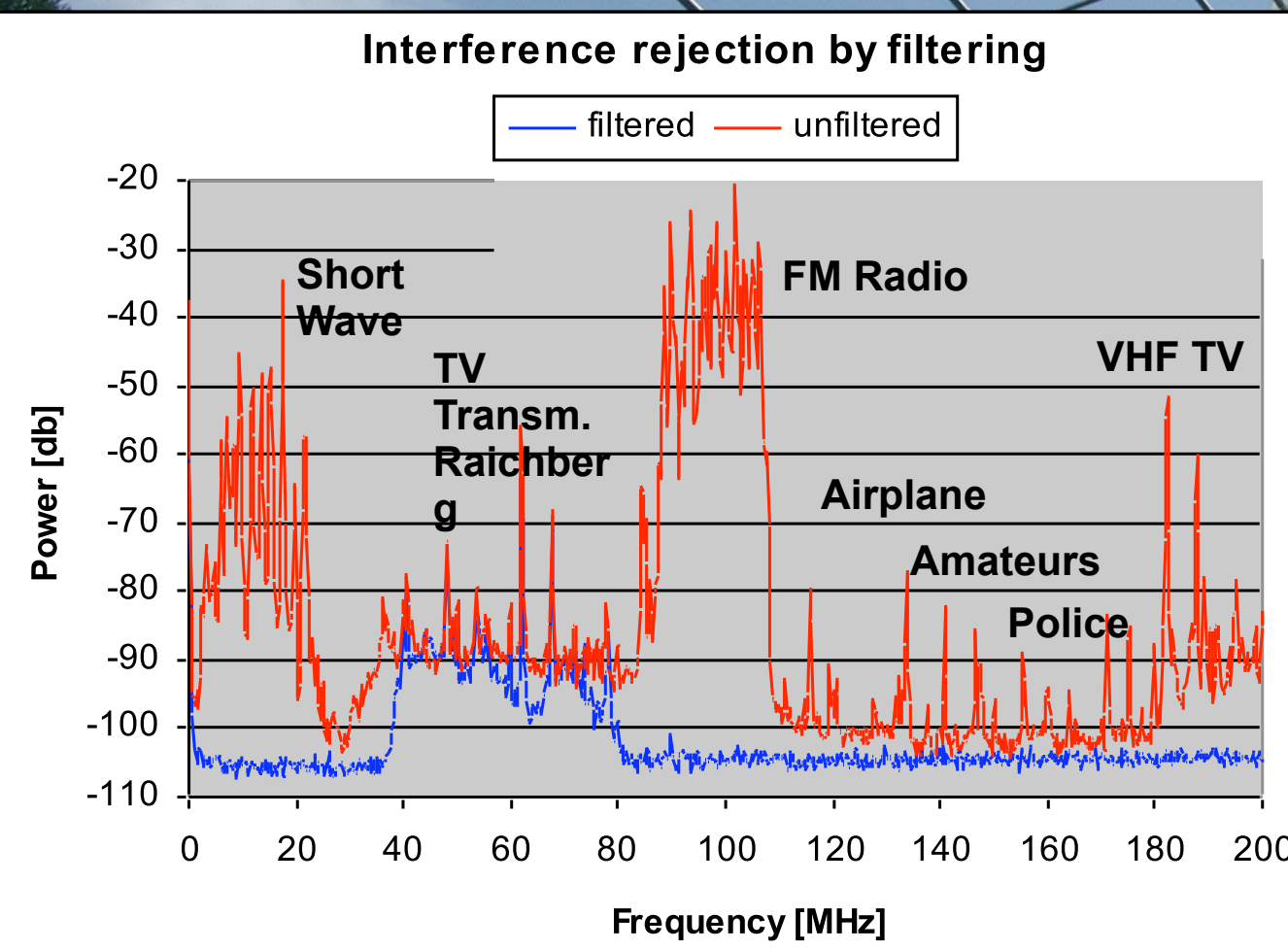


Remaining  
signal

# Self-Triggered Receiver Concept of LOPESSTAR

H. Gemmeke & O. Kroemer

**GOAL:** Tagging transients inside RFI  
=> Removing RFI in the band  
of interest of the shower signal



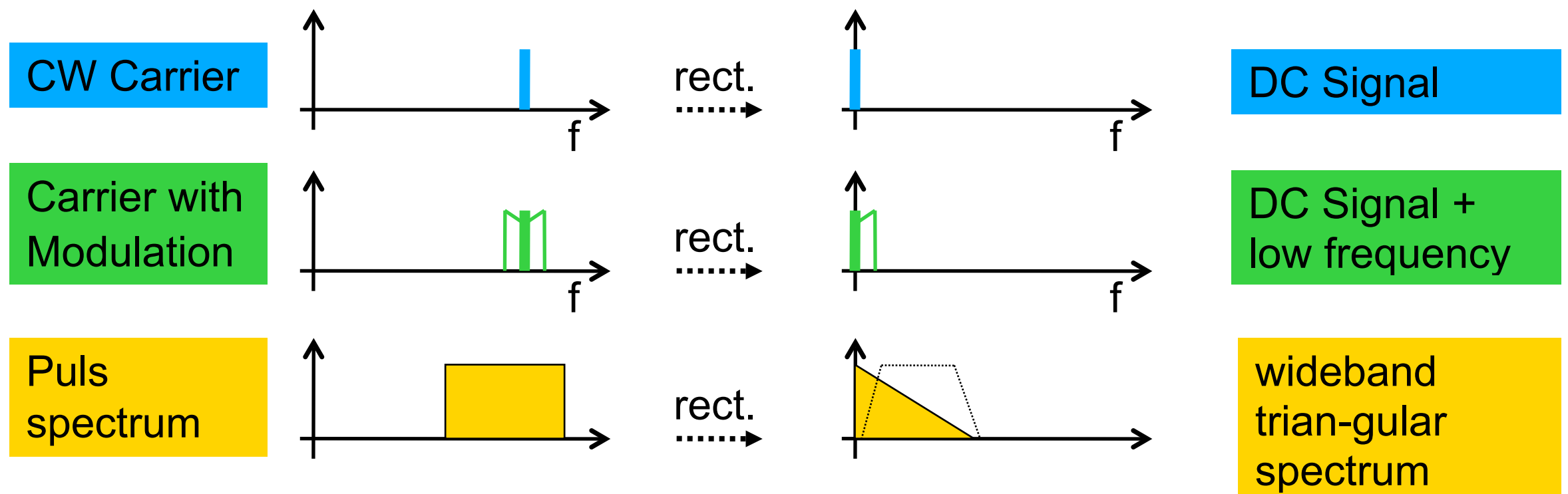
# Why driving the trigger with rectified RF ?

The rectifier is a squaring device:

$$s(t) \rightarrow (\ )^2 \rightarrow r(t)$$

$$r(t) = s(t) \times s(t) \quad \textcircled{R} \quad R(j\omega) = S(j\omega) * S(j\omega)$$

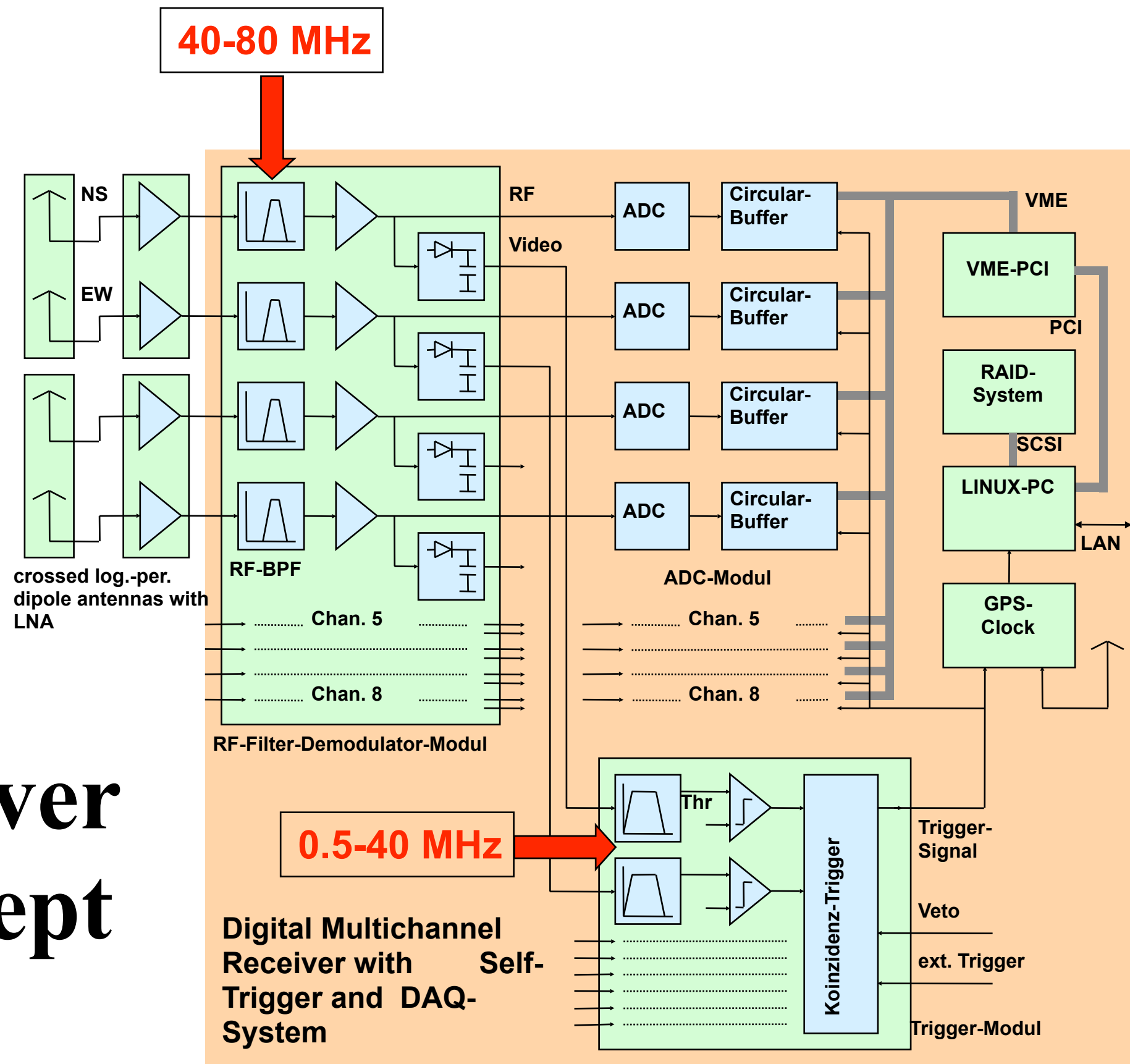
Multiplication (time domain)  $\rightarrow$  Convolution (frequency domain)



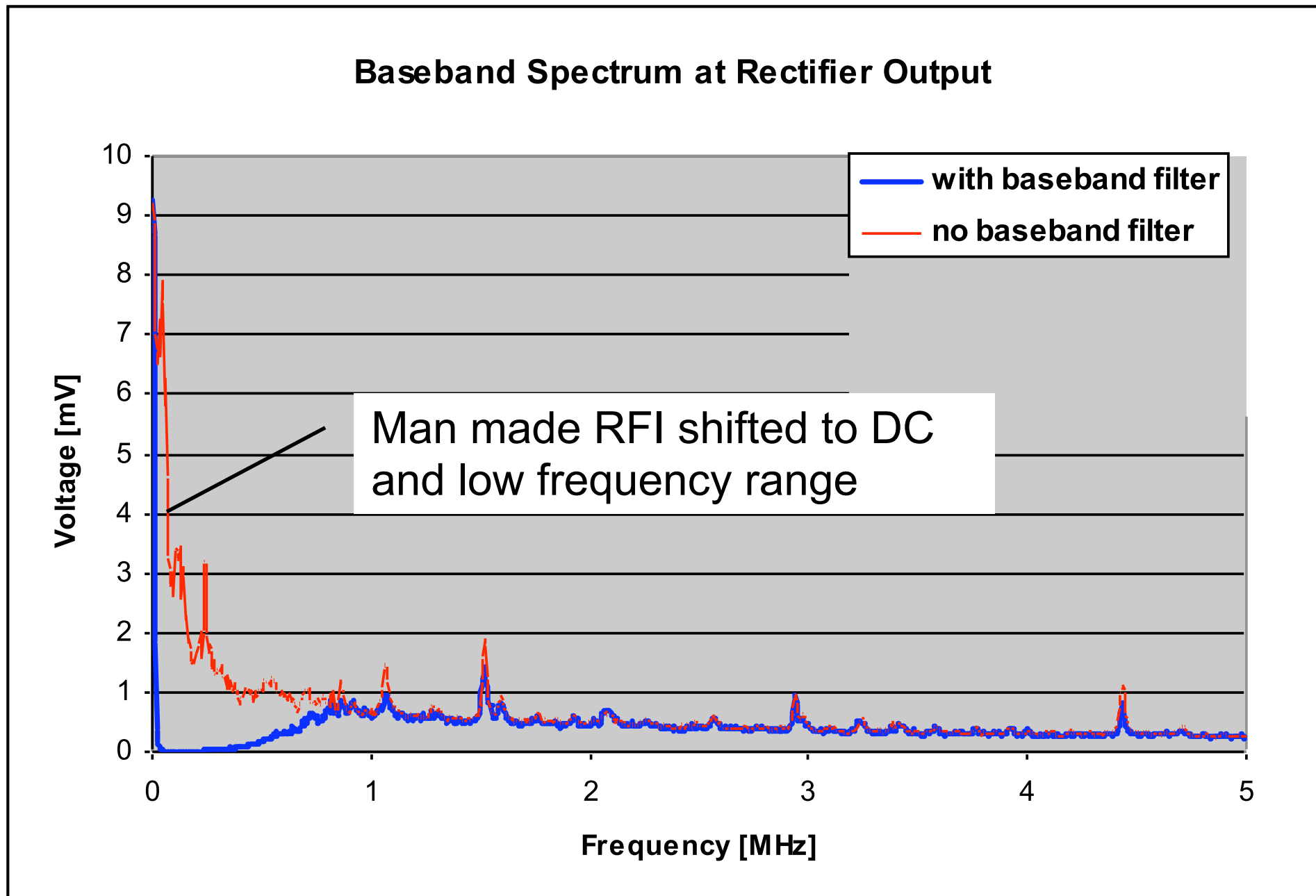
At Rectifier output:  
filtering

Man made RFI are DC or low frequency and may be separated from puls spectrum by baseband

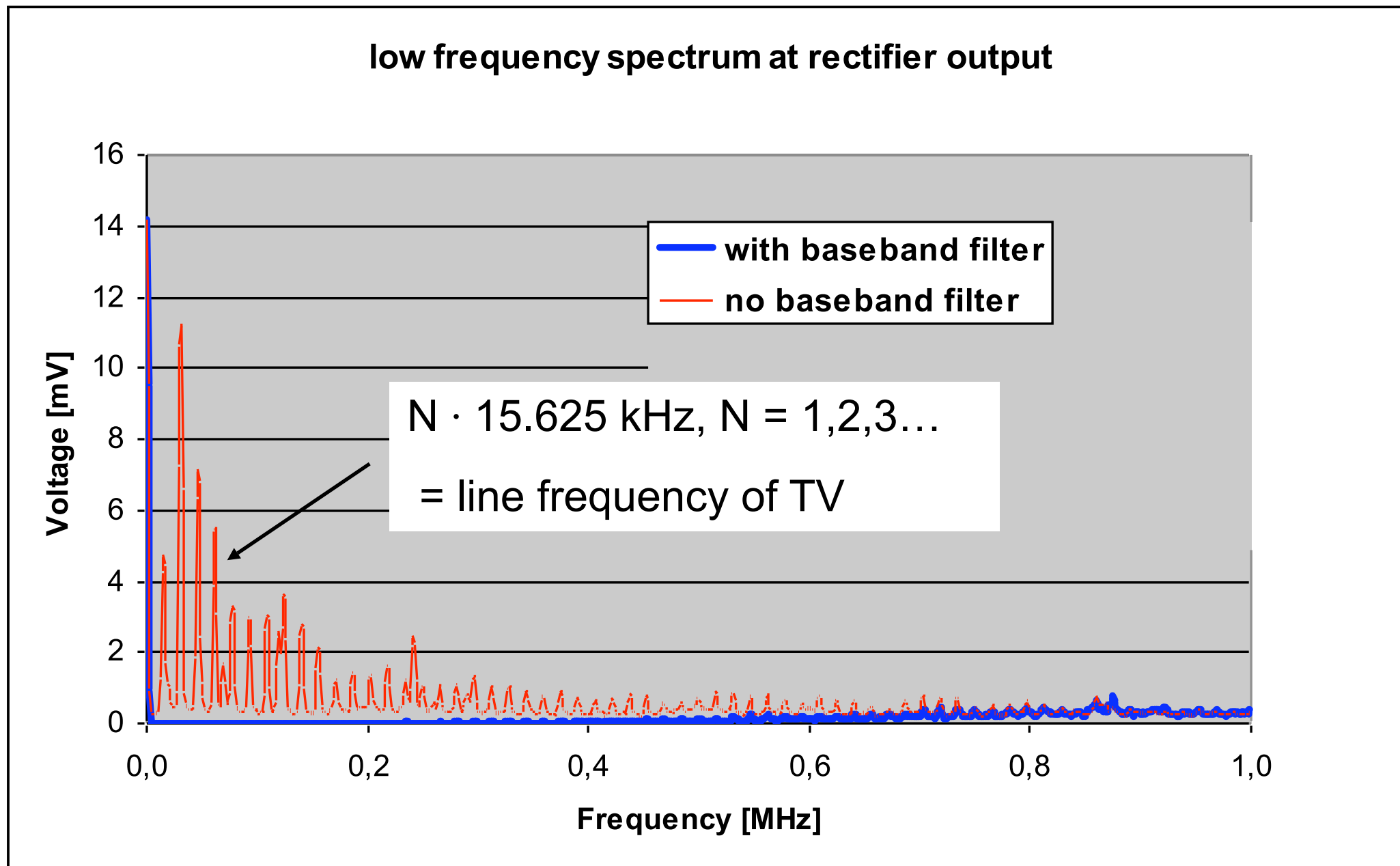
# Receiver Concept



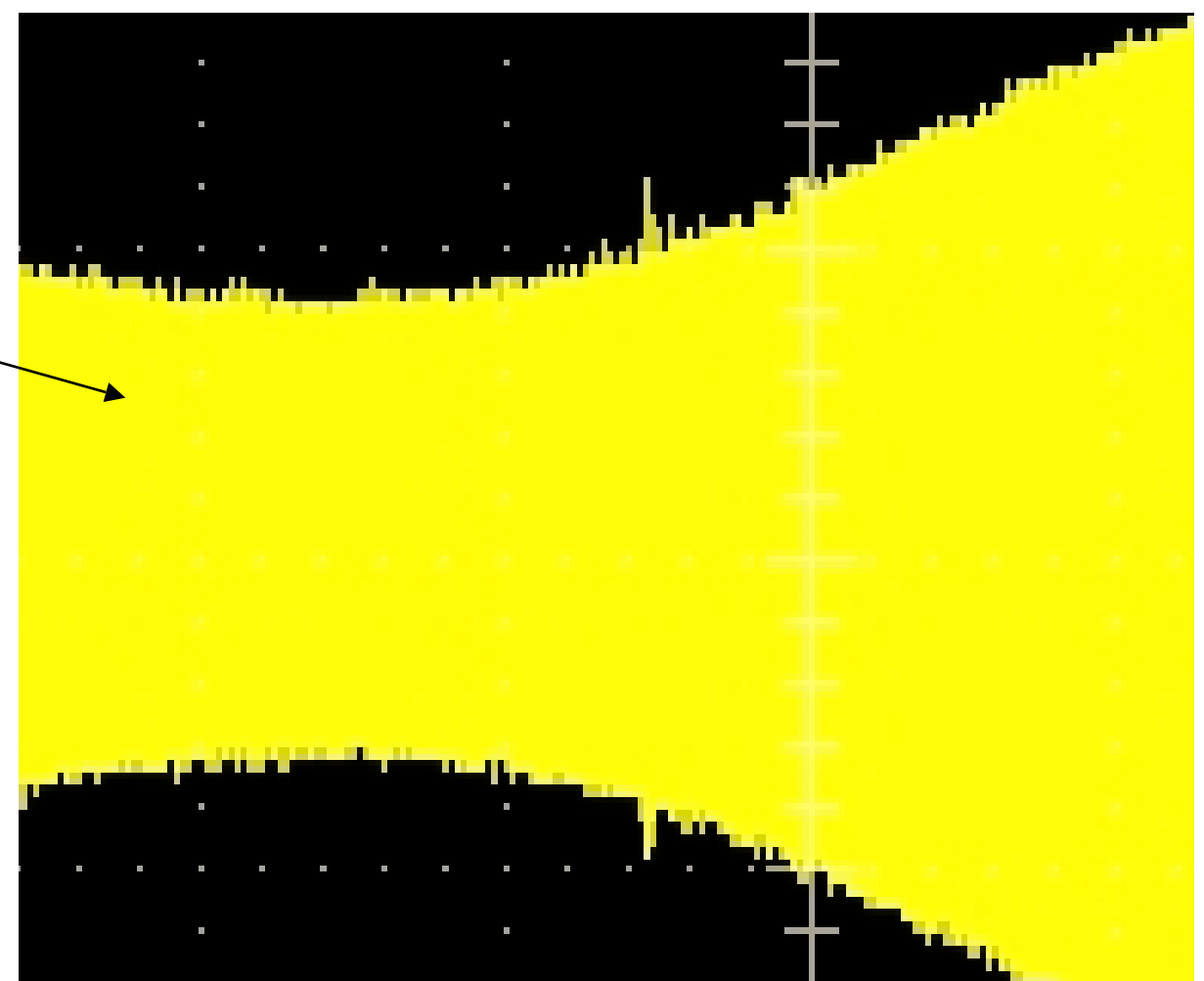
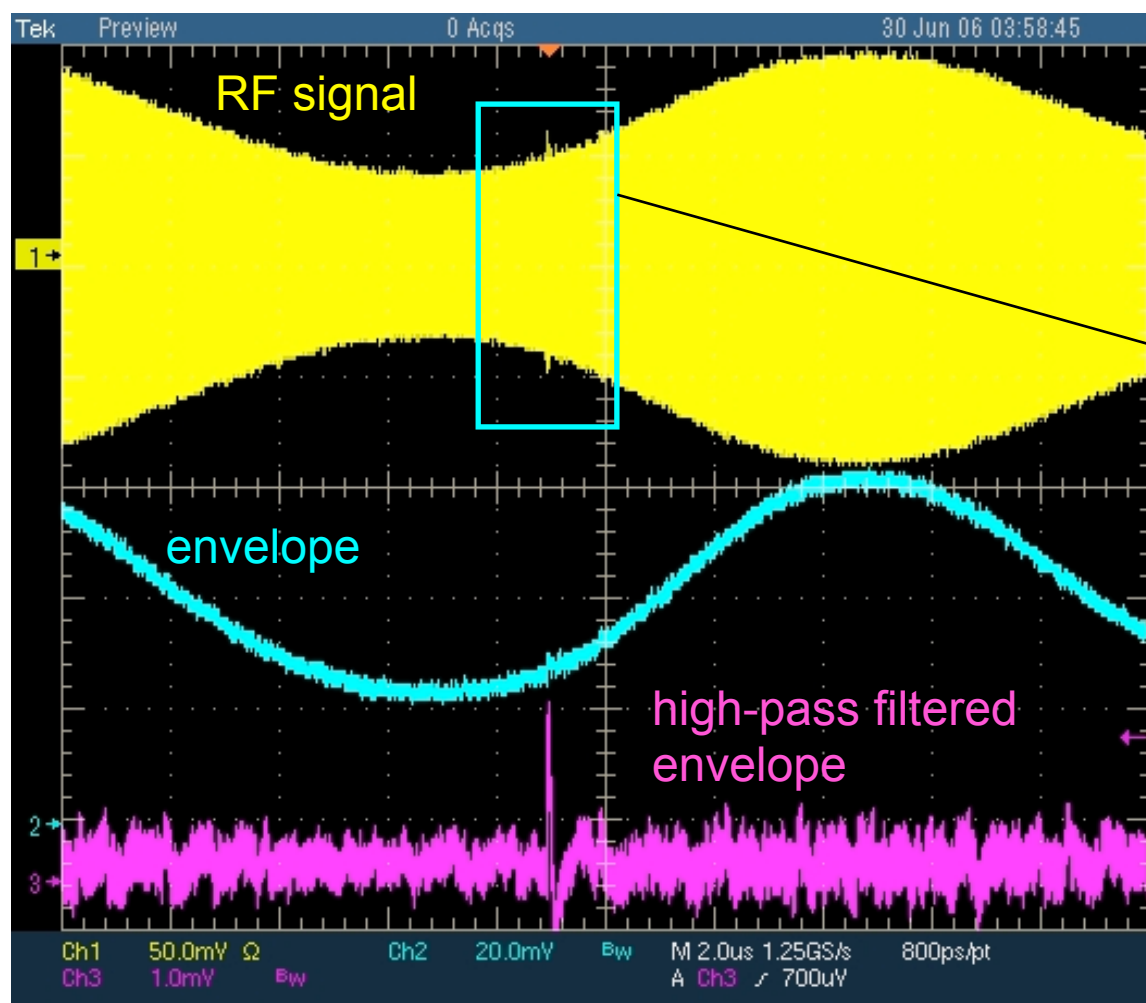
# Baseband spectrum at rectifier output



# Baseband spectrum at rectifier output

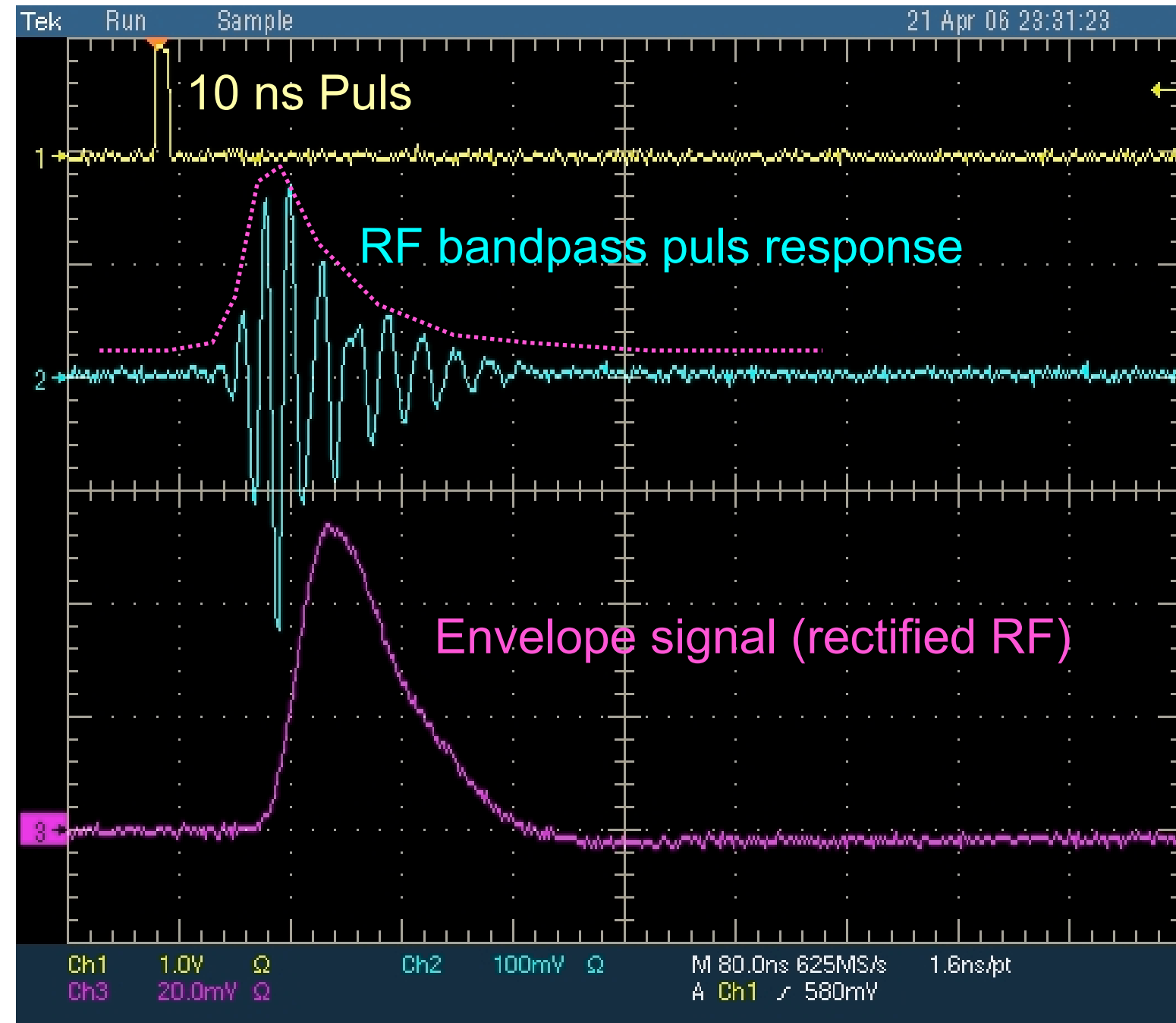


# Example of narrow band RFI rejection

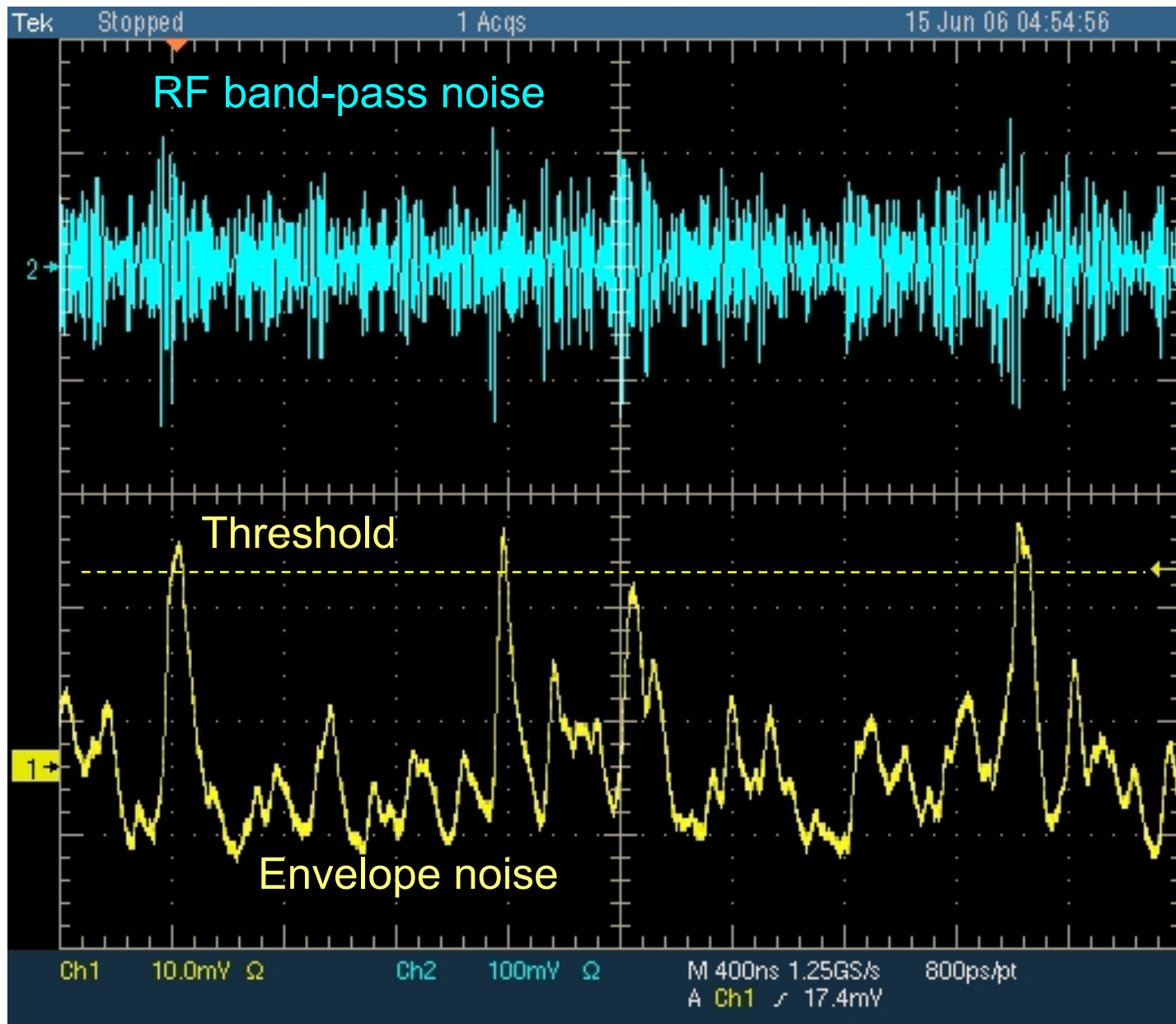


50%-AM-modulated carrier with pulse

# Driving the trigger with envelope signals (rectified RF)



# Limits of self trigger



Noise distributions ?

Probability that the envelope noise  
overtops the threshold ?

False trigger rate ?

Signal / Noise ?

Detection probability ?

Detectable energies ?

# Noise distributions

If RFIs are rejected as shown or in radio quiet environment the receiver noise is dominated by external natural noise sources (< 30 MHz atmosphere, > 30 MHz galactic)

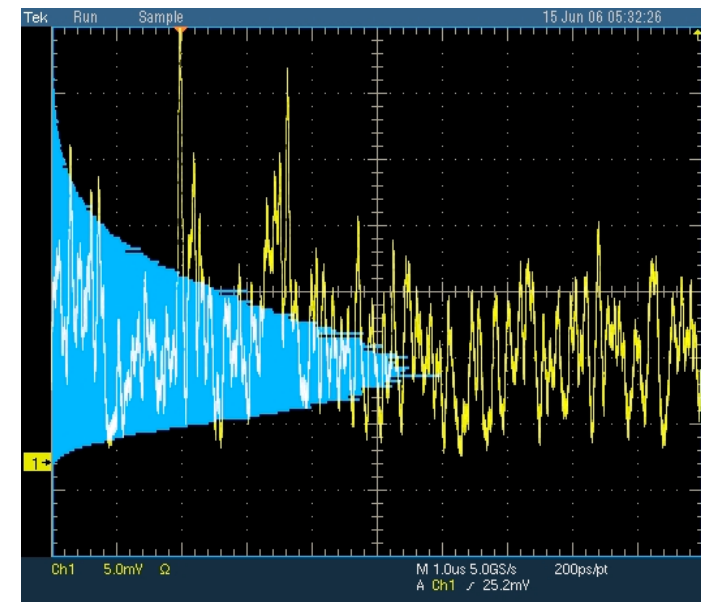
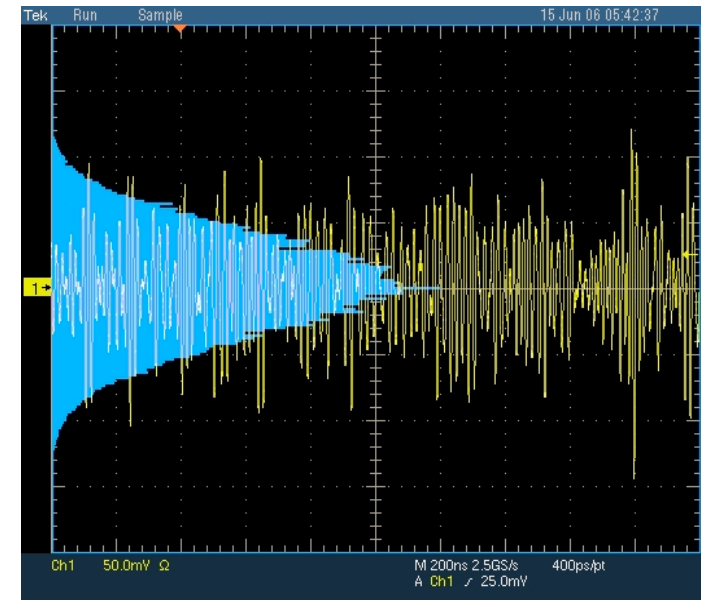
Gaussian distribution  $p(n)$  of RF signal  $n(t)$ ,  
 variance = noise power ( $\sigma^2=N$ )

$$p(n) = \frac{1}{\sqrt{2\pi}\sigma} \exp\left(-\frac{n^2}{2\sigma^2}\right) = \frac{1}{\sqrt{2\pi N}} \exp\left(-\frac{n^2}{2N}\right)$$

Envelope demodulation →

Rayleigh distribution  $p(r)$  of envelope signal  $r(t) = |n(t)|$

$$p(r) = \begin{cases} \frac{r}{N} \exp\left(-\frac{r^2}{2N}\right) & r \geq 0 \\ 0 & r < 0 \end{cases}$$



# La détection des transitoires EM dans le domaine GHz

- Astronomie  $\gamma$  TeV...=>... Pulsars ?

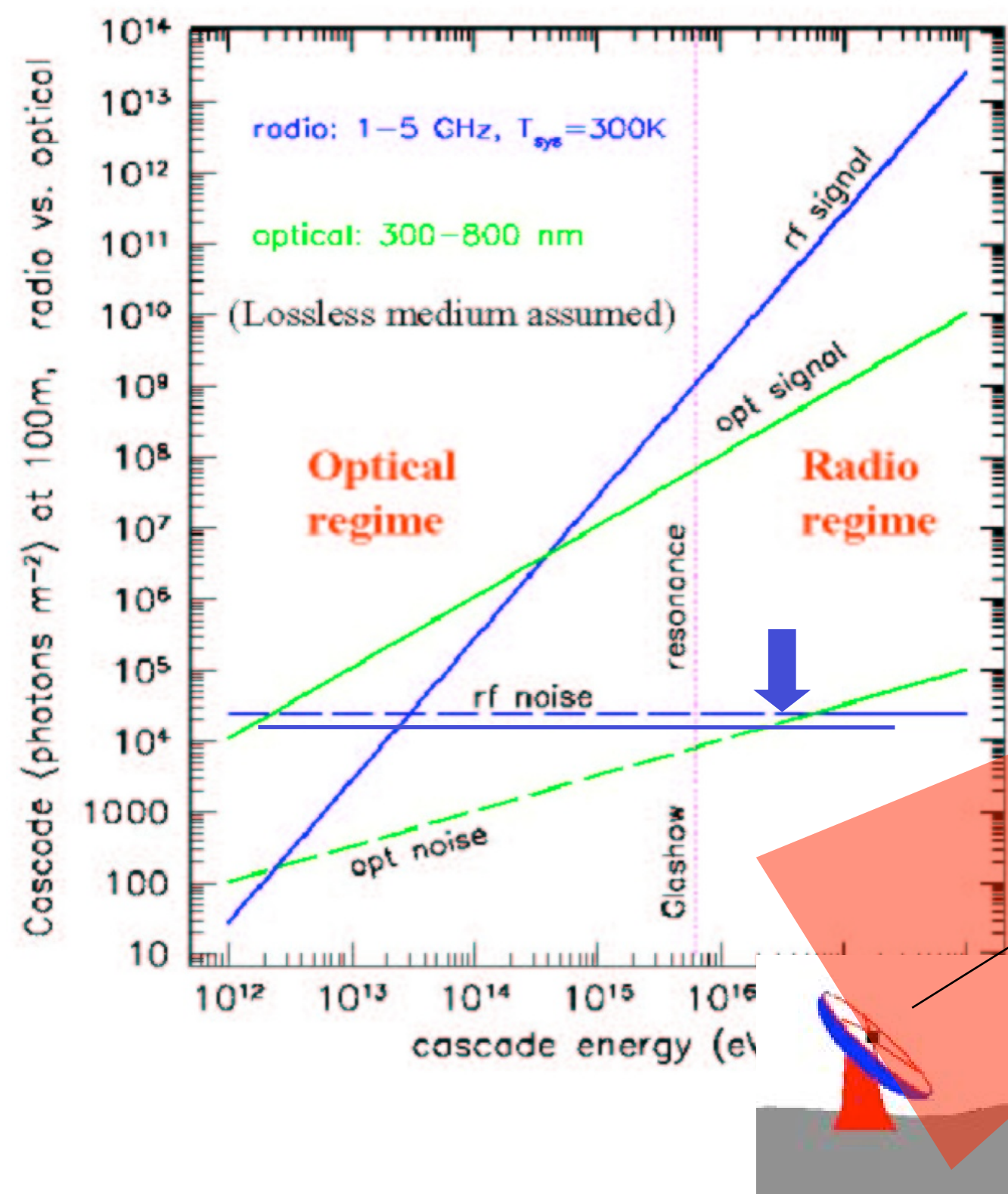


**ILLUSTRATION avec la détection des pulsars  
@ RT de Nançay**

- Détection d'une onde EM (plane)
- Signal faible: <<  $\mu$ V/m
- Durée grande: ms (+ dispersion temps-fréquence mais structures ns aussi!)
- Récurrence temporelle
- Pointage vers une source



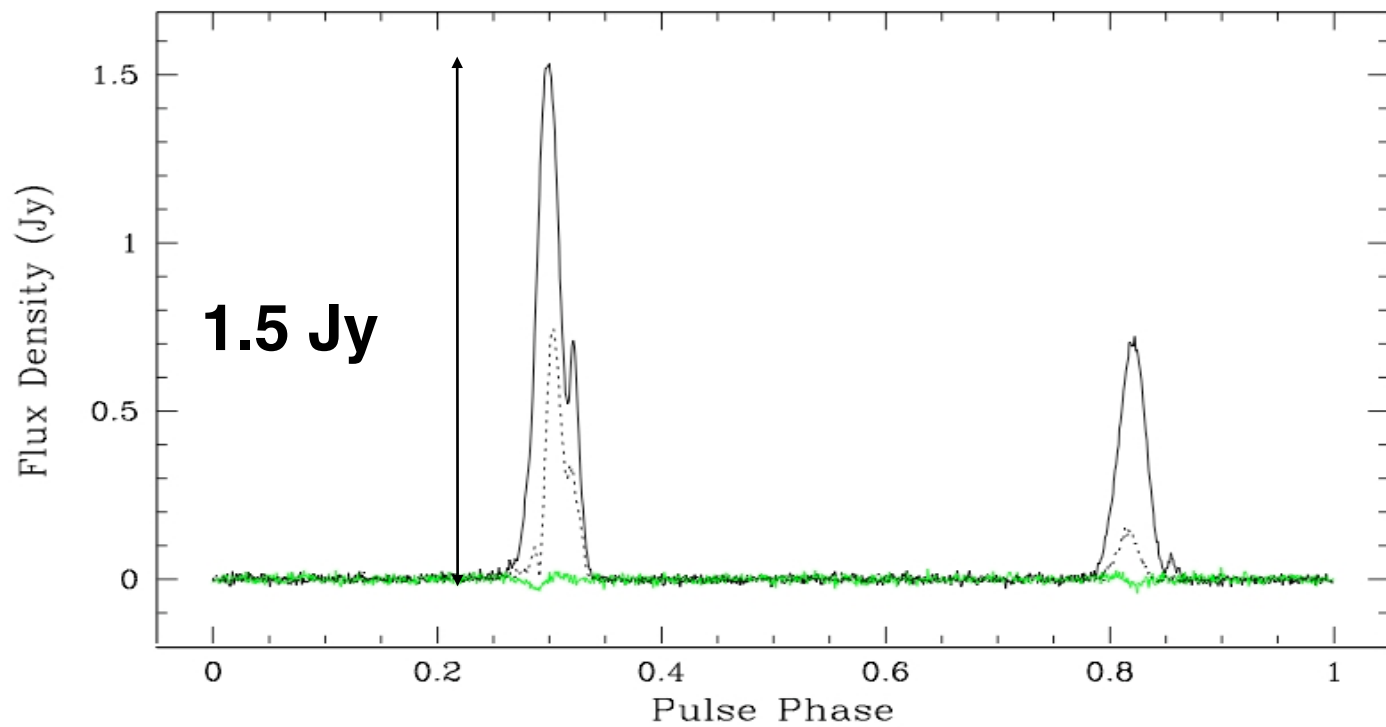
# Radio-astronomie de haute énergie: Radio-Détection à la HESS vers $10^{12}$ eV ?



Télescope pointé (~mn d'arc @ RT de Nançay)  
Détection du transitoire --> radio  
Trigger et Analyse en forme d'onde ~ méthode CODALEMA

Fréquence  $\sim 1$  GHz  
Fond = 3 K°  
 $\Rightarrow T_{\text{sys}} \sim 20$  K°

# Détection de structures nanoseconde dans les impulsions géantes des pulsars (Crabe, PSR1937...)



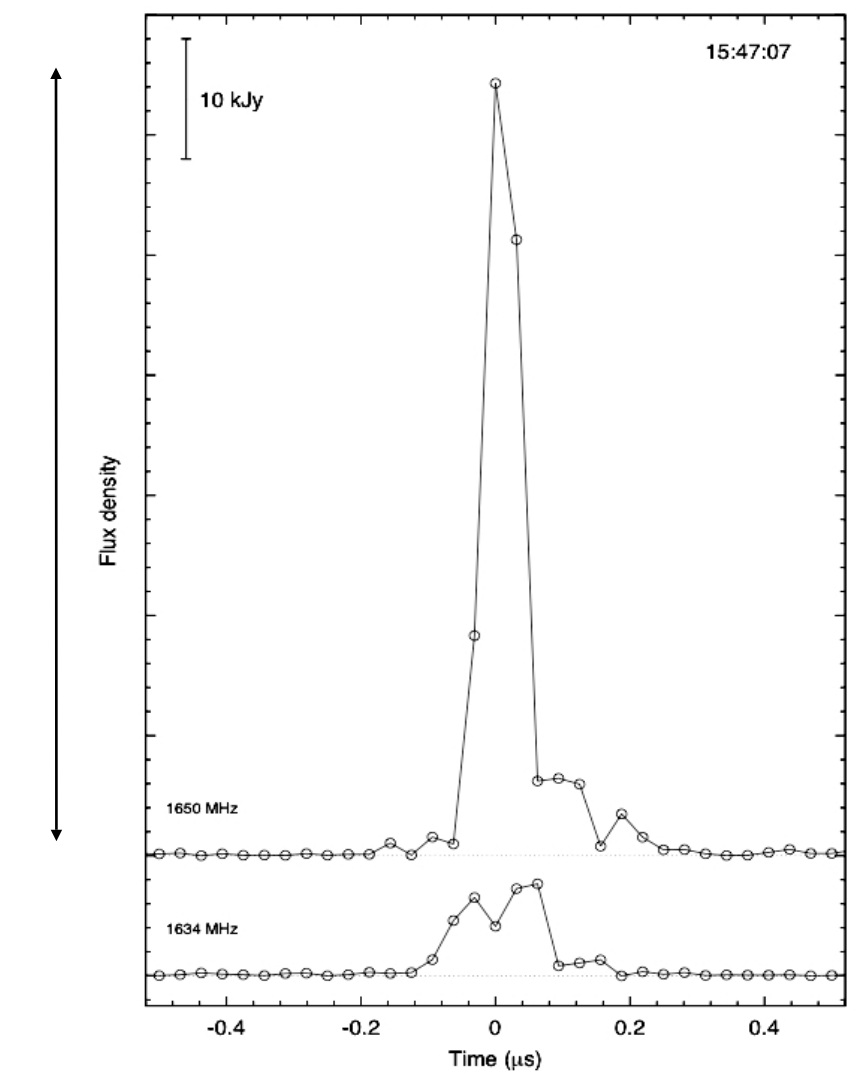
PSR 1937 - Pulse normal...

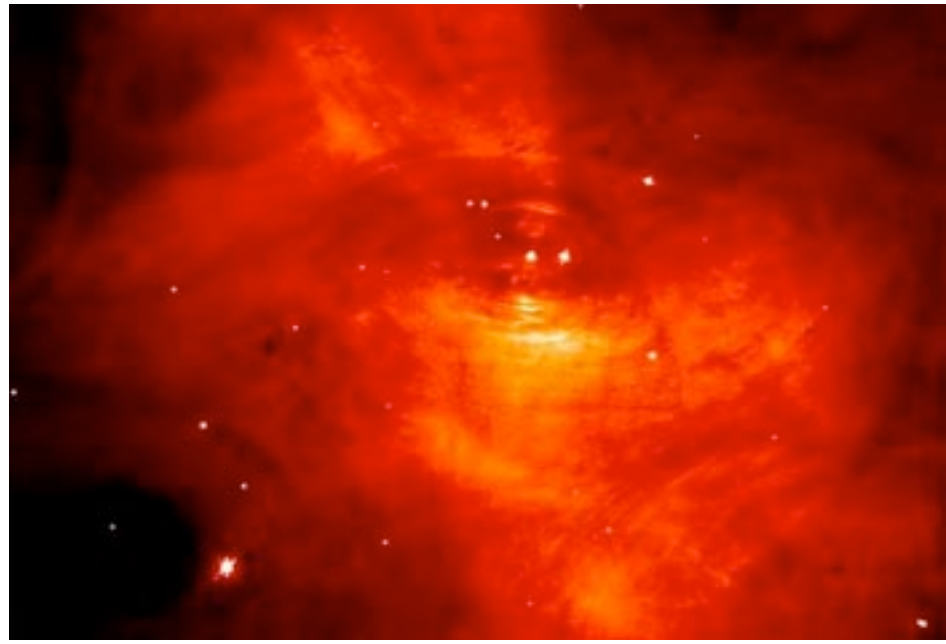
(Soglasnov et al., ApJ 2005)

75 kJy !

... Giant pulse

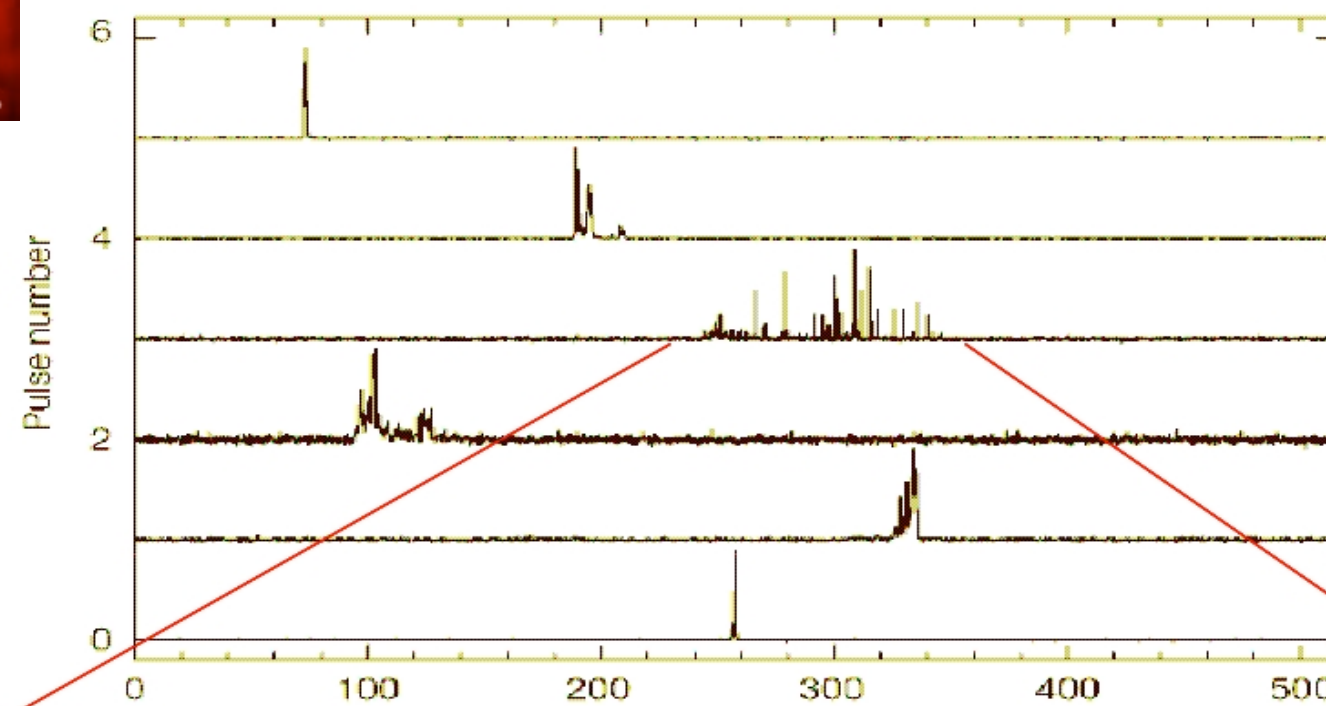
Résolution 31.25 ns



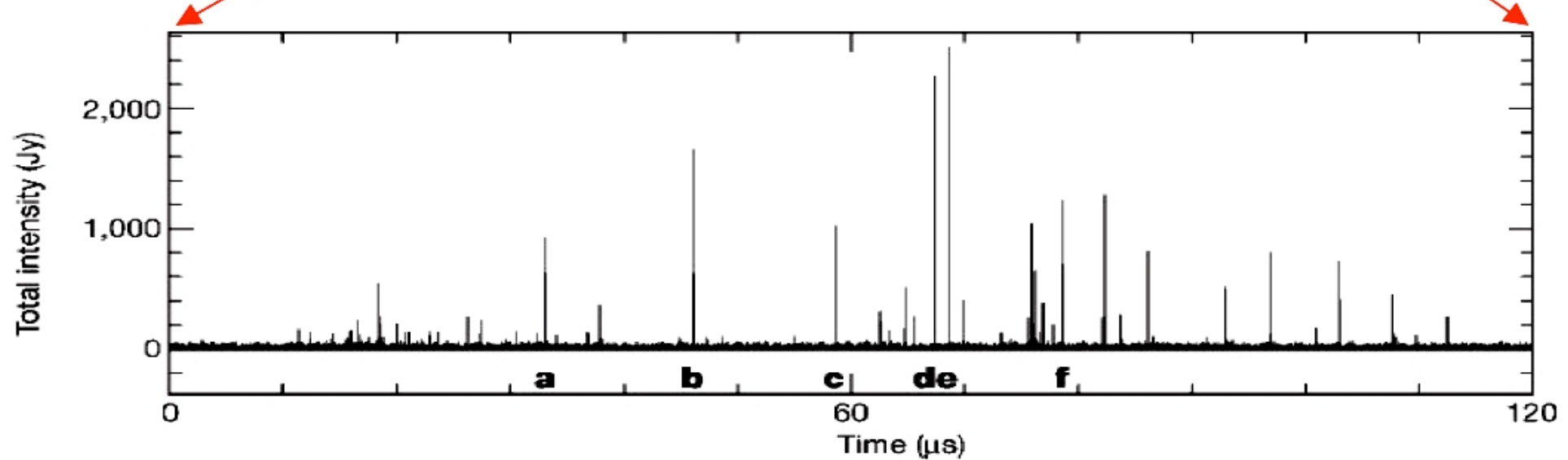


**La nébuleuse et le pulsar  
du Crabe**

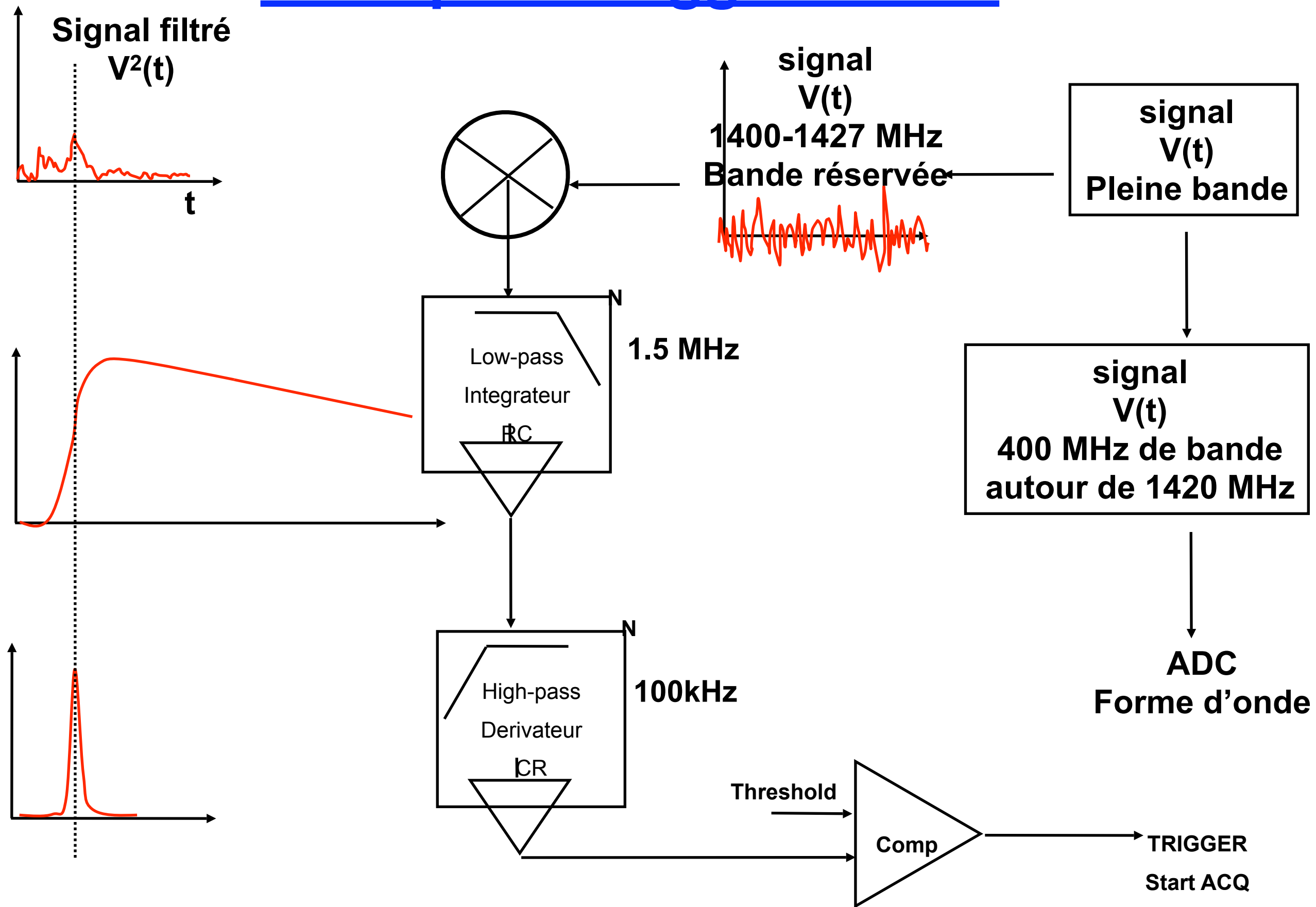
**Nanosecond radio bursts in Crab pulsar  
Hankins et al., Nature 422, 2003**



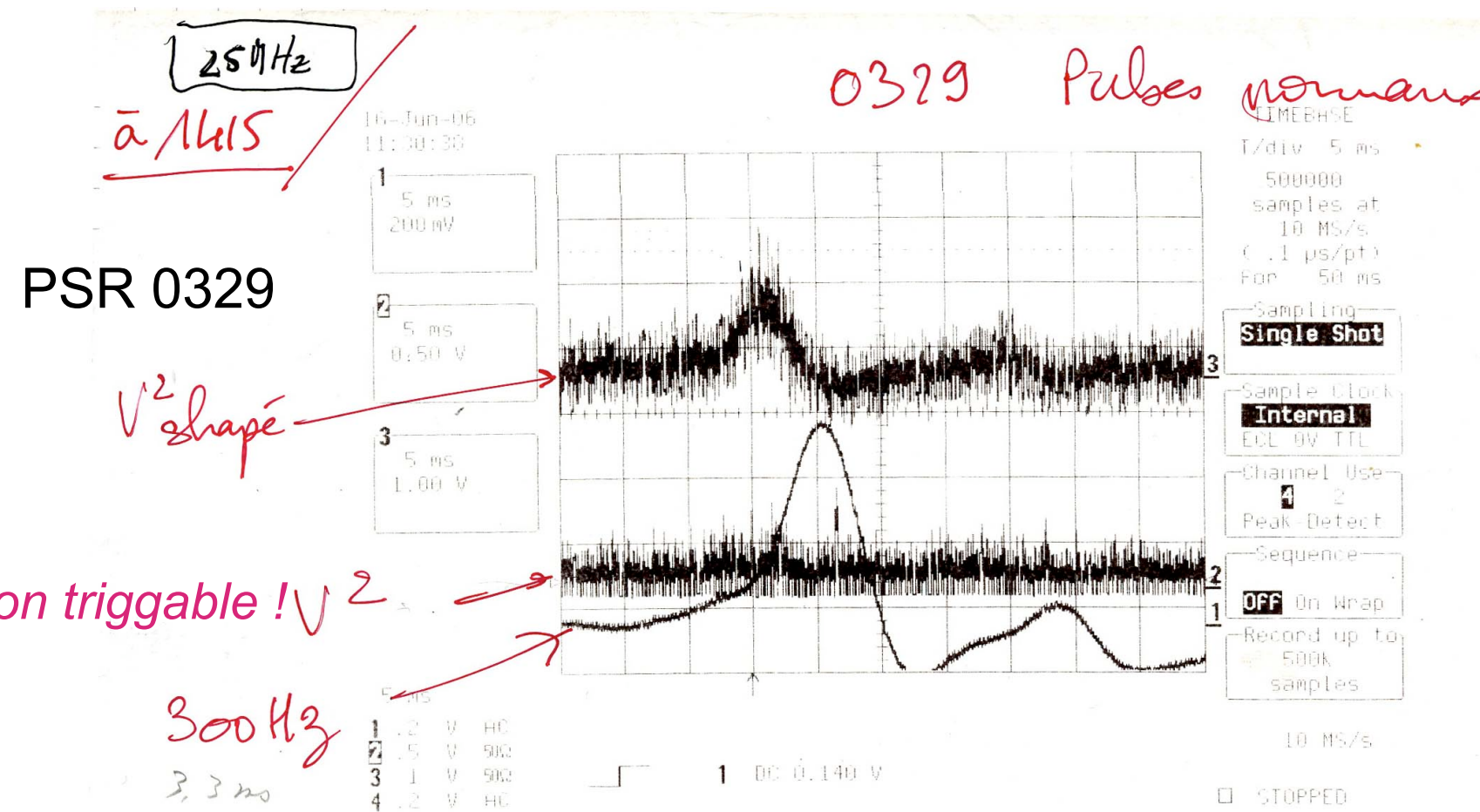
**Résolution 2 ns**



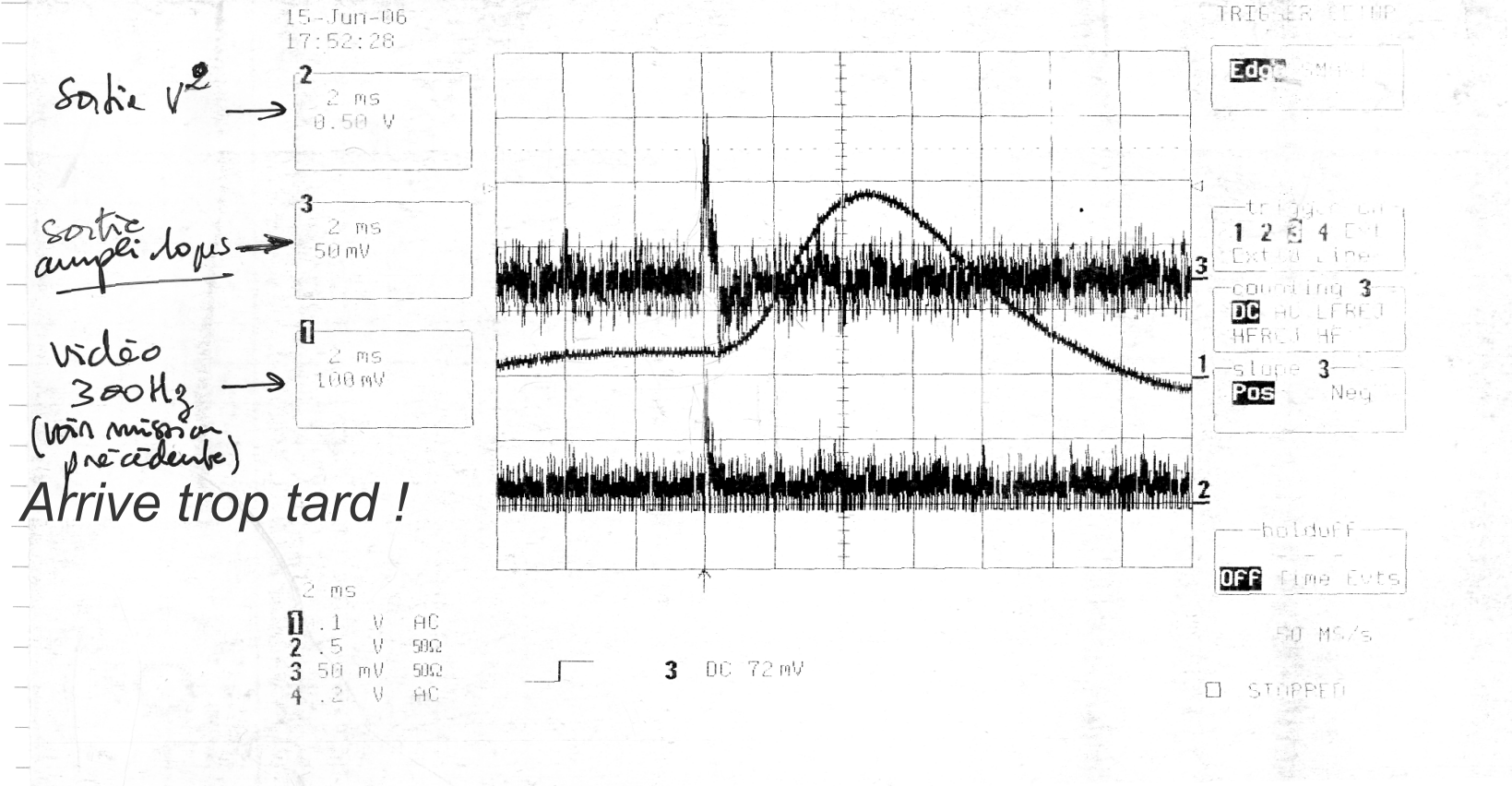
# Principe du trigger Pulsar



# EXEMPLE de TRIGGER PULSARS



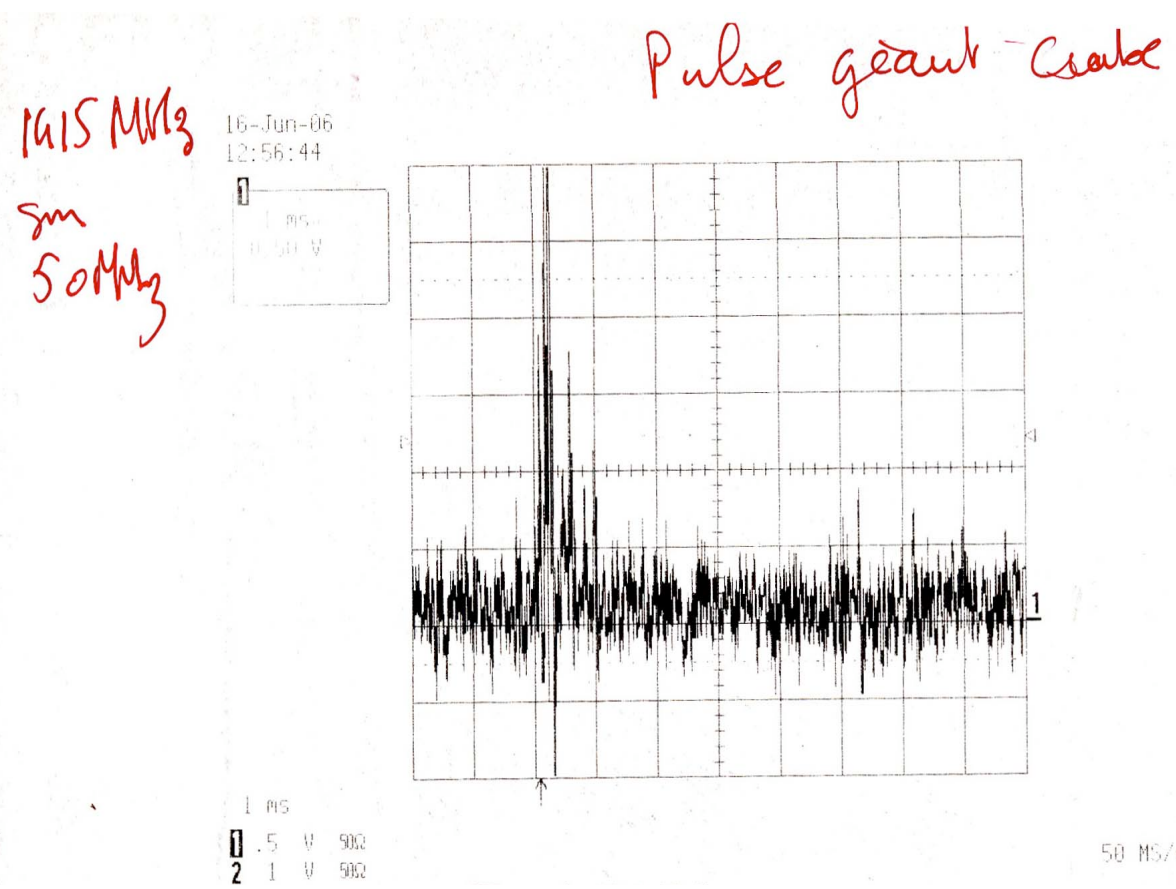
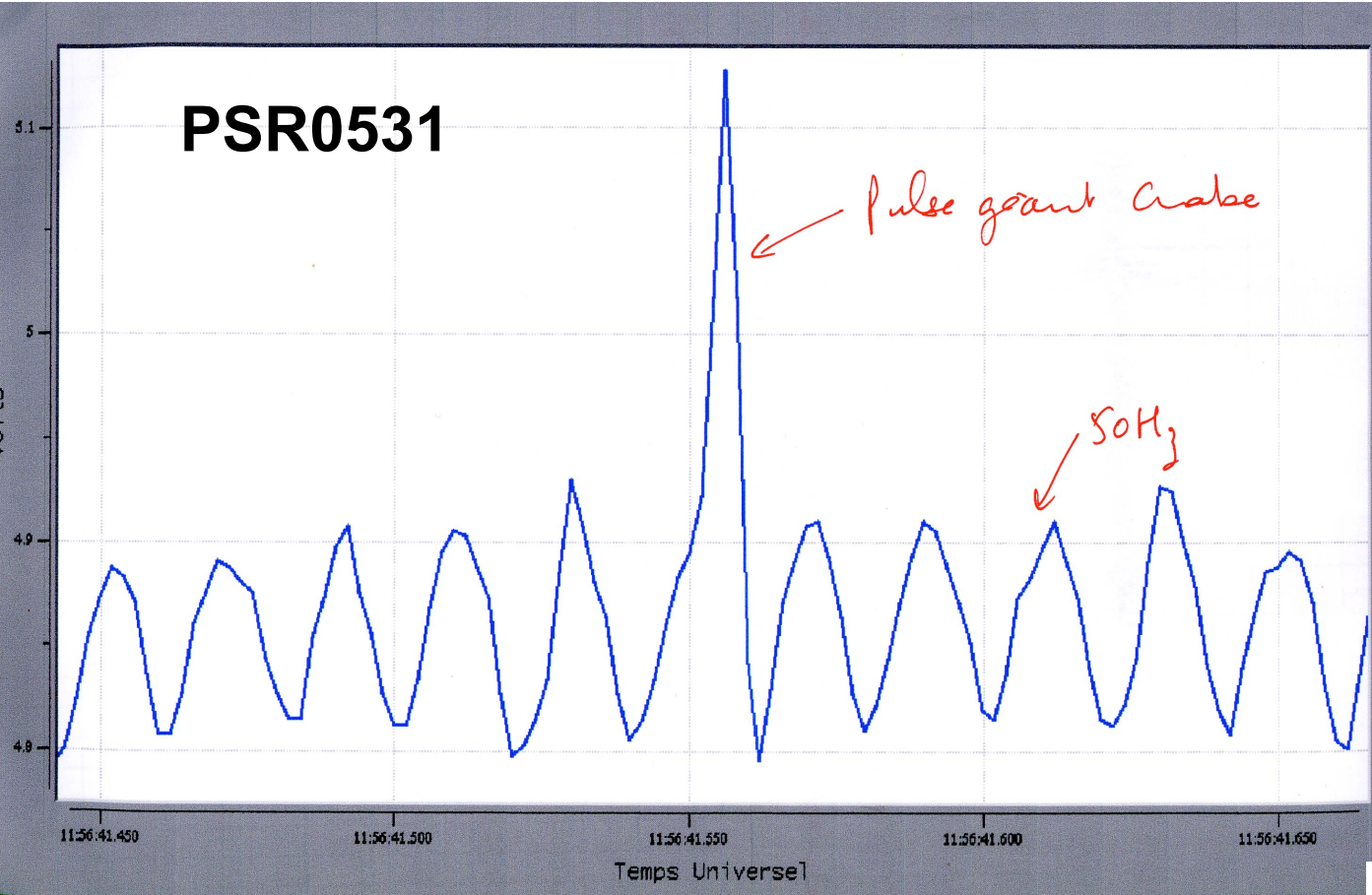
PSR 0950



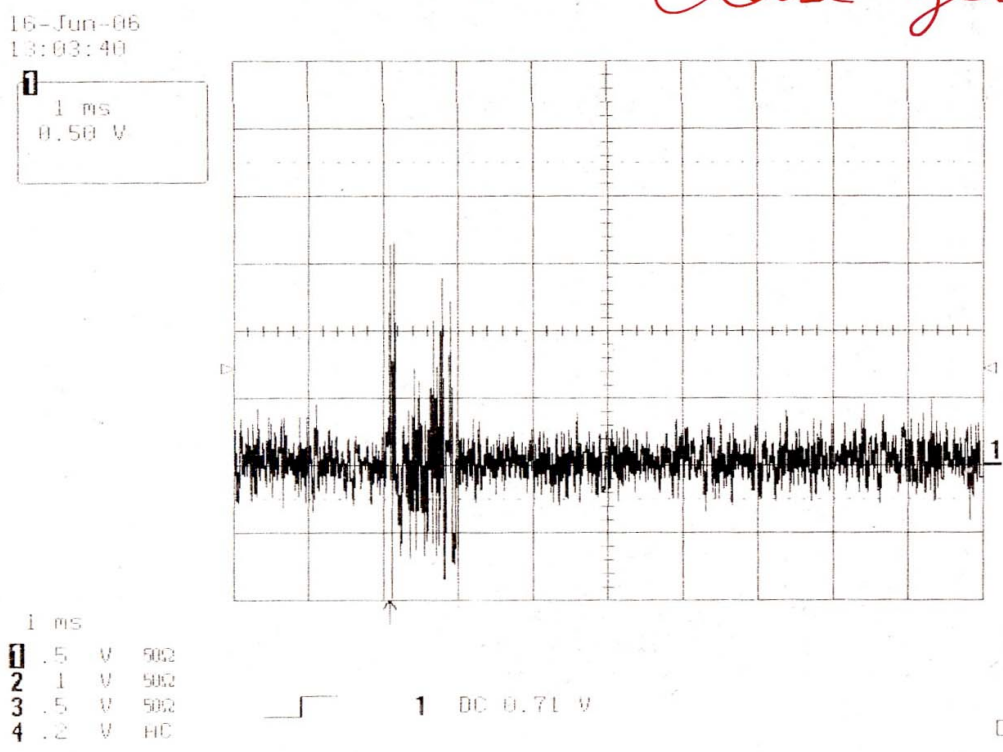
Efficacité de trigger peut encore être optimisée ?  
Bonne réponse vis à vis:

- Bruit nébuleuse
- Amplitude
- DM
- Période
- ...

**PSR0531**

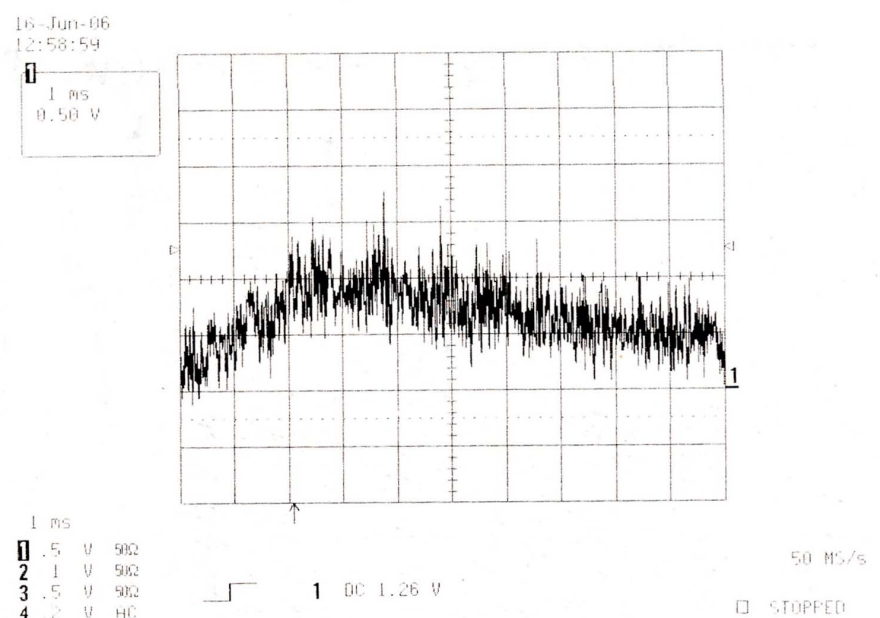


1615  
50 MHz



idem  
freq.

Pulse normal Crabe?



# **Autres Thématiques physiques...**

## **En Physique de l'atmosphère**

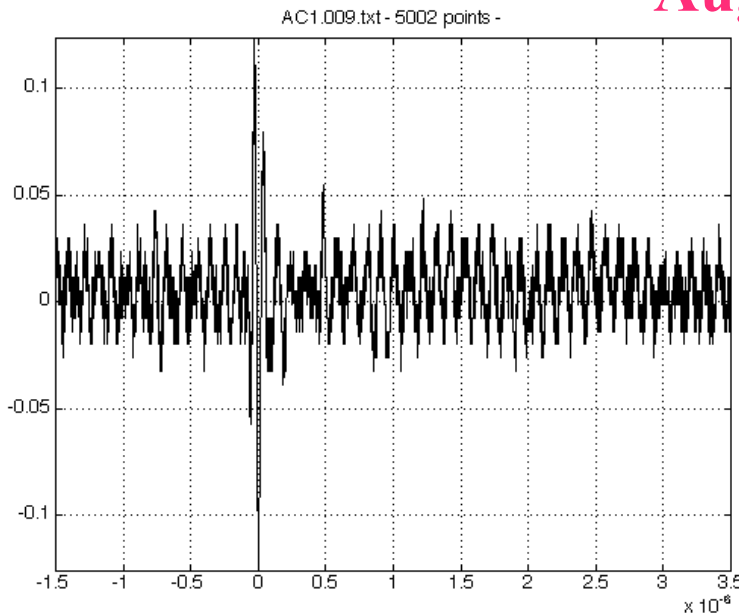
- Orage, Elfe, Sprite, Blue jet, X ray flash,...

## **En Détection des signaux anthropiques**

- Telecom large bande, Guerre électronique, tracking de cible (avion, sat.)

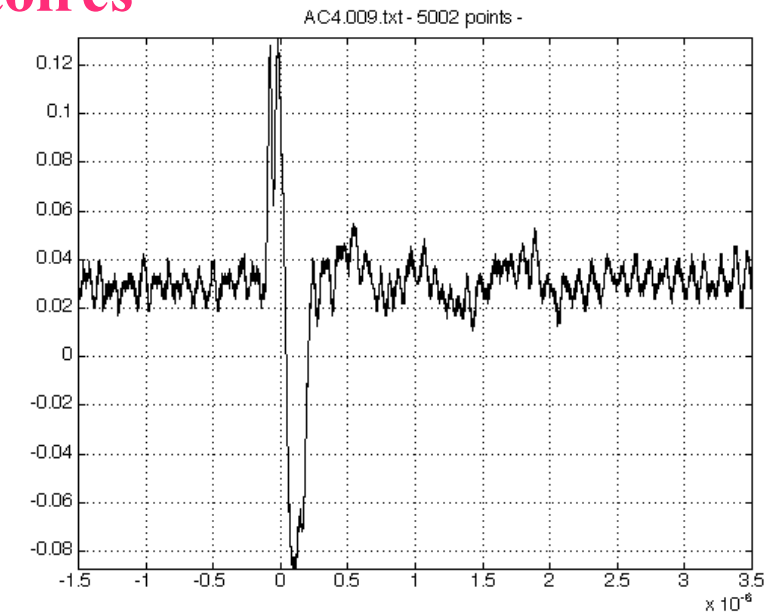
# Autre physique: Physique de l'Atmosphère: Événements en conditions orageuses

## Augmentation du flux de transitoires

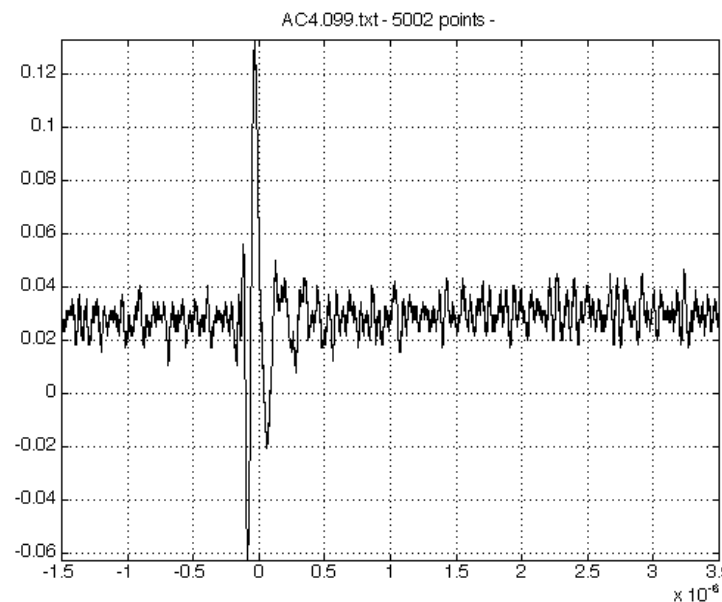


Trigger: Dipôle court  
(filtrage 10-100MHz)

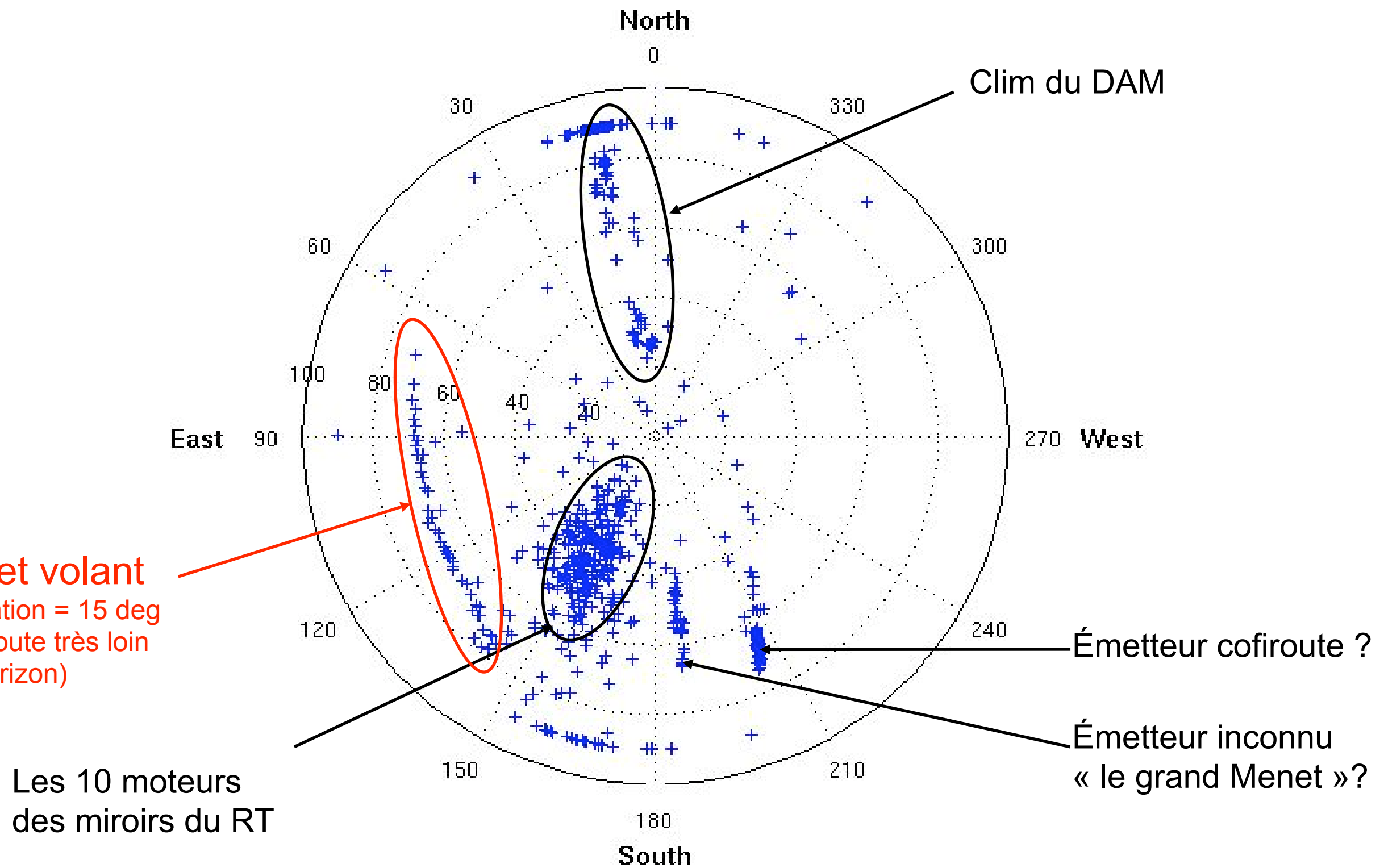
Ant. Log-Périodique  
1-100MHz



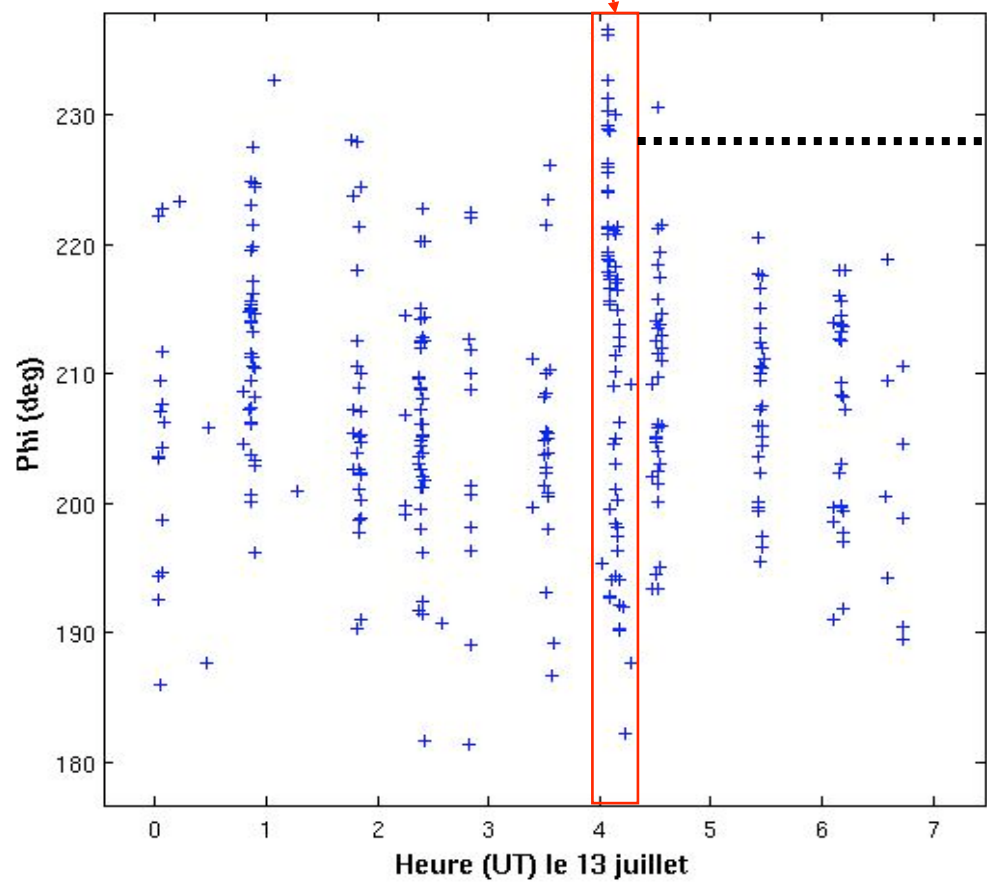
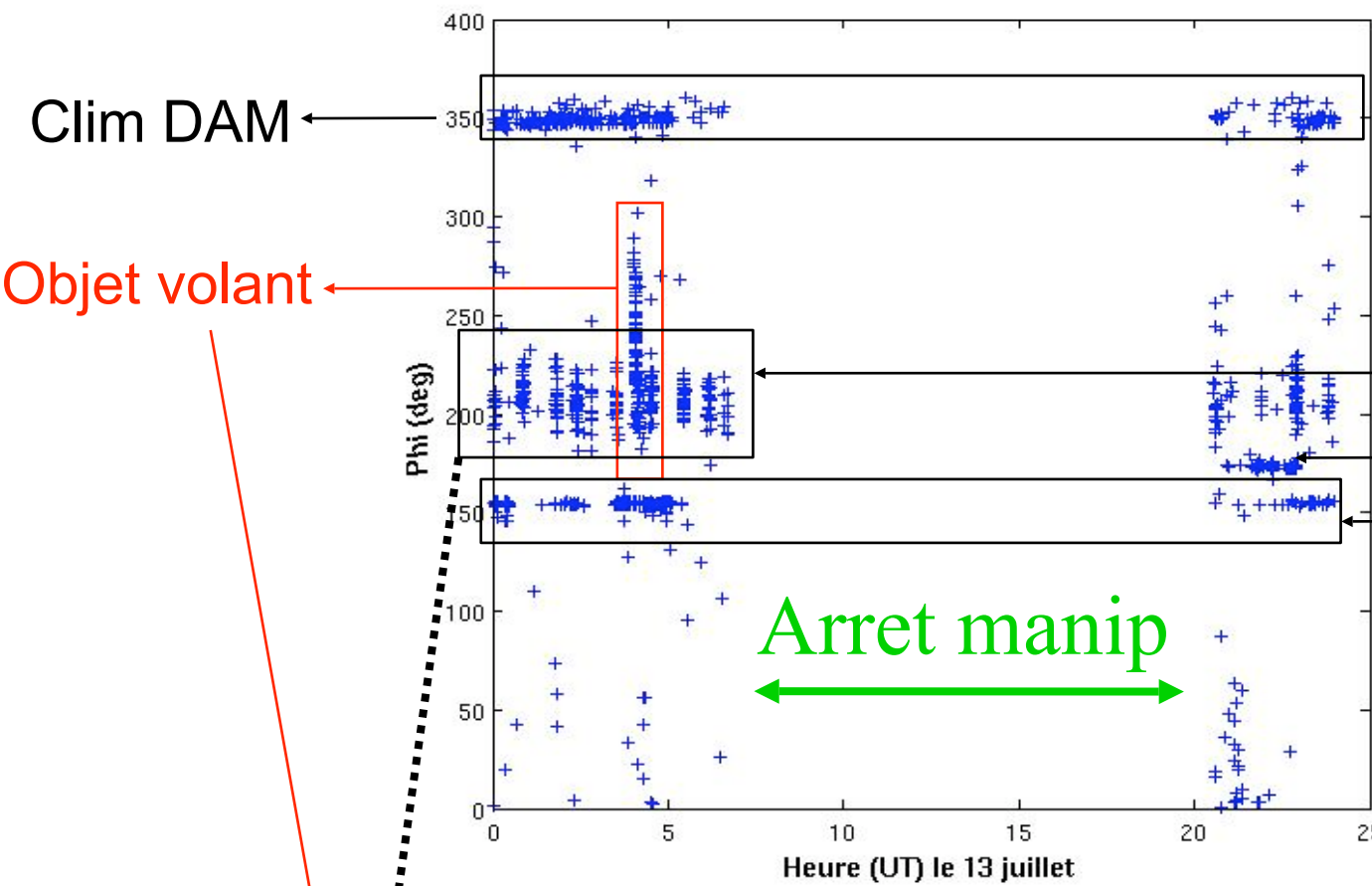
## Evts. de polarité inversée



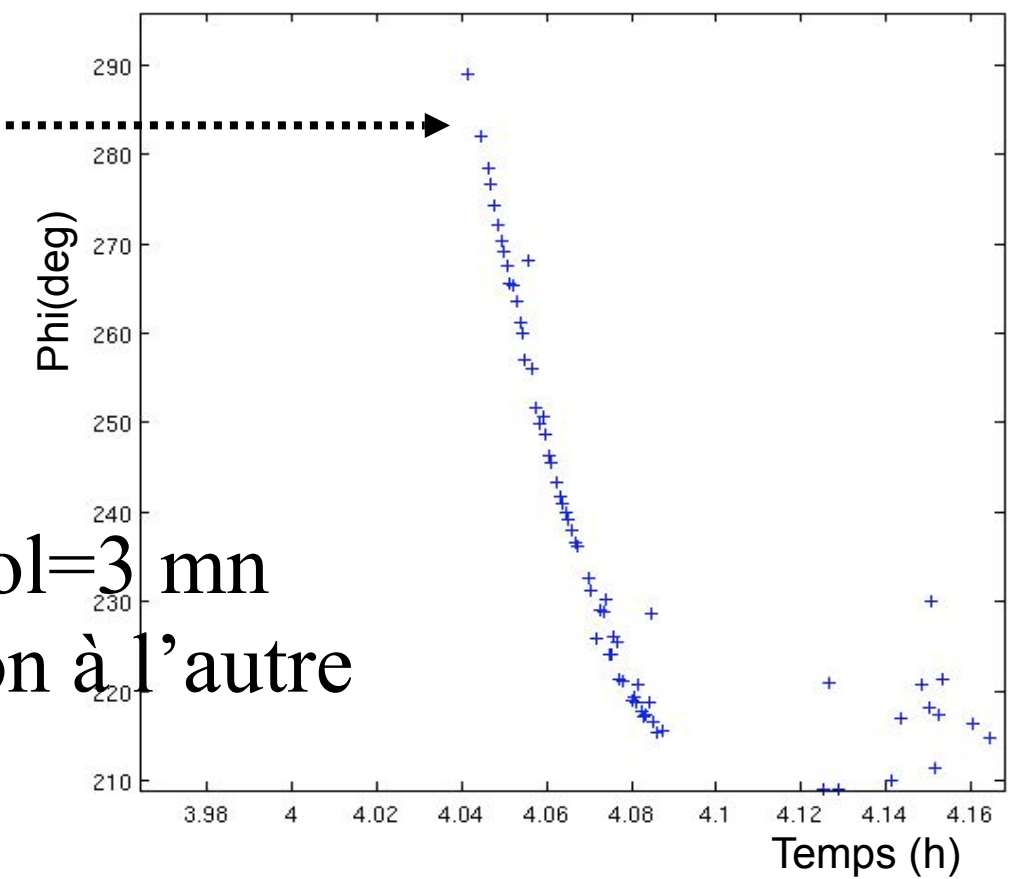
# Exemple de détection (nuit du 13 juillet 2005)

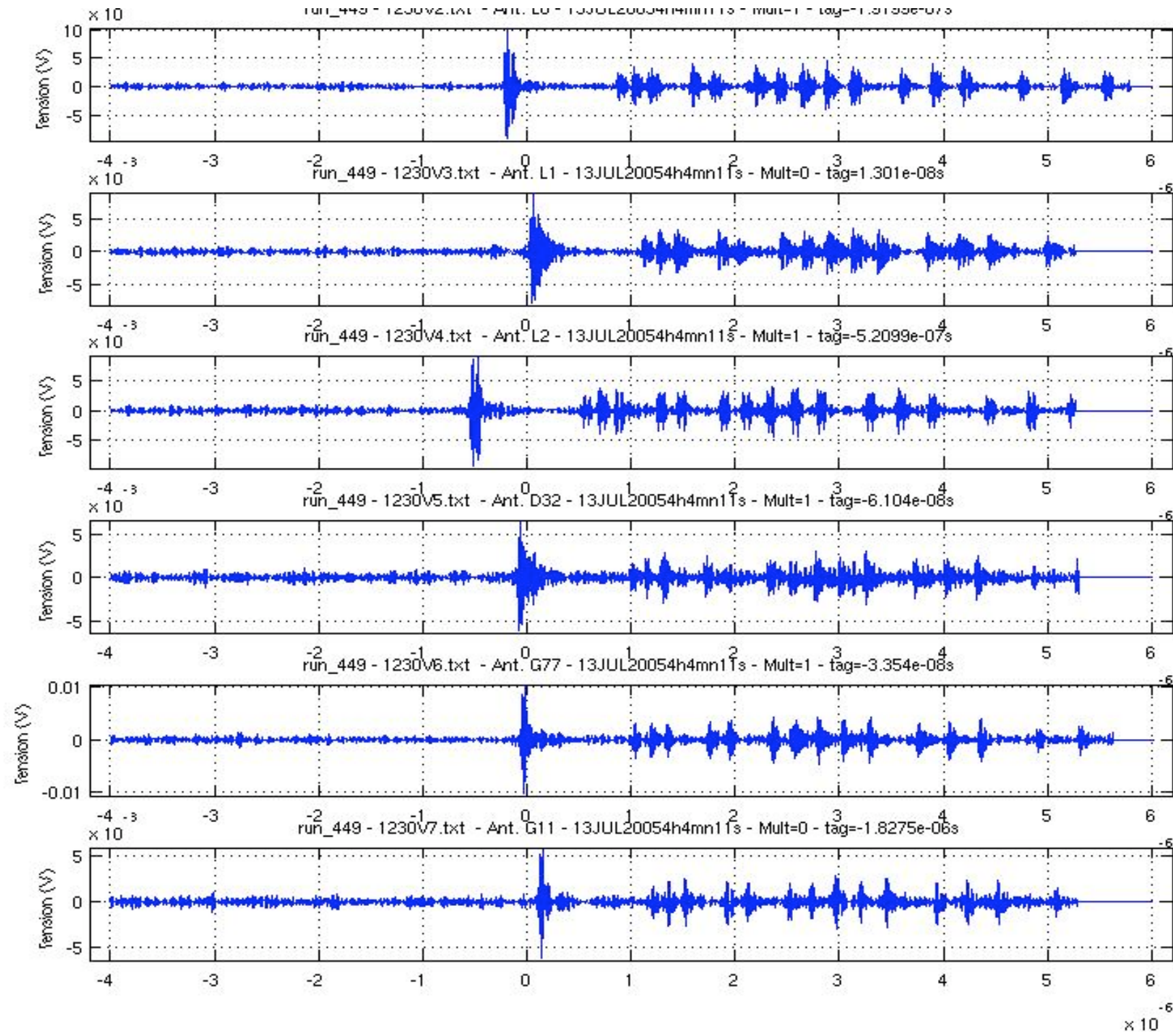


## ZOOM en temps/azimut



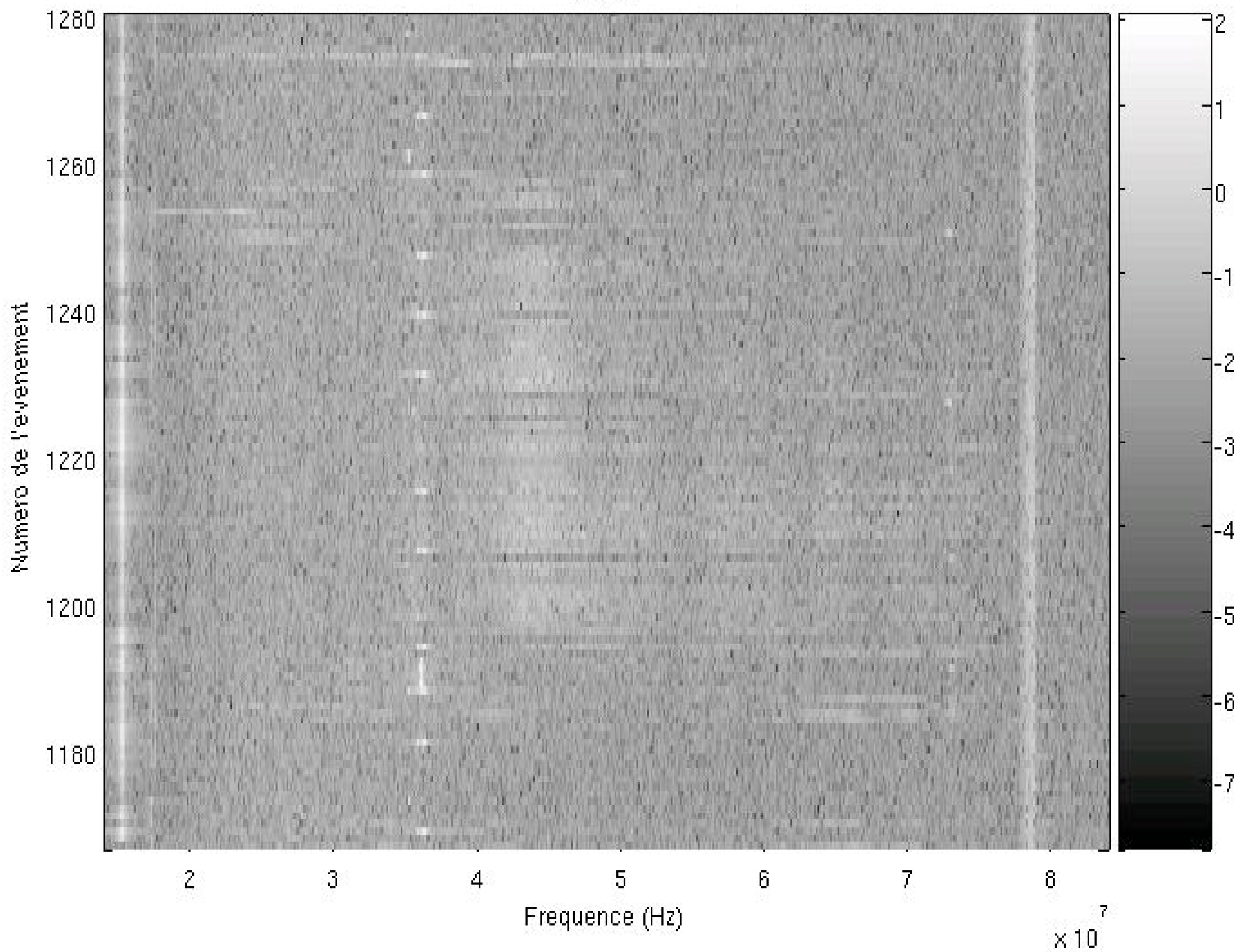
Trajectoire:  
temps de vol=3 mn  
d'un horizon à l'autre





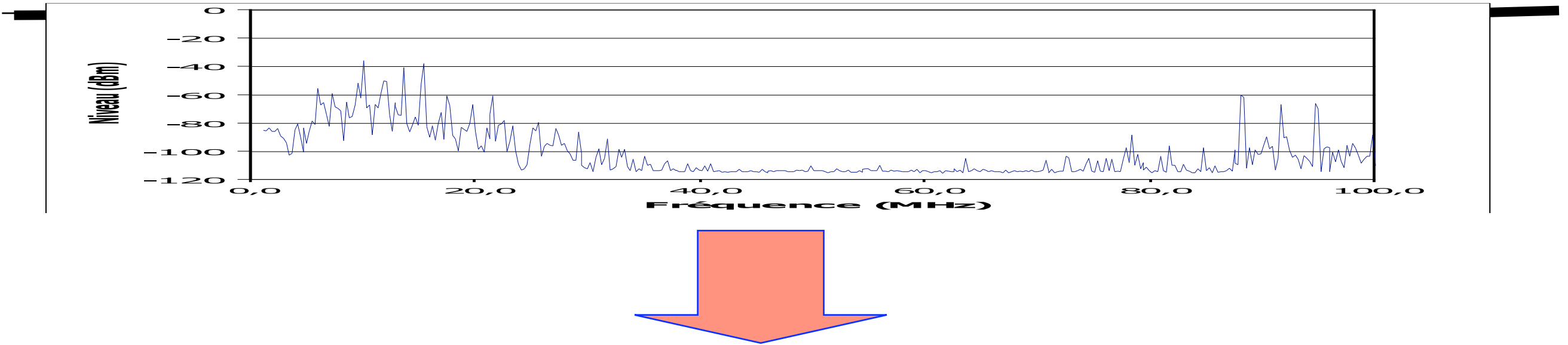
Exemple de la structure temporelle du train d'impulsions dans la bande 33-65 MHz  
 (ca change à chaque evt détecté)

Voie 3

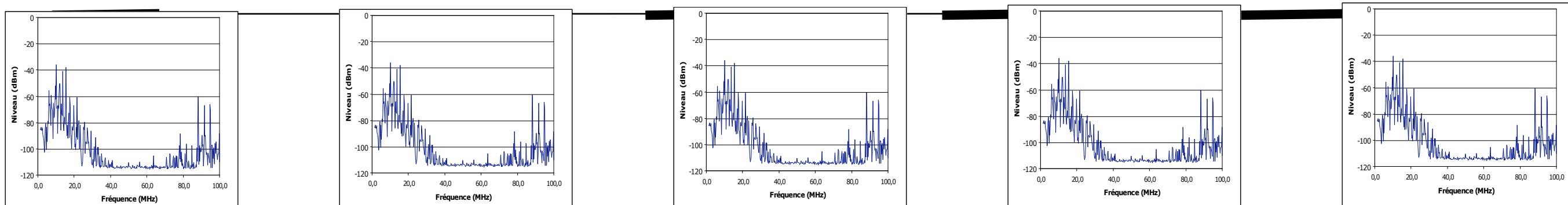


# Quelle technique d'analyse des formes d'ondes?

Voir longtemps mais rarement & Analyser **successivement toutes les fréquences** par balayage (1 ms/500 ms ,  $\Delta f$  petit) ?



Voir brièvement mais souvent & Analyser **simultanément toutes les fréquences** (10 $\mu$ s/5 ms ,  $\Delta f$  grand) ?

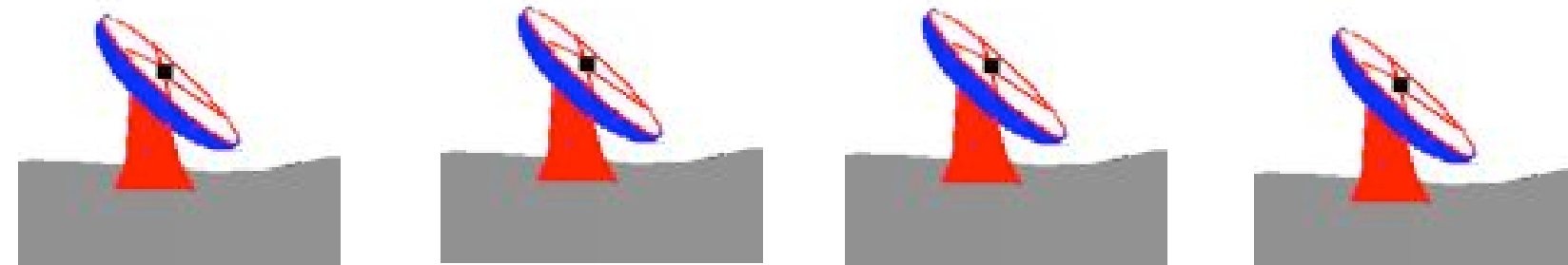


Le temps de cohérence étant  $\sim 100 \mu$ s  
=> s'affranchir de la turbulence atmosphérique

# Quelle technique d'analyse des formes d'ondes?

1. Faire une pose pendant une durée finie sur une région restreinte du ciel et grand S/B instantanné

=> Antennes à faible FOV (lobe étroit) ou Réseau phasé d'antennes



2. Faire une pose pendant une durée très grande sur  $2\pi$  str du ciel et faible S/B apparent

=> Réseau d'antennes à très large FOV et enregistrer les formes d'onde

=> Post-phaser numériquement vers une région de ciel ce que l'on veux analyser

